

# TECHNICKÉ INFORMÁCIE č.53

## Prenosné čiernobiele TVP

SATELIT 4158 AB  
PLUTO 4159 AB  
MERKUR 4160 AB



## Popis obvodov

6. 7891 P

# ČIERNOBIELE TELEVÍZNE PRIJÍMAČE

**SATELIT**  
**TESLA** 4158 AB

**PLUTO**  
**TESLA** 4159 AB

**MERKUR**  
**TESLA** 4160 AB

**popis obvodov**

## O B S A H

	str.
<b>Ú V O D</b>	4
<b>1.0 KONCEPCIA SIGNÁLOVÝCH OBVODOV</b>	5
1.1 Vstupný diel	5
1.2 Jednotka volby programu	5
1.3 Obrazový medzifrekvenčný zosilňovač	5
1.4 Zvukový diel	5
<b>2.0 OBRAZOVÝ MEDZIFREKVENČNÝ ZOSILŇOVAČ - MODUL OMP</b>	7
2.1 Popis jednotlivých blokov	7
2.2 Širokopásmový obrazový zosilňovač a synchrodetektor s IO A 240 D	8
2.3 Popis funkcie jednotlivých obvodov A 240 D	8
<b>3.0 ZVUKOVÝ DIEL</b>	16
3.1 Všeobecne	16
3.2 Popis funkcie jednotlivých obvodov IO A 220 D	16
<b>4.0 GENERÁTOR VERTIKÁLNEHO ROZKLADU</b>	35
4.1 Generátor pílového priebehu	35
4.2 Výstupný výkonový zosilňovač	39
4.3 "Booster generátor"	40
4.4 Zapojenie integrovaného obvodu MDA 1044-E v TVP radu Satelit	41
<b>5.0 HORIZONTÁLNY ROZKLAD</b>	43
5.1 Horizontálny oscilátor a synchronizačné obvody	43
5.2 Integrovaný obvod A 250 D (TBA 950)	43
5.3 Horizontálny koncový stupeň	51
<b>6.0 VIDEO A OBVODY OBRAZOVKY, NAPÁJANIE TVP</b>	55
6.1 Video-stupeň	55
6.2 Riadenie jasu a ochrana obrazovky pri vypnutí TVP	56
6.3 Napájanie televízora	56

**PRÍLOHY:**

ELEKTRICKÁ SCHÉMA ZAPOJENIA TVP	S A T E L I T	4158 AB
	P L U T O	4159 AB
	M E R K U R	4160 AB

## Ú V O D

Pri zavedení výroby typového predstaviteľa tohto radu bol popis zapojenia vydaný len v obmedzenom množstve pre základné školenie krajských inštruktorov. Tieto televízory nemajú nejaké špeciálne, nebežné obvody. Väčšina použitých integrovaných obvodov sa vyskytuje už dlhší čas aj v iných typoch televízorov. Pretože sa však jedná o zásadné riešenie obvodov, ktoré boli rozširované neskôr o ďalšie funkcie, avšak bez väčších zmien základného konceptu, považujeme vydanie popisu pre široké vrstvy opravárskej obce, a najmä pre mladšie ročníky, za účelné. Staršie technické informácie, v ktorých boli funkcie väčšiny tu použitých obvodov už vysvetlené, sú rozobraté a dostatočná znalosť týchto základných blokov prijímača je predpokladom ľahšieho pochopenia neskôr zložitejších zapojení.

V tejto technickej informácii sú uvedené a vysvetlené všetky obvody televízorov tohto typového radu až na tuner, ktorý pôvodne bol známeho typu Čajavec - Tesla s germaniovými tranzistormi PNP, neskôr s MOS-FET tranzistormi, typ FET 1-T, výroby Videoton MÍR. Je popísaný v technickej informácii Tesly Orava č. 40 (FTVP 4415 A). Československý tuner MOS-FET 6PN 385 15 je popísaný napr. v technickej informácii č. 51 (FTVP 4416 A).

## 1.0 KONCEPCIA SIGNÁLOVÝCH OBVODOV

### 1.1 Vstupný diel

TVP Satelit a Pluto sú osadené starším typom kanálového voliča typu Tesla 7PN 382 001 so zväčšenou šírkou pásma (a nízkou výstupnou impedanciou  $40\div50 \Omega$ ) pre vstup OMF zosilňovača. (Výnimco ne s užším OMF výstupom pri kompenzácií pomocou sériovej vi tlmivky.) TVP Merkur má tuner FET-1T z MĽR.

Hlavné údaje o kanálovom voliči:

- kanálový volič je napájaný stabilizovaným napäťom 10,8 V z filtr. kondenzátora C 2 cez vi tlmivku L 1
- ladiace napätie (napätie pre varikapy) sa musí meniť od +0,5 V do +29 V
- napätie pre reguláciu zisku (AVC) je pre max. zisk +9 V a pre min. zisk +2 V
- maximálny odber prúdu kanálového voliča je 7PN 382 001 38 mA, tuner FET-1T odoberá približne tieto prúdy: šp. 2 - zmiešavač pri VHF 4 mA, ako MF zosilňovač pri UHF 10 mA; šp. 3(UHF) 20 mA, šp. 7 (III. pásmo) 35 mA, šp. 8 (I.-II. pásmo) 25 mA. Celkový odber je teda 30 - 40 mA.
- zosilnenie A pri menovitej impedancii 75 ohm a menovitej výstupnej impedancii 50 ohm je minimálne 13 dB

Výhodou osadenia prijímača kanálovým voličom so "širokým výstupom" je jednoduchá výmena vadného dielu za nový, bez zložitého dolaďovania väzbového obvodu. Osadenie a schémy zapojenia kanálových voličov viď Technická informácia č. 38 k.p. Tesly Orava (tuner Tesla 7PN 382) a č. 40 (Color 110 ST, tuner FET-1T z MĽR).

### 1.2 Jednotka volby programu

umožňuje po prednastavení ladiacej časti tejto jednotky zvoliť ľahkým stlačením tlačidla v spinacej časti jeden z prednastavených programov. Pomocou jednotky programovej volby sa ne vývody kanálového voliča pripájajú napäťia, potrebné pre jeho nastavenie na kmitočet zvoleného vysieláča. Vo všetkých typoch tohto radu sú použité spoľahlivé mechanické jednotky volby: 4-tlačítkový "preomat" v TVP Satelit, 6-tlačítková nízkozdvížná súprava ovládania z MĽR v TVP Pluto a československá súprava LPA - 8 v TVP Merkur. Toto zjednodušenie umožňuje nižšie ceny televízorov a zvyšuje spoľahlivosť.

### 1.3 Obrazový medzifrekvenčný zosilňovač

je zkonštruovaný na báze IO A 240 A. Základné riešenie i parametre OMF sú totožné ako u FTVP, je jednoduchší obvod obnovovača referenčnej nosnej 38 MHz, pretože tu odpadá indukčnosť L 10 potrebňa pre obvod AFC, ktorý u týchto maloformátových televízorov nie je aplikovaný. Napäťové zosilnenie obvodov modulu OMF je cca 80 dB, regulačný rozsah AGC (automatické riadenie zisku) je typicky 56 dB (630x). Blížší popis OMF zosilňovača s IO A 240 D je uvedený ďalej - v časti 2.

### 1.4 Zvukový diel

je riešený ako jeden obvodový celok, modul Z so ZMF zosilňovačom a detektorom, ako i s NF koncovým stupňom (A 220 D, MBA 810 S resp. DS). Umožňuje príjem zvukového doprovodu v normách CCIR D/K i B/G (automaticky, vďaka paralelným vstupným filtrov a fázovacím článkom ladeným na 5,5 a 6,5 MHz). Riešenie i parametre sú totožné

s FTVP Color Univerzál a Color 110. Odlišnosťou voči uvedeným FTVP je regulácia NF zosilňovača, kde sa využíva elektronická regulácia NF signálu pomocou j.s. napäťa na príslušnom vývode A 220D. MGF prípojka je teda pripojená na regulovaný výstup NF signálu paralelne k reproduktoru cez útlmový člen 820 k/27k. Signál pre magnetofón závisí na nastavení hlasitosti, čo sa všade ľahko vyrovná nastavením vstupu na magnetofón. U TVP Satelit prípojka pre nahrávanie na magnetofón nebola ešte zavedená. (U neskorších typov stolných televízorov, kde je použitý IO A 223 D s dvoma výstupmi, je MGF prípojka napojená na neregulovaný výstup. U FTVP Univerzál a Color 110 s IO A 220 D bola od elektronickej regulácie hlasitosti upustené, aby signál pre MGF zostával nezávislý od nastavenej hlasitosti.)

## 2.0 OBRAZOVÝ MEDZFREKVENCÓNÝ ZOSILŇOVAC - MODUL OMF

### Modul OMF

Modul OMF tvorí samostatnú jednotku na spracovanie mfre kmitočtu a demoduláciu. Obsahuje blok odládovačov:

- odládovač susednej nosnej zvuku L 3
- odládovač susednej nosnej obrazu L 1
- odládovač vlastnej nosnej zvuku L 2
- jednostupňový aperiodický predzosilňovač, tvorený tranzistorom T 1
- blok pásmového prieplatu, tvorený cievkami L 4, L 5, L 6, L 7, s príslušnými kapacitami (cievky L 1 až L 7 sú realizované ako tlačené spoje, viď obr. 4a v Techn. informácii č. 46)
- širokopásmový vf zosilňovač so synchrodetektorm, AVC, výstupom pre ZMF a video-predzosilňovačom, tvorený integrovaným obvodom IO 1 - A 240 D
- odládovač vlastnej nosnej zvuku, L 8 - C 22
- emitorový sledovač a zdroj synchronizačnej zmesi tvorený tranzistorom T 2

### 2.1 Ďalej uvádzame popis jednotlivých blokov

#### Blok odládovačov

Tento blok obsahuje tri odládovače pre kmitočty 30 MHz, 31,5 MHz a 39,5 MHz. Odládovače pre susedné nosné obrazu a zvuku sú rovnakej konceptie - kompenzované odládovače s induktívou väzbou. Kompenzácia je tvorená odporom R 2 a R 3. Odládovač vlastnej nosnej zvuku je tvorený klasickým sérioparalelným zapojením. Všetky odládovače spolu so vstupnou impedanciou tranzistora T 1 sú navrhnuté tak, aby vstupná impedancia modulu OMF bola konštantná: 45 ohm s minimálnou imaginárnu zložkou (do 10 pF) v pásme 33 - 37 MHz. Podmienka konštantnej vstupnej impedancie vyplýnula z požiadavky nezávislého nastavenia modulu OMF a výstupného obvodu tunera. Výstupný obvod tunera je širokopásmový so šírkou pásma min. 10 MHz a nastavený so zatažovacou impedanciou 45 ohm. Táto úprava zaručuje, že je možné používať tubovoľný modul OMF s tubovoľným tunerom bez potreby vzájomného zladovania, čo ulahčuje servis.

#### Jednostupňový aperiodický predzosilňovač

Tento stupeň je tvorený tranzist. T1 typu KF 524 prípadne KF 124. Jeho úlohou je vyrovnáť straty pásmového prieplatu, ktoré dosahujú cca 10 dB, a tým zachovať citlosť modulu. Kolektorový prúd je pomerne nízky, je však volený ako kompromis medzi požadovaným zosilnením (cca 15 dB) a vstupnou impedanciou. Preto nedoporučujeme meniť typ tranzistora (napr. za typ KF 525).

#### Blok pásmového prieplatu

V tomto bloku je sústredená celá selektivita modulu OMF. Pásmový prieplust je 4-obvodový, tvorený ladenými obvodmi a cievkami L 4, L 5, L 6, L 7 s prúdovou väzbou cez kapacity C 10, C 12 a C 14. Z toho ladené obvody s L 4 a L 7 slúžia i k impedančnému prispôsobeniu k tranzistorom T 1 a na vstupe IO 1. Sú preto navrhnuté na väčšiu šírku pásma. Súčasne umožňujú správne tvarovanie amplitúdovej charakteristiky prieplatu. Obvody s L 5 a L 6 sú úzkopásmové, kapacitne viazané, a v najväčšej miere prispievajú k celkovému potlačeniu postranných pásiem (min. -40 dB). Sú ladené na kmitočty 33,8 MHz a 36,8 MHz. Celková selektivita je potom daná súčtom amplitúdových charakteristik jednotlivých jej blokov.

Všetky ladené obvody v pásmovom priepluste i bloku odládovačov sú navrhnuté tak, aby

pre export bolo možné dosiahnuť nelaďenie aj v norme CCIR B/G iba prelaďením, bez zmeny osadenia. To však vyžaduje u niektorých indukčností väčší rozsah zmeny indukčnosti ako je možné dosiahnuť jadrom, preto je použitý systém skratovacích prstencov (u L 1, L 2, L 3, L 4), ktorými je možné (prerušením fólie) ďalej zväčšiť indukčnosť.

## 2.2 Širokopásmový obrazový zosilňovač a synchrodetektor s IO A 240 D

Integrovaný obvod A 240 D je vyrábaný v NDR ako ekvivalent TDA 440. Tento obvod obsahuje tri zosilňovacie MF stupne, demodulátor obrazovej medzifrekvencie (typu kvazi - synchrodetektora), predzosilňovač video signálu, ako aj obvody pre reguláciu zosilnenia (AGC) a oneskorené riadenie zisku tunera. Pre pripojenie vonkajších obvodov má integrovaný obvod A 240 D 16 vývodov, viď obr. 2.1. Vnútorné zapojenie obvodov IO A 240 D je na obr. 2.2.

Upozornenie: V televízoroch Merkur je osadený modul "O" ŠPN 05400, proti typovému číslu ŠPN 05216 v TVP Satelit a Pluto. Niektoré diely majú odlišné hodnoty alebo iné očíslovanie. V ďalšom texte budú uvádzané čísla resp. hodnoty platné pre Satelit - Pluto, pokiaľ nebude výslovne uvedené niečo iné.

## 2.3 Popis funkcie jednotlivých obvodov A 240 D

Vstupný OMF signál z predzosilňovača T 1 - KF 524 (124) je pripojený k širokopásmovému OMF zosilňovaču cez pásmový filter L 4 až L 7. MF zosilňovač v IO A 240 D sa skladá z troch stupňov, ktoré zosilňujú vstupnú úroveň MF signálu na optimálnu hodnotu pre dokonalú detekciu.

Vstupná úroveň tretieho stupňa je udržovaná konštantná aj pri veľkých zmenách vstupného signálu automatickým riadením zisku (v ďalšom AGC), ktoré ovplyvňuje najprv druhý a potom prvý stupeň OMF zosilňovača.

Toto rozdelenie AGC dovoluje spracovať vyšší signál a umožňuje získať optimálnu hodnotu pomeru signál/šum cez celý rozsah riadenia zisku.

Usporiadanie MF zosilňovača umožňuje, aby bol použitý kompaktný, avšak ináč bežný IC filter so sústredenou selektivitou pre vhodné obmedzenie šírky pásma a pre správne potlačenie sprievodných a rušivých signálov. Vonkajší tranzistor T 10 kompenzuje útlm spôsobený týmto filtrom.

Zosilnený MF signál sa detektuje pomocou multiplikačného demodulátora ("kvazi - synchrodetektora"), z ktorého sa získava video signál tak, že sa násobí amplitúda modulovanej nosnej vlny samotnou nosnou vlnou. Nemodulovaná nosná vlna je získavána - obnovovaná - obmedzovacím stupňom a vonkajším ladeným obvodom (tank circuit = obvod - nádrž), tu L 9 - C 23.

Takto získaný video signál sa ďalej výkonovo zosilňuje vo videopredzosilňovači, ktorý dodáva dva výstupy navzájom v protifáze, čím sa zjednoduší problém pripojenia k nasledujúcim stupňom.

Detektor AGC, klúčovaný impulzami riadkových spätných behov, porovnáva amplitúdu získaného video signálu s vnútorným referenčným napäťom, zosilňuje rozdiel, integruje rozdielový signál a ovláda obvody AGC prvých dvoch stupňov zosilňovača. Porovnanie medzi video signáлом z demodulátora a referenčným napäťom môže byť prevádzané buď na úrovni čiernej alebo na úrovni vrcholov synchronizačných impulzov, podľa toho, akým vnútorným signáлом klúčujeme. Jednoduché klúčovanie spätnými behmi H dáva

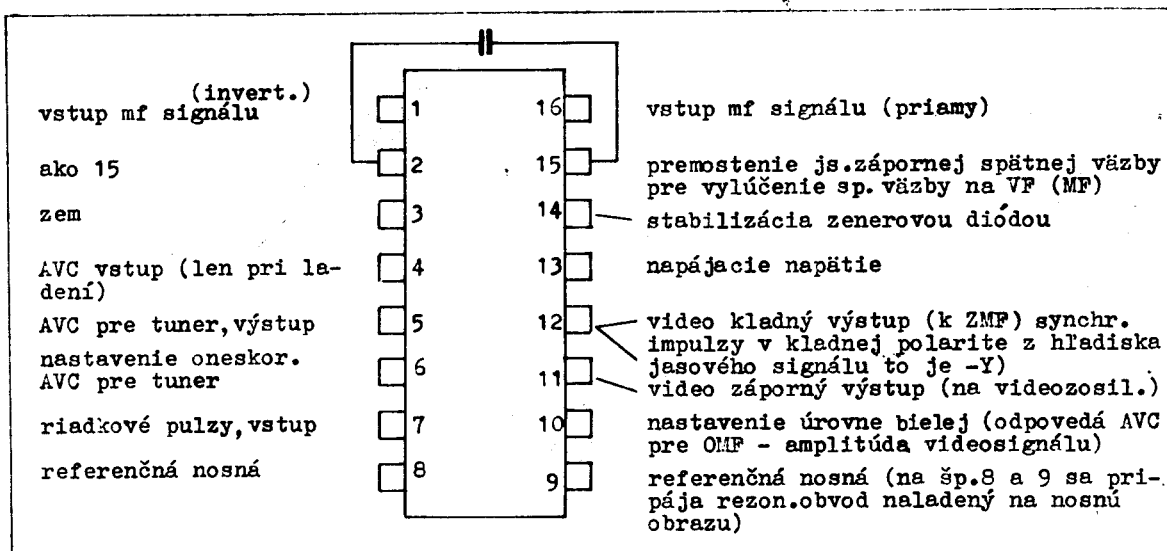
porovnávanie pri vrcholoch synchronizačných impulzov (S.I.).

AGC pre tuner je ďalší obvod zahrnutý v A 240 D, ktorý umožňuje zjednodušenie vonkajších obvodov. Oneskorenie tohto AGC môže byť nastavené pomocou vonkajšieho trimer - potenciometra (P2 - 0). A 240 D umožňuje priame riadenie zisku tunerov osadených PNP tranzistormi, i unipolárnymi tranzistormi s dvoma G-elektródami (tuner FET 1-T). Príďová výdajnosť obvodov pre AGC tuner v IO A 240 D umožňuje tiež riadenie atenuátorov s PIN diódamí, ktoré sa používali v tuneroch pre zvýšenie odolnosti proti krížovej modulácii a intermodulácii pred zavedením tunera s FET-mi.

Integrovaný stabilizátor napätia zabezpečuje vhodný systém nastavenia pracovných bodov tranzistorov vnútri IO, ktorý udržuje funkcie integrovaného obvodu nezávislými na zmenách napájacieho napätia.

Výstupná úroveň bielej, t.j. amplitúda video signálu medzi bielou a vrcholmi S.I., môže byť nastavená pomocou vonkajšieho trimer - potenciometra (P1 10k). Toto odpovedá nastaveniu AGC pre OMF v zapojení s diskrétnymi tranzistormi, lísi sa však tým, že bez ohľadu na toto nastavenie prakticky nedochádza k obmedzovaniu synchronizačných impulzov pri silných signáloch na výstupe IO.

Výstupná úroveň pre čiernu a vnútorné prahové napäťie pre AGC je stabilizované proti zmenám napájacieho napätia a teploty, takže výstupná úroveň je udržovaná konštantná, čo zjednodušuje konštrukciu obvodov nasledujúcich za OMF zosilňovačom.

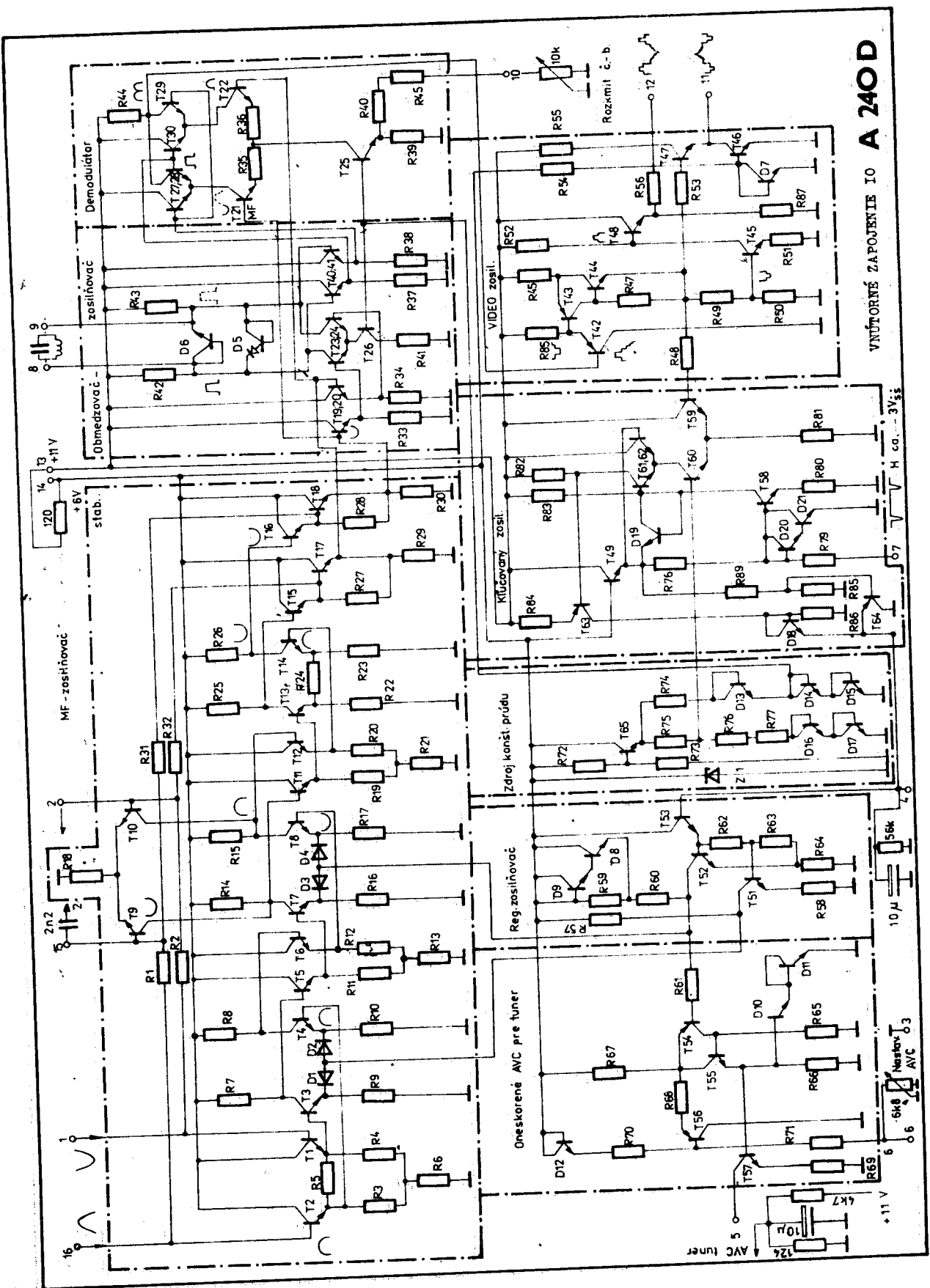


OBR. 2.1

### 2.3.1 OMF zosilňovač

IO A 240 D má tri stupne pre zosilnenie MF (viď schému na obr. 2.2). Každý stupeň sa skladá z diferenciálneho zosilňovača, ktorý je viazaný na nasledujúci stupeň emitorovým sledovačom. To má okrem iného tú výhodu, že v celom rozsahu riadenia zosilnenia min. 50 dB nie je skreslená krvika selektivity. Prvý stupeň je tvorený tranzistormi T 3 a T 4 a je pripojený na druhý stupeň tranzistormi T 5 a T 6. Aby bola udržovaná konštantná výstupná impedancia v rozsahu riadenia zisku, sú na vstupe IO emitorové sledovače T 1 a T 2.

Druhý stupeň zahrňa tranzistory T 7 a T 8 a je pripojený na tretí stupeň pomocou T 11 a T 12, tretí stupeň je tvorený tranzistormi T 13 a T 14 a súmerné výstupy sú pripojené na detektor cez emitorové sledovače (T 15, T 17 a T 16, T 18 v Darlingtonovom zapojení). OMF zosilňovač má zápornú js.spätnú väzbu z výstupu (emitory T 15 a T 16) na vstup (vývody 1 a 16, cez interné odpory R 31 a R 32), ktorá stabilizuje pracovné body. Slučka zápornej spätej väzby je pre MF kmitočty zrušená "skratovacím" kondenzátorom, ktorý musí byť zapojený medzi vývody 2 a 15 (S: C 17, M: C 19 v OMF module - takto budeme číslovať u Satelite, Pluta a u Merkúra).



A 240 D

۱۷۸

Aby sa dosiahla dobrá výstupná súmernosť pri riadení zisku, je použitý v IO jednosmerný zosilňovač T 9 a T 10 - tento pôsobí iba na j.s. zosilnenie a zabezpečuje vysoký zisk pre jednosmerné prúdy a napäcia v celom rozsahu AGC. AGC je uskutočňované zmenami dynamického odporu diódových párov D 1, D 2 a D 3, D 4, na ktoré je privádzaný prúd, meniaci sa podľa výstupnej úrovne; mení sa tak záporná spätná väzba na R 9, R 10, R 16 a R 17. (Podrobnosti viď "Automatické riadenie zisku".)

### 2.3.2 Multiplikačný demodulátor

Je známe a matematicky sa dá ľahko dokázať, že amplitúdovo modulovaný signál môže byť detektovaný vynásobením tohto signálu synchronizovaným signálom (t.j. obnovenou nosnou vlnou rovnakého kmitočtu a fázy). Preto použitý spôsob demodulácie je možné nazývať aj "synchrónny detektor"), hoci na rozdiel od pravých "synchrodetektorov" tu nie je žiadny generátor nosnej vlny.

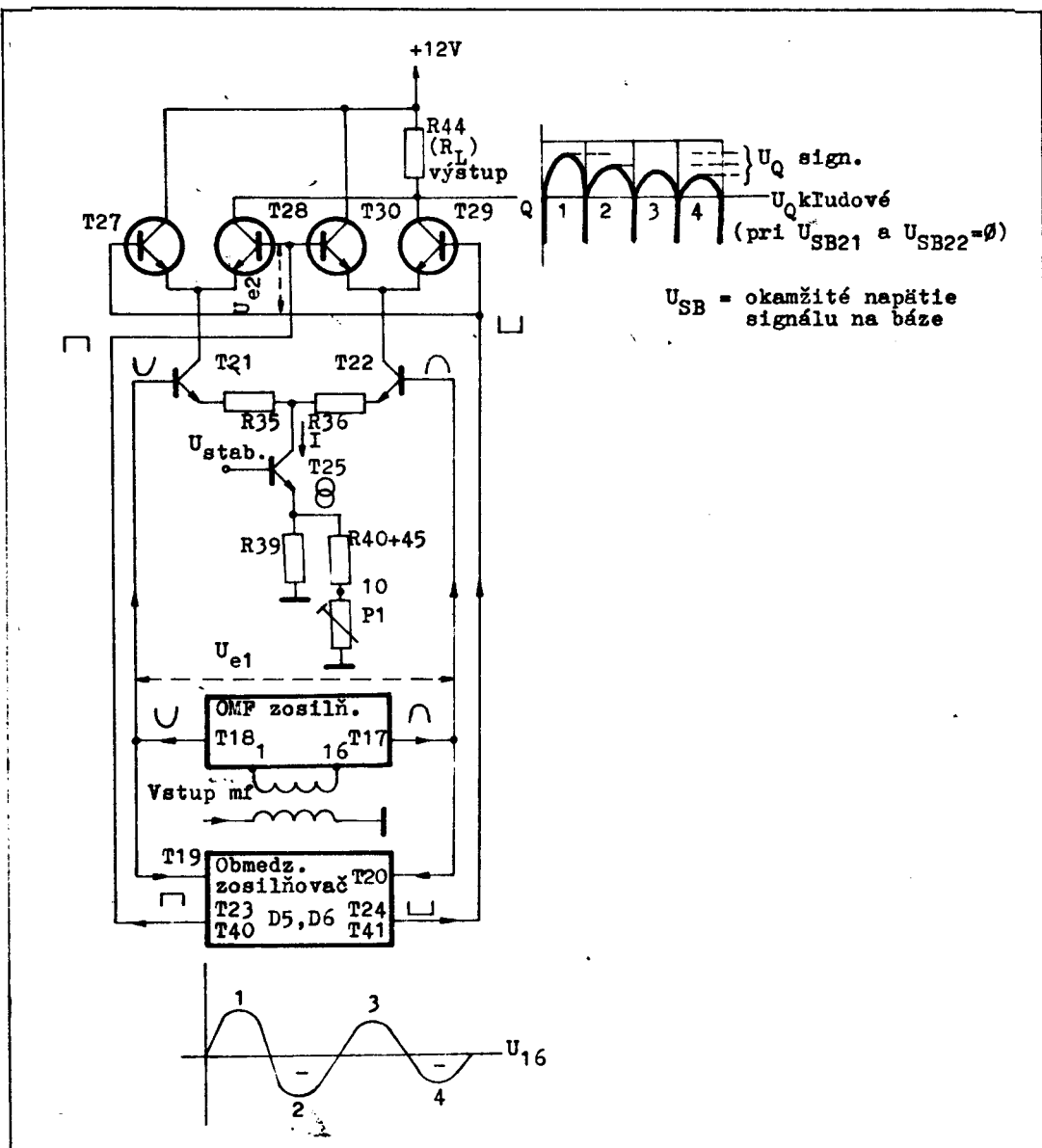
Dolnofrekvenčným priečasťom je možné odstrániť vyššie harmonické, ktoré násobením vznikajú, a vyčleniť pôvodný modulačný signál. Tento spôsob detektie je použitý v A 240 D. Synchrónny detektor je dvojity vyvážený analógový násobič (T 21, T 27-T28 a T 22, T 29-T 30) s dvoma diferenciálnymi vstupmi:

- a) bázy T 21 a T 22
- b) bázy T 27, T 29 a T 28, T 30, a
- c) jedným výstupom, kolektory T 28 a T 29

Obvod multiplikačného demodulátora je prehľadne nakreslený na obr. 2.3. MF signál s videomoduláciou je privádzaný na prvý vstup (bázy T 21 a T 22) a synchronny signál obnovenej nosnej (odpovedajúci nosnej vlnie od synchronizovaného generátora nosnej u pravého synchrodetektora) sa privádzza na druhý vstup (bázy tranzistorov T 27 + T 29 a T 28 + T 30). Tento synchronny signál sa získava tak, že modulovaná nosná obrazu sa zosilní v diferenciálnom stupni T 23 a T 24, jej amplitúda sa odreže diódami D 5, D 6 a šírka pásma sa obmedzí ladeným obvodom zapojeným medzi vývody 8 a 9, takže sa odstráni amplitúdová modulácia - vzniká teda "obnovená" nosná vlna. Taktiaľ vzniklými impulzmi o kmitočte nosnej obrazu sa otvárajú (klíčujú) striedavo dvojice T 27, T 29 a T 28, T 30. Okamžitá hodnota prúdu v čase otvorenia dvojice je daná neobmedzovaným napätiom OMF signálu na bázach T 21 a T 22.

Pri každej kladnej polvlnie na vstupe 16 IO otvorí odpovedajúci kladný impulz na bázach T 28 a T 30 tieto tranzistory, pri čom tranzistormi T 21 a T 22 tečie prúd, ktorý je úmerný modulovanej nosnej 38 MHz - jej kladnej (T 22) alebo zápornej (T 21) okamžitej hodnote napäcia. Pri každej zápornej polvlnie na vstupe 16 IO dostávame kladný impulz na bázach T 27 a T 29 a tieto tranzistory potom vedú prúd. Vstup č. 1 môže byť buď pripojený na vstupný signál symetricky ku vstupu 16 (cez sekundárnu cievku posledného ladeného obvodu filtra OMF), takže už na vstupe je na ňom napätie presne v protifáze k bodu 16, alebo môže byť pripojený cez vhodnú kapacitu - napr. výstupnú kapacitu  $\pi$ -filtra ako v našom prípade. Signál sa potom symetrizuje v ďalších stupňoch MF zosilňovača. Vstup 1 musí byť galvanicky oddelený (nás C 28 22nF) od vstupu 16.

Ked je teda napr. otvorená dvojica T 28, T 30, prechádza cez tranzistor T 22 kladná polvlna prúdu modulovanej nosnej a cez T 21 záporná, ako je naznačené na obr. 2.3. Kladná polvlna v T 22, teda zvýšený prúd proti klidovému stavu, prechádza cez T 30, ktorý je zapojený priamo na napájací zdroj a zmeny prúdu v ňom sa preto ďalej neprepášajú. Záporná polvlna prúdu cez T 21 a T 28 však vytvorí kladnú polvlnu napäcia na zatažovacom odpore  $R_L = R 44$ , ktorá bude mať tým väčšiu amplitúdu, čím je okamžité modulačné napätie vyššie.



OBR. 2.3

Zapojenie je dvojcestné: pri otvorených T 27 a T 29 bude záporná polvlna prúdu tieť cez T 22 a T 29, takže sa opäť vytvorí na R 44 kladná polvlna napäcia. Na obr. 2.3 sú takto znázornené dve periody signálu na vstupe MF zosilňovača v IO A 240 D a na výstupe demodulátora t.j. na kolektorech T 28, T 29 a pripojenom zatažovacom odpore.

Bez signálu a bez šumu je na výstupe demodulátora kladové j.s. napätie: bez signálu je rovnaké napätie na bázach T 21 a T 22, a podobne nie je rozdiel napäcia na bázach T 27 až T 30. Tranzistormi T 28 a T 29 potom tečie rovnaký prúd, 1/4 prúdu I zo zdroja prúdu T 25. Pri bielych špičkách, t.j. veľmi malej okamžitej hodnote napäcia o prúdu nosnej vlny, bude napätie na výstupe demodulátora takisto len o málo vyššie než bez signálu. Na pracovnom odpore R 44 vznikajúci videosignál so S.I. v kladnej polarite je zosilnený ďalej popísanými predzosilňovacími stupňami. T 19, T 20 a T 40,

T 41 sú emitorové sledovače, ktoré od seba oddelujú vstupy synchrodetektora. T 25 a T 26 sú zdroje prúdu pre "obnovovač" nosnej a pre demodulátor.

Pracovný bod demodulačného násobiča môže byť menený zvonka pripojeným trimerom - potenciometrom medzi vývodom 10 a kostrou. Mení sa ním celkový emitorový odpor T 25 a teda aj prúd tohto tranzistora, ktorý je súčtom emitorových prúdov tranzistorov T 21 a T 22. Tranzistor T 25 má pevné napätie na báze dané diódami D 14, D 15. Týmto spôsobom je možné meniť "činitel násobenia" a teda výstupnú amplitúdu videosignálu. Úroveň záporných vrcholov S.I. je udržiavaná obvodom AGC na temer konštantnej hodnote cca +2 V. Potenciometrom "P" v bode 10 meníme js. úroveň bielej na výstupe č. 11 IO od 5 V (max. hodnota P) do 6,5 V (bod 10 uzemnený). Potenciometer je označený P1 10K u TVP Satelit/Pluto a P2 u TVP Merkur.

Z hladiska šumu pri slabých signáloch, lepšej linearity získaného videosignálu, nižšej intermodulácie medzi nosnou vlnou zvuku a pomocnou nosnou farby ako aj z hladiska potlačenia nosnej vlny na výstupe je tento systém synchrónnej detekcie o mnoho dokonalejší než bežný detektor.

#### 2.3.3 Video predzosilňovač

Demoduláciou získaný videosignál, ktorý sa nachádza na kolektorech tranzistorov T 28 a T 29 (za R 44) je privádzaný na video predzosilňovač emitorovým sledovačom PNP - T 42. Synchronizačné impulzy (SI) na báze T 42 sú kladné. (Takto polarizovaný signál je však pri farebnej televízii označovaný ako -Y!)

Kombinácia tranzistorov T 43, T 44 zosilňuje tento signál o 6 dB, obracia jeho polaritu a dodáva videosignál v bode 11 cez emitorový sledovač T 47 (negatívna polarita SI = kladný Y - signál.) Ten istý signál prichádza na obracač fázy T 45 a z neho je cez emitorový sledovač T 48 privádzaný pri kladnej polarite SI na vývod 12.

Je nutné si uvedomiť, že konštantná úroveň čiernej pri zmenách napájacieho napäťia a úrovne vstupného signálu je iba na vývode 11. Emitorový odpor je tu tvorený zdrojom stáleho prúdu T 46 a pripojeným vonkajším obvodom, pričom signál pre AGC je odoberaný z rovnakého miesta (emitor T 44) ako pre výstup 11. Šírka pásma predzosilňovača videosignálu je asi 10 MHz. Prenikaniu nosnej vlny na výstup je jednak zabránené dvojnásobne symetrickým zapojením a linearitou synchrodetektora, jednak sú vyššie splodiny detektora odfiltrované obmedzením vysokých kmitočtov, daným hore uvedenou šírkou pásma video predzosilňovača. (Multiplikatívny demodulátor vytvára druhú harmoniku nosnej, ako vyplýva z priebehu signálu znázorneného na obr. 2.3.)

#### 2.3.4 Automatické riadenie zisku

AGC pre MF zosilňovač je riešené v tomto IO interne. Videosignál z emitora T 44 je privádzaný na diferenčný páár T 59, T 60 a porovnávaný s jednosmernou úrovňou na báze T 60, ktorá je teplotne kompenzovaná. Zosilnený rozdiel napäti sa nachádza na kolektore T 60 a je privádzaný do hradlového obvodu T 58, T 61, T 62, D 19, D 20, D 21, ktorý sa otvára pripojením vývodu 7 na kostru alebo privedením záporného napäťia na tento vývod. Keď bod 7 je odpojený od vonkajších obvodov, nachádza sa tranzistor T 58 v stave saturácie. To znamená, že napätie na jeho kolektore je rovnaké alebo nižšie než napätie na báze (dané diódami D 20, D 21). Týmto nízkym napätim, ktoré je súčasne aj na pripojenej báze T 61, je zavretý tranzistor T 61. Na emitore T 61 spojenom s emitorom T 62 je totiž súčasne napätie z napájacieho bodu 14 minus napätie báza-emitor T 49 a báza-emitor T 62, teda približne 4,5 V.

Napätie báza-emitor otvoreného tranzistora a anóda-katóda otvorenej diódy sa bežne značí  $U_{BE}$  a je cca 0,65 V u menších tranzistorov Si.

V našom prípade je teda na báze T 61  $2U_{BE}$  alebo menej. Preto je tiež uzavretá dióda D 19. Tranzistory T 60 a T 62 sú otvorené, pretože porovnávacie napätie na báze T 60 je nižšie než napätie na emitorie T 62.

Zmeny prúdu T 60 a T 62 v závislosti na signále privádzanom do bázy T 59 neprechádzajú do ďalších stupňov pre zavretý T 61.

Pri uzemnení bodu 7 alebo zápornom napäti na ňom (klúčovanie zápornými impulzmi spätných behov H) sa uzavrie tranzistor T 58, napätie na báze T 61 privádzané cez R 83 prekročí napätie na emitorie a tento tranzistor sa otvorí, takže rozdielové napätie z kolektora T 60 ovplyvňuje cezeň prúd tranzistora T 63. Prúdové impulzy, ktoré vznikajú vplyvom rozdielového signálu tohto riadiaceho systému, nabíjajú vonkajší elektrolytický kondenzátor pripojený na vývod 4 IO cez diódu D 18. Čím silnejší signál, tým je nižšie napätie na bázach T 47 a T 59, t.j. i v bode 11 počas vrcholov synchropulzov, kedy sa aj otvára záporným spätným behom v bode 7 tranzistor T 61. Pri silnejšom signále teda tečie menší prúd cez T 59 a väčší cez T 60, T 61. Napätie na báze PNP tranzistora T 63 klesá, teda cezeň tečie väčší prúd, ktorý nabíja kondenzátor pripojený do bodu 4 na vyššie napätie. (Tu treba upozorniť, že na novšom integrovanom obvode pre OMF, A 241 D v rade Saturn, napätie na podobnom "AGC" - kondenzátore, vývod č. 14 IO, pri silnejšom signále klesá.)

Napätie na báze T 61 nemôže byť vyššie než o  $U_{BE}$  proti báze T 62 a teda aj proti emitoru T 49 vplyvom diódy D 19. Tým je stabilizovaný pracovný bod T 61 bez ohľadu na hodnotu napájacieho napäcia v bode 13 a súčasne zatvorený T 62 (jeho  $U_B = U_E$ ).

Js. napätie vznikajúce v bode 4 nabíjaním vonkajšieho kondenzátora  $20\text{ }\mu\text{F}$  resp.  $50\text{ }\mu\text{F}$  sa zosilňuje a obracia vo fáze tranzistormi T 51 a T 52, na ktoré je privádzané cez emitorový sledovač T 53. Toto napätie určuje js. prúd pretekajúci diódami D 3, D 4 a D 1, D 2; pri zväčšení signálu na vstupe IO klesá napätie na kolektoroch T 51, T 52 a preto sa zvyšuje dynamický odpor uvedených diód, čo má za následok zníženie zisku prvých dvoch stupňov.

Na spoločnom a žiadnej kapacitou nepremostenom emitorovom odpore diferenciálnej dvojice nevzniká s ohľadom na protifázne signálové prúdy záporná spätná väzba. Odpory R 9, R 10 a R 16, R 17 sú spojené spolu diódami. - ak sú tieto plne otvorené, stávajú sa odopy spoločnými pre oba tranzistory dvojice, napr. T 3, T 4 a R 9, R 10. Pri zavretých diódach D 1, D 2 uplatňuje sa R 9 ako člen zápornej spätej väzby pre T 3 a R 10 pre T 4.

Prvý zosilňovač je riadený s určitým "oneskorením" proti druhému, pretože napätie pre bázu T 51 prichádza z deliča R 62 - R 63, R 64. Pri zapojení vývodu 7 na kostru udržuje systém AGC na konštantnej hodnote minimálnu okamžitú úroveň videosignálu, t.j. vrcholy negatívnych synchronizačných impulzov. Privádzaním negatívnych impulzov spätného behu riadkového vychylovania vo vhodnej fáze do bodu 7 otvára sa hradlo T 58, 61, 62 - D 19, 20, 21 iba počas týchto klúčovacích impulzov a preto je napr. možné odovzdávať AGC napätie podľa úrovne predného alebo zadného "schodiška" pri synchronizačnom impulze, t.j. podľa riadkových zatemňovacích impulzov, čím sa udržuje na konštantnej úrovni signál pre čiernu miesto vrcholov synchropulzov (SI). Privádzanie H-spätných behov reguluje zosilnenie podľa vrcholov SI a zabezpečuje odolnosť systému AGC voči šumu a poruchovým impulzom. Klúčovacie impulzy v zápornej polarite pre AGC sú dodávané z vinutia 3-1 VN transformátora TR 1 cez kondenzátor 100 nF. Potrebná amplitúda je  $> 1,5$  V, max. povolené je 5 V; impulzy od VN trafa sú preto zmenšované deličom R 11/R 12 na základnej doske, 22k/680 R.

Poznámka: hodnota M 15 na niektorých starších schémach Satelit - Pluto je nesprávna.

Na vinutí 3-1 je amplitúda asi 100 V<sub>g-s</sub>, výsledné cca 2 V, ktoré zistíme na šp. 7 IO sú dané okrem hodnotou R 12 ešte paralelne k tomuto odporu ležiacou vstupnou impedanciou na šp. 7.

Uvedený delič je nutný preto, že VN trafo má pomerne malý počet závitov a už jediný závit dáva viac, než povolených 5 V napäťia spätných behov.

#### 2.3.5 Oneskorené AGC pre tuneru

Jednosmerný zosilňovač pre riadenie tunerov pozostáva z diferenciálneho páru T 54, T 56 (PNP) a tranzistora T 55 (NPN). Jednosmerný prúd cez tranzistor T 57 môže tieť iba ak napätie na báze T 54 je nižšie než napätie na báze T 56, teda pri dostatočne vysokom napätií v bode 4. Pretože napätie na báze T 56 je možno nastaviť vonkajším trimrom (P 2 6k8 resp. P 1 10k) medzi vývodom 6 a kostrou, je možné príslušne oneskoríť nasadenie prúdu cez T 57, ktorý v bode 5 znižovaním napäťia vonkajšieho zdroja a odporu (delič R 16/R 17, resp. R 11/R 12 u Merkura) s filtračným kondenzátorom C 20 (C 30) 10/ $\mu$ F riadi bázový prúd vstupných tranzistorov PNP alebo  $U_{G2}$  FE-tranzistorov v tuneri. Výdajnosť prúdu cez T 57 je fixovaná jeho emitorovým odporom R 69 na typickú hodnotu 8 mA, preto môže A 240 D ovládať aj zosilnenie tunerov vybavených atenuátormi z PIN diód. Dióda D 12 kompenzuje bod nasadenia oneskoreného AGC pre tuner pri zmenech teploty.

#### 2.3.6 Stabilizovaný zdroj napäťia

Napájacie napätie privádzané do bodu 14 cez vonkajší odpor je stabilizované zenerovou diódou Z 1 (na schéme IO sa nachádza pod nápisom "Zdroj konšt. prúdu"), ktorá stabilizuje pracovné body obvodu, aby boli konštantné i pri zmenach napájacieho napäťia. Konkrétnie je stabilizované napájacie napätie MF zosilňovača, pracovné body hradlového obvodu v systéme AGC a jednosmerný zosilňovač pre interné i externé AGC. Pre stabilizáciu okrem uvedenej diódy slúžia v tomto IO viaceré tranzistory, zapojené ako diódy, skratovaním kolektora s bázou. (Sú tiež na schéme značené "D".) Z uvedených dôvodov je funkcia IO stabilná a rovnaká v značnom rozsahu napájiacich napäťí v bode 13.

#### 2.3.7 Videosignál

Odvádzá sa z vývodu 11 IO cez vonkajší odpor R 12 (R 14) a odlaďovač 6,5 MHz tvorený ladeným obvodom L 8/C 22 na bázu tranzistora T 2 - 0. Z kolektora tohto tranzistora ide signál s kladnou polaritou SI a so zúženou šírkou pásma pomocou kondenzátora C 25 2n2 (resp. C 31 560p) pri zatažovacom odpore R 14 150R (resp. R 19 390R) na oddelovač synchronizačných impulzov v module "S". Z emitora tranzistora T 2 sa viedie signál do jasového a farbového kanála. Odber signálu pre ZMF zosilňovač je z vývodu 12 integrovaného obvodu cez R 10, C 21 resp. R 16, C 23 u Merkura (330 ohm, 10 pF).

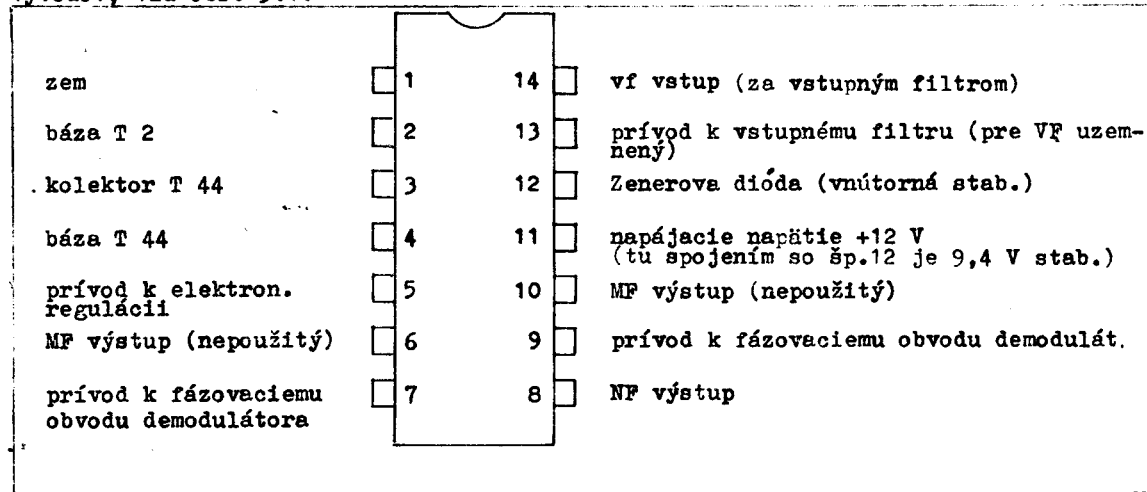
Členy TL 1, C 26, 27 (C 20, 23, 25) a C 18 (6) slúžia pre filtračiu napájacieho napäťia. U TVP Satelit, Pluto spája vývody obnovovača, šp. 8 a 9 IO, galvanicky vif tlmička TL 2, pretože pre optimálny priebeh selektivity je obvod L 9 - C 23 pripojený cez kondenzátor C 29 10pF. Tým sa znižuje impedancia medzi vývodmi 8 a 9 pre kmitočty blízke nosnej zvuku, aby nosná zvuk bola proti nosnej obrazu čo najviac potlačená. U Merkura boli TL 2 a C 29 z obnovovača nosnej opäť vypustené eko málo efektívne, pri čom sériový kondenzátor zhoršoval vyžarovanie vif. elektromagnetického pola z LC obvodu. Jeho odstránenie umožnilo určité zvýšenie citlivosti OMF zosilňovača.

### 3.0 ZVUKOVÝ DIEL

#### 3.1 Všeobecne

Zvukový diel prijímača umožňuje výber a spracovanie zvukového doprovodu v normách CCIR D/K i B/G (správne pomenovanie proti nepresnému OIRT/CCIR). Konštrukčne je riešený ako jeden samostatný modul celého zvukového traktu, ktorý je označený ako modul "Z".

Zvukový medzifrekvenčný signál vytvorený v OMF sa privádza cez odpor R 10 330 ohm a kondenzátor C 21 10 pF na vstupný filter. (Uvedené R,C prvky sú ešte na module OMF) - toto označenie platí pre modul 6PN 052 16, v typoch Satelit a Pluto. V Merkure pri module OMF 6PN 054 00 je to R 16 a C 23.) Vstupný filter je dvojitý, obsahuje dva paralelne ladené obvody pre 5,5 MHz a 6,5 MHz; zapojené do série a pripojené na vstup integrovaného obvodu IO 1 - A 220 D. Integrovaný obvod A 220 D je symetrický 8-stupňový limitačný zosilňovač so symetrickým koincidenčným FM demodulátorom, ní predzosilňovačom a s elektronickým regulátorom hlasitosti pomocou jednosmerného napäťa na vývode č. 5. Regulácia hlasitosti, t.j. delenie signálneho prúdu do pracovného odporu a mimo neho, sa realizuje premenlivým odporom - potenciometrom hlasitosti medzi vývodom 5 a zemou. Pre pripojenie vonkajších obvodov má IO A 220 D 14 vývodov, viď obr. 3.1.

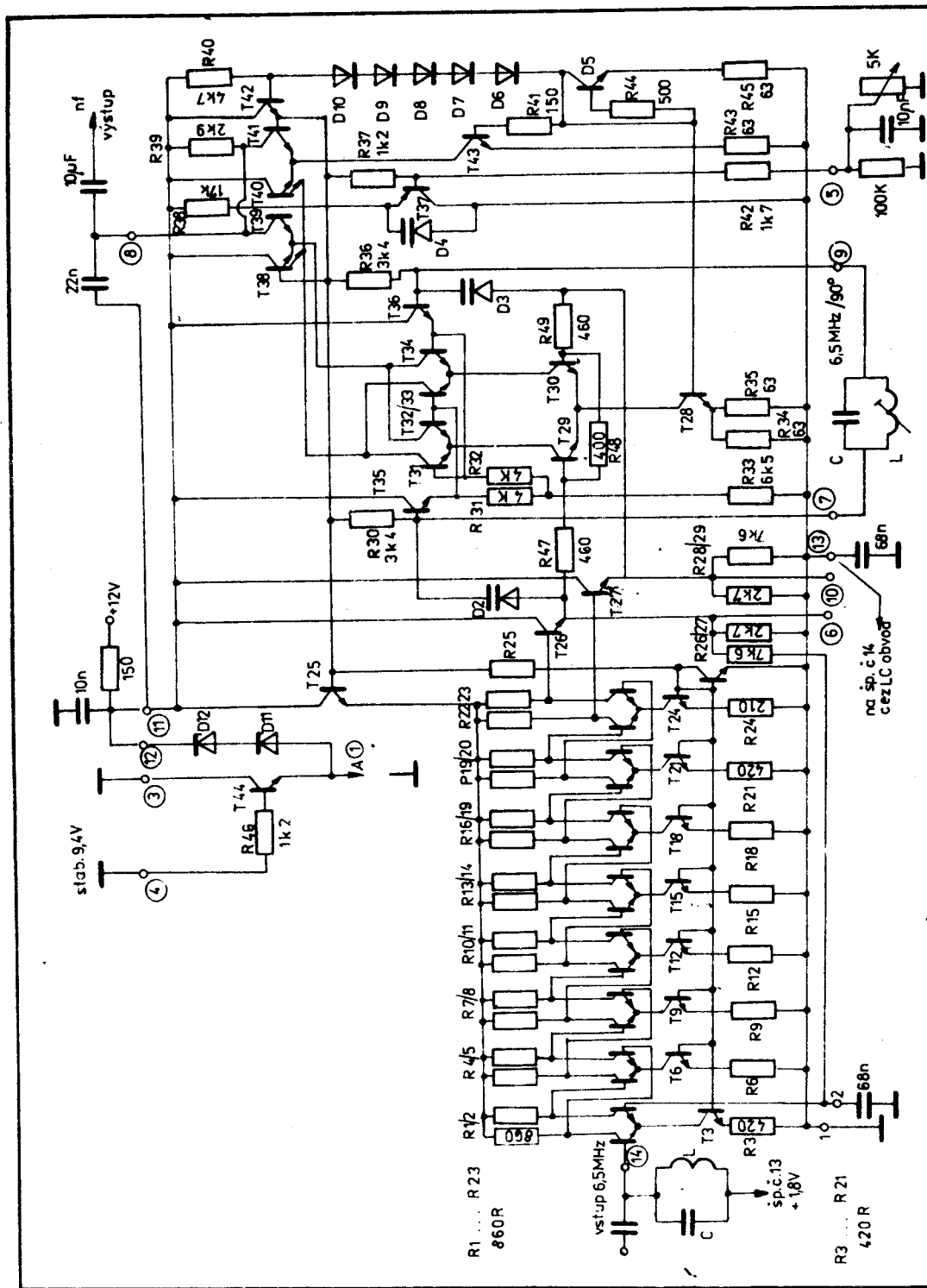


OBR. 3. 1

#### 3.2 Popis funkcie jednotlivých obvodov IO A 220 D

Vnútorná schéma tohto integrovaného obvodu je na obr. 3.2. Pretože tento IO je pomerne prehľadný a jeho jednotlivé bloky predstavujú dnes klasické riešenie, popisueme jeho činnosť podrobne, avšak pre základný prehľad uvádzame najprv stručne účel pripojených vonkajších prvkov:

Živý koniec vstupného filtra sa pripája na šp. 14, kde je pripojený i väzbový kondenzátor 10 pF od integrovaného obvodu OMF A 240 D. Druhý koniec filtra je pre vf uzemnený pomocou C 4 68n a je pripojený na vývod č. 13 IO. (v schémach TVP radu Satelit/Pluto a Merkur je tento vývod mylom označený ako č. 2). Cez cievky filtra dostáva vstupný tranzistor IO z vývodu 13 predpäťie pre bázu. Limitačný zosilňovač ZMF je tvorený diferenciálnymi zosilňovačmi a báza druhého tranzistora (T 2) vstupnej dvojice, na ktorú nie je signál privádzaný, je blokovaná kondenzátorom C 11 68n; predpäťie dostáva vnútorne z miesta, zapojeného symetricky ku vývodu 13. Jednosmerne je teda zapojenie symetrické, vstup nesymetrický.



Jednotlivé stupne zosilňovača ZMF sú viazané medzi sebou jednosmerne (ako ináč ani dobre nemôže byť) a symetria pracovných bodov je udržiavaná ako obyčajne tak, že z kolektora posledného tranzistora jednej signálnej retaze je odvodené predpäťie pre vstupný tranzistor druhej retaze a naopak (js. spätná väzba, skratovaná pre vš uvedenými C 4 a C 11).

Výstupy ZMF zosilňovača sú vyvedené na šp. 6 a 10, ktoré zostávajú nezapojené (sú to súčasne vstupy demodulátora).

Fázovací paralelný ladený obvod je pripojený medzi vývody 7 a 9 - v našom prípade je tento obvod tvorený ako už je uvedené dvoma paralelnými obvodmi. Pre väzbu s fázovacím obvodom nie je potrebný žiadny vonkajší kondenzátor, je zabezpečená vnútornými varikapmi, viď schému IO, D 2, D 3.

Nízkofrekvenčný výstup je na šp. 8, ktorá musí byť pripojená k vstupu nf zosilňovača, v našom prípade MBA 810 S, DS, cez kondenzátor na oddelenie j s napäťia 6 V (C 8 10/ $\mu$ F).

Vonkajší obvod riadenia hlasitosti (P 2 5k na bočníku a paralelne pripojený R 1/Z 100k s blokujúcim kondenzátorom C 5 10/ $\mu$ F) sú pripojené na šp. 5, kde vzniká pri zmene nastavenia P 2 zmena napäťia pre bázu vnútorného regulačného tranzistora. Napájacie napätie sa privádza na šp. 11 a 12 cez odpor 150 ohm. Vnútorné stabilizačné Z-diódy - pripojené na šp. 12, spojenú zvonka so šp. 11, zabezpečujú stabilné napájacie napätie resp. ochranu pre prípad, že by nejakou chybou napájacie napätie vystúpilo nad povolených cca 15 V - v našom prípade je však IO napájaný nižším, stabilizovaným napäťím 11 V. Špičky 4 a 3 nie sú v našom prípade využité (viď schému IO - ide o samostatný tranzistor naviac).

Zemiacim spojom je. šp. 1. Kondenzátory C 6 10 nF (v napájaní) a C 7 22 nF (na výstupe nf) slúžia súčasne pre integrovanie prúdových impulzov medzinosného kmitočtu (vlastne jeho dvojnásobku) a filtráciu vyšších harmonických z demodulátora. C 7 spolu s vnútorným zaťažovacím odporem demodulátora tvorí člen deemfázy (vývody č. 11 a 12 IO sú pre striedavé prúdy uzemnené cez C 14 200/ $\mu$ F na základnej doske).

U starších Z-modulov je medzi vstupom do modulu, šp. 7 modulu a vstupom IO šp. 14 ešte oddelovací kondenzátor 47 pF, neskôr vypustený s ohľadom na väzbový kondenzátor C 21/0 na OMF module (C 23 u 6PN 054 00 Merkur).

### 3.2.1 Obmedzujúci zosilňovač

Širokopásmový zosilňovač tvorí osiem stupňov zhodných diferenčných zosilňovačov, viazaných spolu jednosmerne. Js. úrovne jednotlivých tranzistorov v tomto zosilňovači i v demodulátori sú odvodené zo stabilizačného retazca diód D 6 až D 10. Emitorové tranzistory T 3, T 6 atď. diferenčných stupňov majú jednotné bázové predpäťie z tohto retazca spolu s tranzistormi v demodulátori. O stabilitu a symetriu pracovných bodov je postarané js. spätnou väzbou.

Celkové zosilnenie týchto ôsmich zosilňovacích stupňov je cca 70 dB, aby sa dosiahlo dokonalé obmedzenie amplitúdy FM signálu. Aby sa pri tak veľkom zosilnení zabránilo vzniku parazitných kmitočtov, je šírka pásma tohto zosilňovača obmedzená jeho vnútornými kapacitami na cca 12 MHz.

Jednosmerné pracovné body zosilňovacích stupňov sú nastavené odpormi R 26 a R 29 a stabilizované pomocou zápornej spätej väzby ako je uvedené vyššie. Prevádzka zosilňovača, kde každý stupeň obsahuje v sérii s emitorovým odporem zdroj konštantného prúdu (T 3, T 6 atď.), je stabilná v širokom rozmedzí teplôt 0 až 70°C. Na výstupoch zosilňovača je použitý pári emitorových sledovačov T 26, T 27, na ktoré je

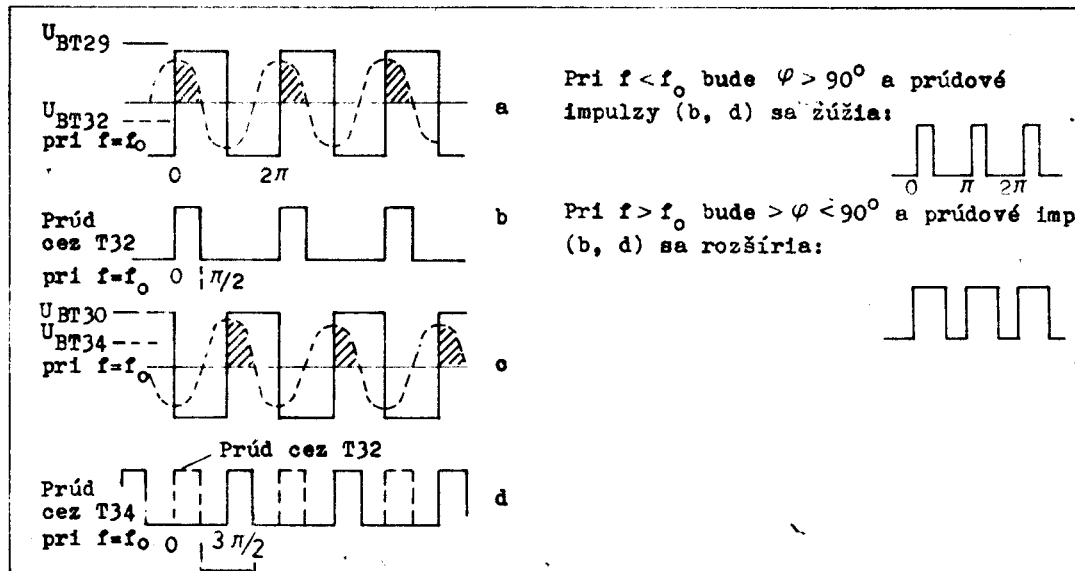
pripojený demodulátor. Výstupy sledovačov (vstupy demodulátora) sú vyvedené von na (nezapojené) šp. 6 a 9.

Spoločné emitorové tranzistory a odpory, nepremostené žiadou kapacitou, prenášajú signál zo signálovej retaze od šp. 14 do druhej retaze, takže na výstupoch zosilňovača šp. 6 a 10 sú obmedzené symetrické signálne napäťové impulzy v protifáze.

### 3.2.2 Koincidenčný demodulátor

Funkcia koincidenčného demodulátora v IO A 220 D je obdobná činnosti demodulátora v IO MAA 661, čo je popísané u ČB TVP radu Dukla (Technická informácia č. 16). Jednoducho povedané, za malým väzbovým kondenzátorom  $C_V$  sa napätie na paralelnom LC obvode natáča tak, že pri rezonancii LC obvodu predchádza napätie na ňom temer o  $90^\circ$  napätie na celej kombinácii  $C_V - L/C$ . Demodulátor sa ladi tak, aby pri nemo-  
dulovanej nosnej bolo natočenie fázy  $\varphi$  práve  $90^\circ$ .

Tento detektor obsahuje tri diferenčné stupne: T 29/30, T 31/32 a T 33/34, pričom tranzistory T 29/30 sú zapojené v emitorových vetvach dvôjic T 31/32 a T 33/34 a sú majú spoločný zdroj konštantného prúdu, T 28. Ak by boli všetky tranzistory demodulátora súčasne otvorené a mali by vzájomne rovnaké napäťia na bázach, pretekala by každým tranzistorom hornej štvorice štvrtina prúdu T 28. V našom prípade je obmedzený signálom napäťím vždy súčasne jeden tranzistor dvojice otvorený a druhý zavretý, takže v určitom okamihu tečie prúd len cez jediný tranzistor hornej štvorice a je (až na malý zlomok, daný bázovým prúdom) rovný prúdu zdroja T 28. Je to znázornené na obr. 3.3 "Tabuľka činnosti FM koincidenčného demodulátora".



Pri nemodulovanej nosnej vlnie dodáva demodulátor do zataž. odporu polovicu prúdu T 28. Pri zmenách frekvencie sa podľa ich zmyslu tento podiel zvyšuje alebo znížuje.

OBR. 3. 3

TABUĽKA ČINNOSTI FM KOINCIDENČNEHO DEMODULÁTORA

Obmedzené, frekvenčne modulované medzifrekvenčné signály z emitorových sledovačov T 26 (výstup 6) a T 27 (výstup 10) sa privádzajú v protifáze na diferenčný stupeň T 29, 30. Na jeho výstupe vytvorené prúdové impulzy obdlžnikového tvaru sa z kolektarov týchto tranzistorov privádzajú na diferenčné stupne hornej štvorice do ich emitorov (pretože smer prúdu je obrátený, je vhodná predstava o toku elektrónov).

Zvukový mf signál privádzaný cez emitorové sledovače T 35 a T 36 na bázy štvorice T 31 ... T 34 je proti signálu na bázach T 29 a T 30 fázovo posunutý pomocou malých kapacít, t.j. kondenzátorov, realizovaných tu varikapmi D 2 a D 3 a rezonančným obvodom LC (v našom prípade je to už uvedený dvojitý filter L 3/C 9 a L 4/C 10, nalaďený tak, aby pri kmitočte rovnom 6,5 resp. 5,5 MHz bol signál posunutý práve o  $90^\circ$  ( $\pi/2$ )).

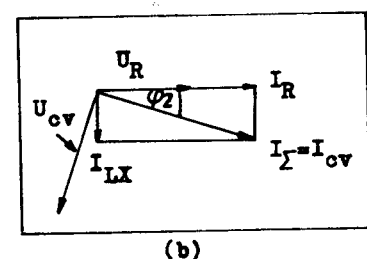
Ak by bola väzbová kapacita  $C_v$  predstavovaná diódami D 2, D 3, veľmi malá a dynamický odpor  $R_d$  LC obvodu v rezonancii pomerne malý, teda napätie  $U_{cv} \gg U_{LC} = U_{Rd}$ , dochádzalo by k natočeniu  $90^\circ$  pri nalaďení LC obvodov na vývodoch 7 a 9 IO do rezonancia práve pri  $f_o$ , t.j. pri kmitočte 6,5 resp. 5,5 MHz. V takomto prípade by však napätie na bázach hornej štvorice bolo príliš nízke, tranzistory by nepracovali v režime spínačov a získaný nf signál by bol príliš malý, nehladiac na určité skreslenie pri väčšom zdvihu, kedy by neplatilo, že  $\sin \varphi$  je približne rovný uhlu  $\varphi$  (v radiánoch) -  $\varphi$  je tu odchýlka od natočenia o  $90^\circ$ .

Väzbové kapacity fázovacieho obvodu sa teda volia väčšie, a dynamický odpor daný paralelnou kapacitou LC obvodu a jeho kvalitou Q taký, že pri rezonancii je natočenie menšie než  $90^\circ$  (viď fázové diagramy na obr. 3.4). Rezonancia LC obvodu je potom pri kmitočte vyššom než nemodulovaná nosná  $f_o$ , pre ktorú sa obvod chová ako paralelné zapojenie veľkej induktívnej reaktancie a menšieho ohmického odporu. Na takomto obvode, ktorý odpovedá sériovému zapojeniu veľkého ohmického odporu a menšej induktancie, sa napätie natočí tak, že sa doplní chybajúce natočenie o plných  $90^\circ$ . Toto platí všeobecne u všetkých podobných FM demodulátorov, pre jednoduchosť sa však hovorí, že je vtedy LC obvod nalaďený na (nemodulovaný) nosný kmitočet.

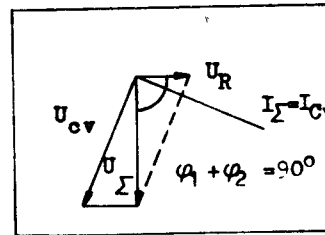
Napätie na LC obvode, nalaďenom do rezonancia, je o niečo menej posunuté ako o  $90^\circ$ , pretože  $X_{cz}$  nie je  $\gg$  ako  $R_d$  - dynam. odpor LC obvodu v rezonancii - viď (a).

Pri zvýšenom rezonančnom kmitočte LC obvodu proti  $f_o$  sa tento pri  $f = f_o$  (t.j. pri  $f_o < f_{res}$ ) chová ako veľká indukčnosť paralelne k odporu, približne rovnému  $R_d$ . V takom obvode je súčet paralelných prúdov  $I_{LX} + I_R = I_\Sigma$  oneskorený za napätim  $U_R$  - viď (b).

$I_\Sigma$  je prúd cez väzbový kondenzátor  $C_v$ . Podľa (c) vidíme, že pri vhodnom rozladení LC obvodu môže pre 6,5 MHz byť  $\varphi$  práve  $90^\circ$  i pri pomerne veľkom  $R_d$ .



(b)



(c)

OBR.3.4

Na obr. 3.3 je vyznačené, ktoré tranzistory vedú v určitých fázach signálu z obmedzovacieho zosilňovača a ako z toho vznikajú prúdové impulzy prechádzajúce cez zatažovací odpor, ktoré sú integrované paralelnou kapacitou a dávajú nf napätie, odpovedajúce modulačnému napätiu.

V druhej časti obrázku je príklad, keď sa okamžitý kmitočet  $f$  lísi od nominálneho kmitočtu  $f_0$ .

Vďaka symetrickej konštrukcii demodulátora prechádza prúdový impulz cez pracovný odpor pri každej polvlnie, takže pre každú periódu signálu máme dva šírkovo modulované impulzy, ktoré sa na pracovnom odpore sčítajú. Rovnakú napäťovú úroveň výstupných impulzov zaistuje tranzistor T 28, spoločný zdroj konštantného prúdu.

### 3.2.3 Regulácia úrovne výstupného nf signálu

Bez regulácie hlasitosti v tomto IO by boli "signálové" tranzistory T 32 a T 34 zapojené kolektormi priamo na zatažovací odpor R 39. Kvôli regulácii výstupného signálu sú ich kolektory spojené s emitormi tranzistorov T 38.2 a T 39 a len prúd tranzistora T 39 ide cez zatažovací odpor.

(Pretože tranzistory T 38 a T 40 majú vyvedené ešte druhé emitory, označujeme ako T 38.1 a T 40.1 ich časť, pripojenú na T 31, 33 a druhú časť T 38 zapojenú na "signálové" tranzistory T 32, 34 ako T 38.2, ďalej časť T 40 tvoriacu dvojicu s T 41 ako T 40.2.)

Regulácia hlasitosti je založená na princípe riadeného rozdelovania prúdu. K tomu účelu je použitá štvorica tranzistorov T 38, 39 - T 40, 41, t.j. ďalšie dva diferenčné stupne. Výstupný, šírkovo modulovaný impulzný prúd demodulátora sa privádza teda na T 38.2 a T 39. Potom z vonku na vstupe 5 IO nastavené rozdelenie prúdu spôsobuje napr. zmenšenie amplitúdy prúdových impulzov cez R 39 a tým zníženie úrovne nf napäťia na ňom. To je riadené zmenami napäťia na báze PNP tranzistora T 37 a teda i na bázach T 39 a T 40. Dvojica T 40.2 - T 41 s pevne nastaveným spoločným prúdom zo zdroja T 43 pôsobí opačne proti veľkosti riadenej js. úrovne na R 39 prúdom tranzistora T 41, ktorý stúpa, keď bázové napätie na T 39 a T 40 klesá, takže js. napätie na výstupe IO č. 8 sa udržuje prakticky konštantné. (Je tam cca 7 V, na schémach radu Satelit je uvedené omylem 12 V.)

Pri maximálnej hlasitosti je na bázach T 39 a T 40 natolko vyšše napätie než pevné  $U_B$  u T 41 (a T 38), že tieto dva druhé tranzistory sú uzavreté a celý signálový prúd prechádza cez T 39 (súčasne celý prúd T 43 cez T 40.2). K tomu predpisuje výrobca integrovaného obvodu veľkosť odporu v bode 5 proti zemi 5k. Pri jej znížovaní - t.j. znížovaní hodnoty potenciometrom hlasitosti P 2 (zapojeného ako reostat) prechádza postupne stále väčší podiel prúdu na T 38/2 a T 41, signálne napätie na R 39 sa znižuje, ale js. úroveň zostáva zásluhou prúdu cez T 41 rovnaká.

Tranzistory T 38 a T 40 majú vyvedené druhé emitory, čo sme označili ako T 38.1 a T 40.1: T 38.1 preberá zostatok prúdu T 31 resp. T 33, ktorý podľa regulácie hlasitosti nemôže odoberať T 40.1. Takože je pracovný režim tranzistorov T 31 a T 33 rovnaký ako u signálových tranzistorov T 32, T 34. Pretože ani kolektory ani emitory týchto tranzistorov nemajú žiadne spojenie s ďalšími obvodmi, nemá meniacie sa rozdelenie ich prúdov podľa zmien bázového napäťia na T 40/39 žiadny vplyv na diferenčné dvojice T 38.2 - T 39 a T 40.2 - T 41, teda ani na nf signál, ani na js. úroveň na výstupe IO.

Na vývod č. 8 IO pripojený kondenzátor 22 nF slúži k integrácii impulzov na R 39, takže na výstupe je nf signál s čiastočnou deemfázou.

### 3.2.4 Nízkofrekvenčný zosilňovač

NF zosilňovač na samostatnom module s integrovaným obvodom MBA 810 bol zavedený už do niektorých mutácií typového radu DUKLA. Medzitým boli zavedené zlepšené typy tohto IO a sice MBA 810 S a MBA 810 DS. Zapojenie IO MBA 810 S je na obr. 3.5 spolu s pripojenými vonkajšími súčiastkami (schéma IO MBA 810 DS je na obr. 3.6). Integrovaný nf výkonový zosilňovač, vyrábaný planárne epitaxiou technológiou na monokryštále kremíka, je zapojený ako zosilňovač s dvojčinným quazikomplementárnym koncovým stupňom v triede AB. Na obr. 3.7 je uvedená schéma podobného zosilňovača s diskrétnymi prvkami. Tranzistory T 9, T 13, T 14, T 15 a T 16 z obr. 3.7 prakticky svojou funkciou odpovedajú tranzistorom IO z obr. 3.5. (Uvedené hodnoty odporov a kondenzátorov slúžia pre názornosť - platia ako rádové.)

Hlavné funkcie nf zosilňovača si vysvetlíme na tejto klasickej schéme. NF signál pri-vedený cez C 8/Z na bázu tranzistora T 1 prechádza zosilnený na bázu tranzistora T 9. Pri zápornej polvlnie na báze T 9 je na jeho kolektore kladná polvlna, ktorá otvorí tranzistor NPN T 14 a napäťom na zatažovacom odpor R 9 v emitorovej točke tranzistora aj koncový tranzistor T 15. Súčasne sa (okrem pri malých signál. napätiach) uzavrie PNP tranzistor T 13 a koncový tranzistor T 16. Kolektorový prúd koncového tranzistora T 15 nabíja zo zdroja  $+U_a$  väzbový kondenzátor C 20/Z a prúd tečie do kostry prijímača cez kmitačku reproduktora  $R_z$ .

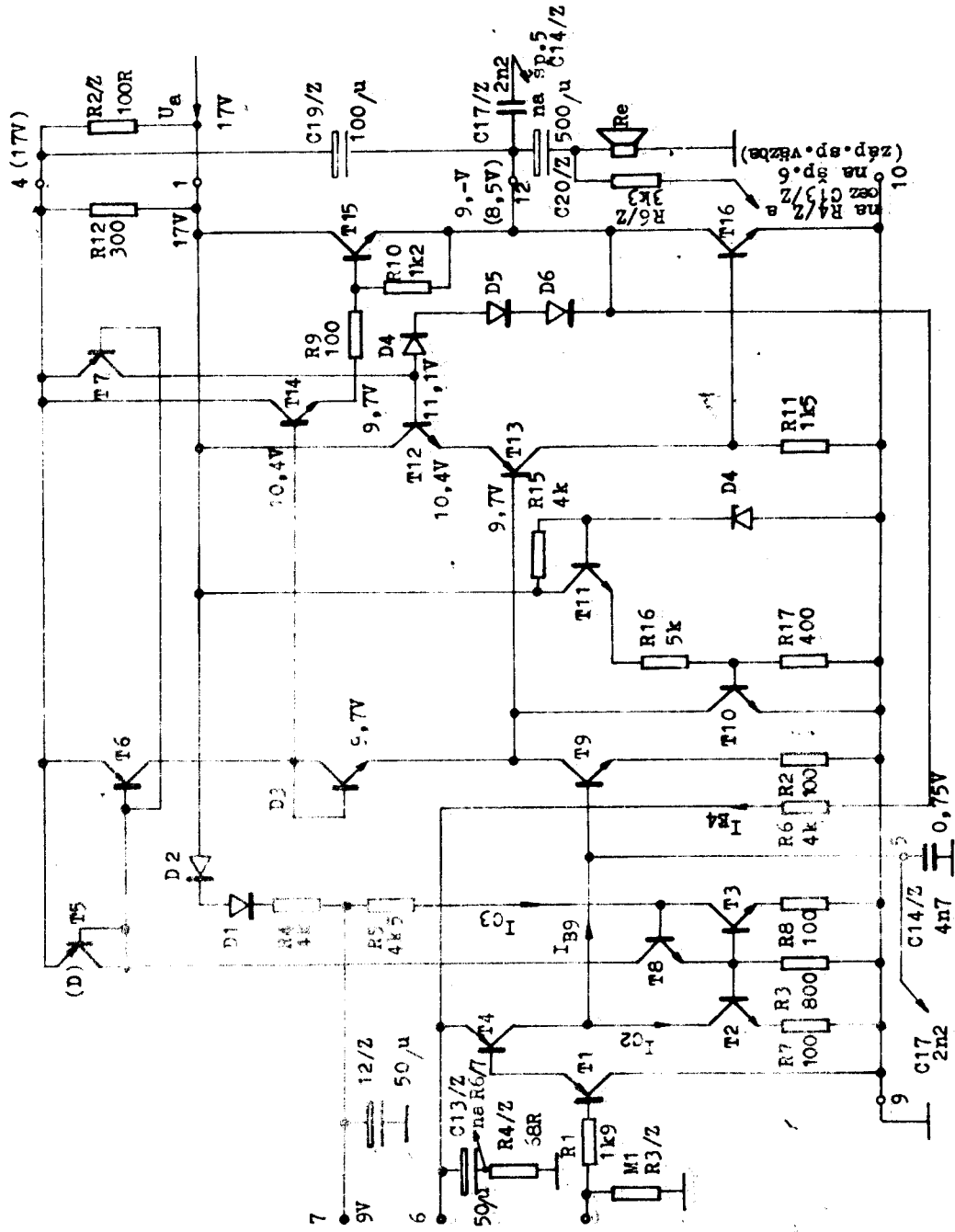
Reprodukторom teda tečie prúd od bodu 12' k bodu 10. C 20 bol v klude nabitý na približne polovicu napájacieho napäcia, v našom prípade teda cca 8 V; nabil sa kludovým prúdom cez T 15. Pri kladných polvlnach striedavého napäcia na báze T 9, ktoré otvárajú tranzistory T 13, T 16 a uzavárajú T 14, T 15, sa kondenzátor C 20 vybíja a prúd tečie z bodu 12 cez T 16 ku kostre a ďalej cez reproduktor od bodu 10 do bodu 12'.

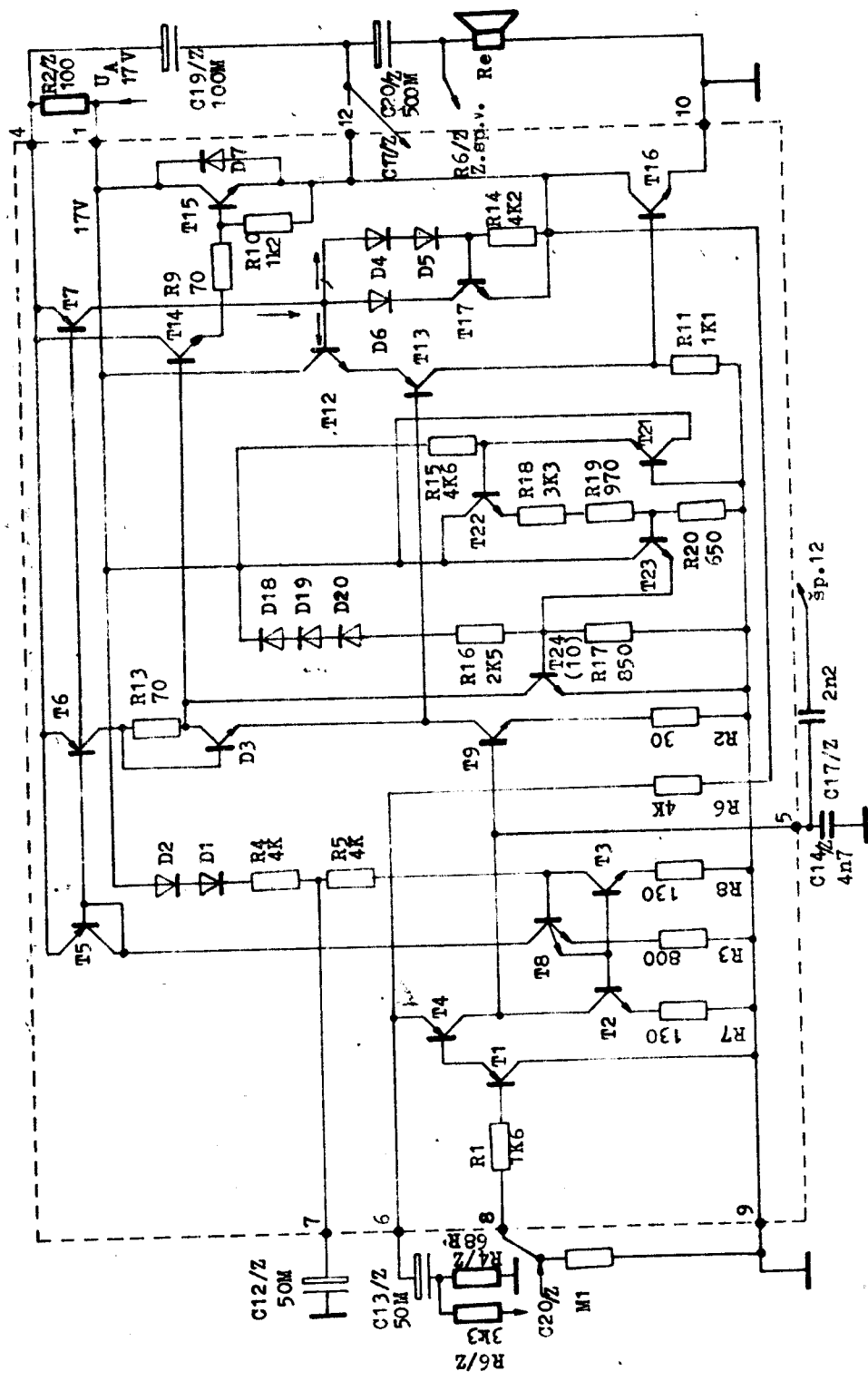
Kludový prúd koncových tranzistorov sa pri diskrétnych prvkoch nastavuje trimrom R 7; nesmie byť príliš malý, aby nevzniklo tzv. prechodové skreslenie pri tónoch slabej intenzity a teda veľmi malom okamžitek striedavom výkone zosilňovača. V prípade MBA 810 je pevne nastavený asi na 2 mA. Veľkosť kludového prúdu koncových tranzistorov je určená prúdmi báz komplementárnej dvojice T 13, T 14 a tieto opäť závisia na rozdielne napätiach medzi bázami.

Na Z-dióde D 3, ktorá je otvorená, je stabilné napätie, dané priechodom prúdu zo zdroja cez R 12, R 3 a T 9. Na bežci R 7 spojenom s bázou T 14 je teda kladné napätie proti spodnému koncu R 7, kde je pripojená báza tranzistora T 13 s opačným typom vodivosti. Bázový prúd obidvoch tranzistorov preteká od bežca R 7 cez P-N priechod (báza - emitor T 14, odpor R 9 a priechod emitor - báza T 13 v tomto prípade tiež P - N) ku katode diódy D 3.

Pri použíti kremíkových tranzistorov, kde musí byť  $U_{BE}$  vyššie než asi 0,5 V, aby mohol vôbec tieť bázový prúd, musí byť postarané o dostatočne veľké napätie na D 3, ktoré musí byť vyššie než  $3 \cdot U_{BE}$  - preto sa toto rieši často použitím Zenerovej diódy. (Napätie, vznikajúce emitorovým prúdom T 14 na odporu R 9 je tiež približne rovné horeuvekenej hodnote  $U_{BE}$ , aby mierne otváralo koncový tranzistor T 15. Z toho vyplýva celkové potrebné napätie  $3 \cdot U_{BE}$ .) Pri Ge-tranzistoroch ( $U_{BE} \geq 0,2V$ ) tu stačí normálna Si-dióda.

Na spoločnom bode koncových tranzistorov (12) má byť (z predpokladu čo možné rovnakých charakteristik týchto tranzistorov a pri zrkadlove súmerných charakteristikách komplementárnej dvojice) napätie veľmi blízke polovici napájacieho napäcia. Toto je dôležité pre získanie čo najväčšieho výkonu s malým skreslením, aby sa pri maximálnom využití obmedzovalo sínusové napätie na výstupe symetricky (vrcholy obidvoch polvln).

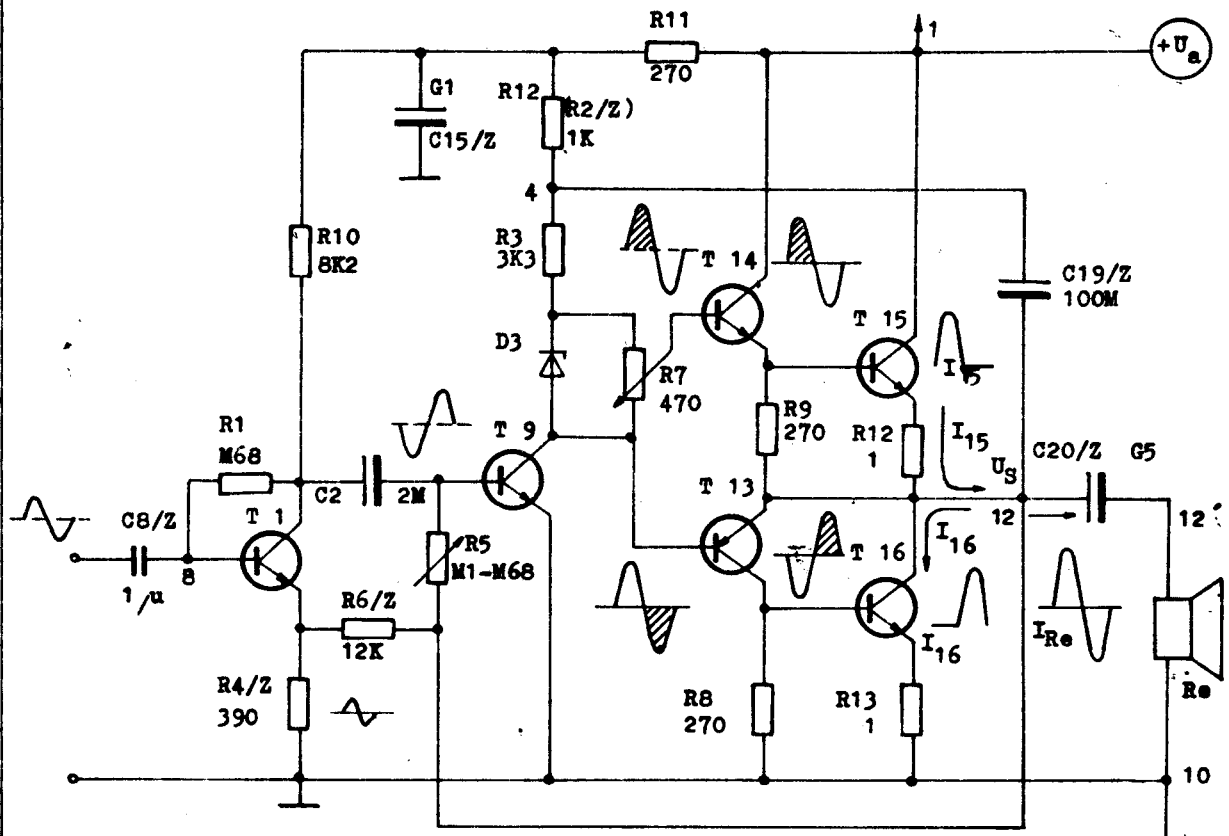




(Pozn.: číslovanie prvkov je prispôsobené tak, aby bolo zhodné s typom 810 S)

OBR. 3.6

TO MEA 810 DS



OBR. 3.7

Poznámky k tomuto obrázku:

- očíslované body zapojenia odpovedajú príslušným vývodom IO MBA 810
  - súčiastky R4/Z, R6/Z atď. sú vonkajšie prvky použité aj v skutočnom zapojení IO 2/Z, hoci s inými hodnotami
  - filtračný odpor R 11 použitý nie je, avšak odpovedá približne vnútornému odporu R 4 pri špičke 7 IO

Upozornenie: pre názornosť udané hodnoty R,C platia iba rádove; nejedná sa o skutočné schému.

Pretože v praxi nie je možné zabezpečiť túto požiadavku dostatočne presne, nastavuje sa napätie v bode "12" pomocou potenciometra - trimra R 5, s ktorým sa nastavuje pracovný bod tranzistora T 9. Jednosmerný kolektorový prúd tokúceho tranzistora nezávisí na signále a je natoliky veľký, že spolu s odporníkmi R 12 a R 3 rozhoduje o napätií v bode 12, na ktoré je kolektor T 9 pripojený cez priechod báza-emitor tranzistora T 13.

Namiesto vonkajších nastavovacích prvkov je nastavená symetria napätiia v bode "12" aj kľudový prúd koncových tranzistorov u IO MBA 810 (v širokom rozsahu napájacieho napätiia) vnútorným usporiadaním, čo bude vysvetlené neskôršie.

Vstupný zosilňovač T 1 na "klasickej" schéme predstavuje zapojenie tranzistorov T 1 a T 4 v IO MBA 810 S podľa obr. 3.5. Dva PNP tranzistory, s uzemneným kolektorom v prípade T 1 (v Darlingtonovom zapojení), dávajú veľké prúdové zosilnenie pri vysokom vstupnom odpore s veľmi nízkym vstupným prúdom. Na vstupe IO šp. 8 je zvonka pripojený odpor R 3 M1, a vstup je prakticky na nulovom potenciále, pretože básový prúd je veľmi malý. Vonkajší oddelovací transformátor C 8 10/ $\mu$ F je nutný preto, že výstup A 220 D je pod napätiim; pri zapojení MBA 810 napr. ako ní zosilňovača pre gramofón, kde by bola na vstup pripojená kryštálová prenoska cez regulátor hlasitosti, by mohol kondenzátor odpadnúť, čo neplatí o C 1 na schéme obr. 3.7.

V integrovanom obvode odpadá samozrejme vnútorný kondenzátor C 2, vstupné tranzistory sú však napájané z výstupu IO, kde je polovičné napájacie napätie, aby pri plnom vybudení bol sinusový signál obmedzovaný symetricky a teda, čo najmenej skreslený (viď "vyvážovací obvod" v ďalšom texte).

Záporná spätná väzba je realizovaná členom R 6/R 4, a pomer týchto odporov rozhoduje o zosilnení obvodu. Pretože na vývode č. 6 IO je napätie  $2 \cdot U_{BE}$  (emitor-báza T 4 a emitor-báza T 1), sú na obr. 3.5 vonkajšie odpory R 4 a R 6 oddelené kondenzátorom C 13 50/ $\mu$ F. V schéme na obr. 3.7 nie je podobný kondenzátor nutný, s ohľadom na vysoký pomer R 6 : R 4.

Raz nastavené polovičné napájacie napätie na výstupe  $U_s$  - striedavé napätie - je udržiavané jas. spätnou väzbou cez trimer R 5 (obr. 3.7); ak by napr. pre vyšší predpäťový prúd do bázy T 16 bolo  $U_s$  nižšie proti pôvodne nastavenej hodnote, zníži sa i predpätie bázy T 9, čím sa zvýši napätie na jeho kolektore. To pribrzdí prúd budiča T 13, takže T 16 bude predstavovať väčší odpor pre kľudový prúd, prichádzajúci naň od T 15. Podobná automatika je aj u integrovaného obvodu: pri nižšom jas. napätií na výstupe,  $U_{12}$ , odoberá retaz troch diód D 4, 5, 6, napájaná z prúdového zdroja T 7 viac prúdu a menej dostáva báza T 12, čo znižuje i bázový prúd T 13 a teda spôsobí tiež zvýšenie napätiia kolektor-emitor T 16 = zvýšenie  $U_{12}$ .

Rozdelenie kolektorového zatažovacieho odporu T 9 (na schéme obr. 3.7) na R 12 a R 3 pri zapojení kondenzátora C 19 G1 do spoločného bodu týchto odporov zabezpečuje plné budenie tranzistora T 14 pri kladnej polovine a plnom výkone koncového stupňa. Vtedy je T 9 privretý - na jeho kolektore a teda i za diódou D 3 je sice vyššie napätie, ale keďže vtedy je i vyššie napätie na výstupe 12, je rozdiel napätiia medzi bázou T 14 a emitorom T 15 (pri súčasne vysokochmiovom zdroji bázového prúdu T 14, aký predstavuje slabo otvorený tranzistor T 9 spolu so zatažovacím odporom) príliš malý pre dostatočné vybudenie T 14.

Zapojenie so zvyšovaním napájacieho napätiia pre bázu budiča pre dokonalé vybudenie koncového stupňa sa nazýva v zahraničnej literatúre "bootstrap" = obúvací remienok v čižme. Kondenzátor C 19 sa pri polivlnách prúdu cez spodný koncový tranzistor T 16, kedy je  $U_{12}$  blízke nule, nabija cez R 12 na napätie len málo nižšie od napájacieho, a v klude na rozdiel napätiia na spoločnom bode R 3/R 12 proti  $U_a/2$  na výstupe 12.

Pri vrchole kladnej polvlny, keď je okamžité  $U_{12}$  blízke napájacemu napätiu, bude spolu s napäťom nabitého C 19 v bode R 12/R 3 podstatne vyšie napätie, než by bolo bez kondenzátora C 19, takže T 14 dostane potrebný bázový prúd.

Tento "bootstrap" kondenzátor nemusí byť použitý, ak sa uspokojíme s nižším maximálnym mimo výkonom. Odporu R 12 odpovedá v schéme IO na obr. 3.5 tiež vnútorný odpor R 12, odporu R 3 zdroj prúdu T 6 spolu s diódou T 5. Pomocou C 19 dostáva zvýšené napätie cez vývod 4 i NPN budič T 14 a zdroj bázového prúdu T 7 pre prúdový zdroj budiča PNP T 12. Vnútorný R 12 (300 ohm) nemusí byť doplnený zvonka odporom 100 ohm, ešte je tomu u stolných televízorov, keďže pri napájacom napäti 17 V stačí na vybudenie koncového stupňa už 300 ohm. U prevedenia MBA 810DS však vnútorný odpor medzi šp. 12 a 4 nie je, preto pristúpil vonkajší odpor R 2 100 ohm i v TVP Merkur resp. Pluto, ak je použitý typ 810DS. (Tento je zabudovaný v celej sérii Merkur a z časti už aj u Pluto.)

Zlepšenie u novších typov MBA 810 S, AS, DS, DAS (písmeno A znamená len možnosť priskrutkovat chladiace plôšky na chladiacu dosku; bez tohto písmena sú chladiace plôšky určené na prispájkovanie na fóliu tlačených spojov) spočíva v tom, že integrovaný obvod je chránený proti zničeniu prílišným stratovým výkonom. Koncový stupeň, zohriaty nad prípustnú teplotu, spôsobí otvorenie blízko seba umiestneného ochranného tranzistora (T 10 resp. T 24), zapojeného paralelne k zosilňovaciemu tranzistoru T 9. Ochranný tranzistor tak zníži až zruší budiaci signál a posunutím jeho úrovni vyradí z činnosti koncové tranzistory s ich budičmi. MBA 810DS, DAS naďalej je chránený proti zničeniu koncových tranzistorov napäťovými špičkami v nápájaní a špičkami, spôsobenými induktívnu zátažou.

V ďalšom texte popisujeme niektoré obvody pre záujemcov podrobnejšie, pri čom sme vzali za základ konštrukčný katalóg Tesla Rožnov z roku 1980, v ktorom je popísaný MBA 810 S (AS) - jeho schéma je na obr. 3.5. Tento typ má proti MBA DS (DAS) prehľadnejšie zapojenie a ďalšie zlepšenia u prevedenia DS sa už netýkajú podstaty funkcií tohto IO.

#### Vstupná časť IO MBA 810 S

Zapojenie vstupného zosilňovača je rovnaké u všetkých prevedení MBA 810 a bolo vysvetlené už pri porovnávaní so zosilňovačom s diskrétnymi prvkami vpredu. Jeho napájanie spadá do tzv. vyvažovacieho obvodu, ktorý je vysvetlený nižšie.

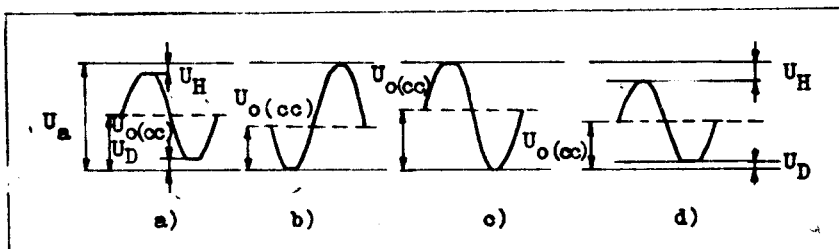
#### Vyvažovací obvod

Bez ohľadu na rozdiely v napájacom napäti od 5 V až do 20 V bude jeho napätie na výstupe vývod 12 IO s dostatočnou presnosťou rovné polovici napájacieho napätiia  $U_B$ . To zabezpečuje tzv. vyvažovací obvod. Pre vysvetlenie jeho činnosti sú nutné niektoré zjednodušené úvahy.

Ak sa má z daného integrovaného zosilňovača získať čo najväčší neskreslený akustický výkon, je nutné, aby spracovaný výstupný signál (sinusový) bol obmedzovaný súmerne vzhľadom k jeho zložke výstupného napätiia  $U_{o/cc} = U_{12}$ , ktorým sa napája vstupná časť (viď obr. 3.8).

Obmedzenie hornej i dolnej polvlny signálu pri max. výstupnom výkone vplyvom saturácie má byť rovnaké - znamená to, že hodnota napätiia obmedzením zrezanej hornej polvlny má sa rovnať hodnote napätiia zrezanej dolnej polvlny. Je logické, že preto musí byť kludové napätie na výstupe rovné polovici napájacieho napätiia, teda  $U_{o/cc} = U_{12} = \frac{U_B}{2}$ , ak budú straty napätiia pri saturácii pri hornej polvlnie  $U_H$  ako

pri dolnej polvlnie. Straty  $U_H$  bývajú však vyššie (viď časť "Koncový stupeň").



OBR. 3.8

Tvary výstupných napätií:

- na vyváženom výstupe (symetrické obmedzovanie) - priebeh a), d)
- na nevyváženom výstupe (nesymetrické obmedzovanie) - priebeh b), c)

$U_a$  = napájacie napätie

$U_H$  = napäťová strata pri kladnej polvlnie (hore)

$U_D$  = napäťová strata pri zápornej polvlnie (dolu)

$U_o(cc)$  = js. zložka výstupného napäťia

$$\text{Všeobecne platí podmienka: } U_o(cc) = \frac{U_a}{2} - \frac{U_H - U_D}{2}, \text{ viď obr. 3.8.}$$

Vyvažovací stupeň pracuje tak, aby daná podmienka bola čo najpresnejšie splnená.

v celom rozsahu povolených napájajúcich napätií. Skladá sa z tranzistorov T 2, T 3, T 8, z diód D 1, D 2 a z odporov R 4, R 5, R 6 - viď obr. 3.5 resp. 3.6.

Tranzistory T 2, T 3 sú geometricky i funkčne zhodné, majú spolu spojené bázy a rovnakú úroveň napäťia  $U_{BE}$ , takže tvoria zdroje rovnakých prúdov (prúdové zrkadlo), pre ktoré platí  $I_{C2} = I_{C3}$ .

Pre zjednodušenie predpokladáme, že všetky tranzistory toho istého systému majú rovnaké, veľmi vysoké hodnoty prúdového zosilňovacieho činitela  $h_{21E}$ , čo približne odpovedá úvahé

$$I_B \approx 0; I_C \approx I_E$$

Pre napájacie napätie vstupnej časti platí výraz

$$U_o(cc) = U_{12} = I \cdot R_6 + 2U_{BE} \quad (1)$$

( $2 \cdot U_{BE}$  sú úbytky na úsekoch B-E T 4 a T 1; na báze vstupného tranzistora T 1 je s ohľadom na zanedbateľný  $I_B$  prakticky nulové js. napätie.)

Pretože kolektorové prúdy tranzistorov T 2, T 3, T 4 sú približne rovnaké,

$$I_{C2} \approx I_{C3} \approx I_{C4} \approx I, \text{ a } R_6 = R_4 = R_5 \quad (4k5 \text{ miesto } 4k \text{ u R5})$$

v MBA 810S tu netreba bráť do úvahy)

platí s určitou nepresnosťou, že

$$I = \frac{U_a - 4 \cdot U_{BE}}{2 \cdot R_6} \quad (2)$$

4.  $U_{BE}$  je dané diódami D 1, D 2 a  $U_{BE}$  tranzistore T 8 so spoločným  $U_{BE}$  tranzistorov T 2, T 3. Odpor R 3 800 ohm, emitorové odporové T 2, T 3 po 100 ohmoch resp. 130 ohm u MBA SD, ako aj mierne zmenená hodnota R 5 u MBA 810S a dva emitory T 8 u prevedenia

DS uvedenú nepresnosť (vysvetlenú v ďalšom teste) z časti vyrovnávajú. 2.R<sub>6</sub> odpovedá súčtu R 4 + R 5.

Po dosadení výrazu (2) do vzťahu (1) dostávame výsledný výraz pre napätie U<sub>o(cc)</sub>:

$$U_{o(cc)} = \frac{U_a - 4U_{BE}}{2.R_6} \cdot R_6 + 2U_{BE} \quad (3)$$

$$\text{z čoho po úprave vyjde } U_{12} = U_{o(cc)} = \frac{U_a}{2} \quad (4)$$

teda js. napätie na výstupe, bod 12, bude rovné polovici napájacieho napäcia nezávisle na tom, akú hodnotu bude napájacie napätie mať.

V skutočnosti však prúdový zosilňovací činitel h<sub>21E</sub> nedosahuje tak vysoké hodnoty, aby I<sub>B</sub> bolo prakticky nulové, ale naopak zvlášť u PNP tranzistorov sú jeho hodnoty dosť nízke; podobne U<sub>BE</sub> je rozdielné u tranzistorov s vodivostou PNP proti NPN. Tým vzniká porušenie súmernosti js. úrovne na výstupe.

Vplyv porušenia súmernosti, ku ktorému prispieva i prúd do bázy NPN tranzistora T 9, je obmedzený dodržaním určitého prúdového zosilnenia h<sub>21E</sub> u tranzistora T 8, ďalej použitím diód D 1, D 2 v obvode napájania vyvažovacej vetvy, ako aj hore uvedenými odporami. (U pôvodného prevedenia MBA 810 resp. MBA 810 A je na mieste T 9 tranzistor PNP (T 6), ktorý naopak dodávaním svojho I<sub>B</sub> kompenzoval konečné zosilnenie prúdu - rozdiel I<sub>C</sub> proti I<sub>B</sub> u PNP tranzistora T 4.)

Možnosť kompenzovania rozdielov, ktoré by viedli k nesymetričnosti, si najlepšie vysvetlíme na číselnom prípade, možnom pri našom napájaní +17 V.

Prúd cez R<sub>6</sub> pre väčšie I<sub>B</sub> dvoch PNP tranzistorov a I<sub>B</sub> NPN tranzistora T 9 môže byť napr. o 60/ $\mu$ A väčší ako I<sub>C3</sub>. To na odpor 4k dá zvýšenie napäcia 0,24 V. Zato bude menšie napätie 2.U<sub>BE/PNP</sub> ako 2.U<sub>BE/NPN</sub>, napr. o 0,14 V. Pre U<sub>12</sub> teda bude platiť:

$$U_{12} = 2.U_{BE/NPN} + I_{C2} \cdot R + 0,24 = 0,14 \quad (V).$$

$$\text{a } U_{1/2} = 2.U_{BE/NPN} + I_{C2} \cdot R + I_{C3} \cdot 100/2 \quad (\text{resp. } I_{C3} \cdot 130/2)$$

Prúd I<sub>C3</sub> by bol pri napájaní 17 V prebieť napr. (17 - 2,6) : 8k = 1,8 mA.

Na odpor 100 (R 8) bude spád 0,18 V, a I<sub>C2</sub> sa preto zníži o 0,18 : 2R = o cca 23/ $\mu$ A, takže I<sub>C2</sub> · R v rovnici pre U<sub>12</sub> bude menšie o 0,023 x 4 = 0,09 V

0,09 = 0,24 - 0,14, takže symetria sa opäť získala.

Vidíme, že príliš veľké rozdiely tu aj tak nevznikajú. Ďalšie odchylinky môžu priniesť i niečo rozdielne napäcia na diódach proti U<sub>BE</sub> tranzistorov a pod.

Skutočné js. napätie U<sub>12</sub> neodpovedá presne hodnote U<sub>a</sub> : 2, ale kolíske okolo tejto hodnoty v tolerancii  $\pm U_{BE}$ . To sa však pri napájacom napäti nad 5 V a pri výstupnom výkone do 4 W vôbec nepriaznivo neuplatňuje.

Prúd I pre napájanie vstupnej časti vo vyvažovacom obvode podľa hore uvedených vzorcov, je svoju veľkosťou blízky kľudovému prúdu koncových tranzistorov T15 a T16. Pretože I<sub>T15</sub> sa prakticky rovná I<sub>T16</sub>, je prúd I temer rovnako veľký ako prúd zo zdroja T 7 - až na I<sub>B12</sub>. Udržuje teda stredné napätie U<sub>12</sub> na hodnote U<sub>1/2</sub> bez ohľadu na veľkosť tohto napájacieho napäcia.

Pokiaľ by pre nerovnaký prúdový zosilň. činiteľ T 15 a T 16 alebo o niečo odchýlne  $I_B$  malo byť  $U_{12}$  iné, ako vychádza z vyvažovacieho obvodu, pôjde buď časť prúdu T 15 cez R 6, T 4 a T 2, alebo časť prúdu T 16 cez diódovú retaz. V prvom prípade zostane z prúdu zdroja T 7 viac k dispozícii pre  $I_{B12}$ , čo spôsobí zvýšený  $I_{B16}$ , a prúdy koncových tranzistorov sa vyrovnanajú. Alebo, ak bol  $I_{T16}$  väčší, naopak zo zdroja T 7 sa odčerpá o tento rozdiel viac prúdu cez diódy, zniží sa  $I_{B12}$  a s ním aj prúd T 16.

Naopak, v prípade rozdielu v napätiach na konc. tranzistoroch sa tento prenesie cez diódy na bázu T 12. Nižšie  $U_{12}$  znamená nižšie  $U_{B12}$  a teda sa zniží  $I_{B12}$  a cez T 13 aj prúd T 16, takže napätie na tomto tranzistore stúpne,  $U_{12}$  sa žvýsi. Podobne vyššie  $U_{12}$  spôsobí cez retaz diód zvýšenie  $I_{B12}$  a napokon  $I_{T16}$ , takže sa  $U_{12}$  opäť zniží blízko k polovici  $U_1$ , tak ako to určuje vyvažovací obvod.

#### Riediaci obvod

Tranzistor T 9 v zapojení so spoločným emitorom pracuje ako zosilňovací stupeň, ktorý budí výstupné časť. Zátaž mu tvorí zdroj konštantného prúdu T 6 a vstupy budičov T 13, T 14 oddelené diódou D 3, ktorá upravuje j.s. napätie na bázach budičov,  $U_{BE13}$  a  $U_{BE14}$ . Od kolektora T 9 na vývod č. 12 je medzi obidvoma smermi rovnaký rozdiel napäťia, ľahko  $U_{BE}$ . Paralelne k T 9 je zapojený tranzistor T 10 umiestnený v bezprostrednej blízkosti koncových tranzistorov, ktorý je ovládaný obvodom tepelnej poistky. V normálnych podmienkach, pri tepletách pod stanovenú hranicu, je T 10 uzavretý a teda svojou veľkou impedanciou nezatažuje a neovplyvňuje obvod tranzistora T 9. (Obvod tepelnej poistky vysvetlujeme na druhom mieste ďalej.)

T 6 ako zdroj konštantného prúdu zmenšuje vplyv, aký by mohli mať zmeny napájacieho napäťia na kludové prúdy T 9 i koncového stupňa. Z kolektora T 9 je budený PNP tranzistor T 13 (budič koncového tranzistora T 16) a za diódou D 3 NPN tranzistor T 14 (budič konc. tranzistor T 15). T 14 pracuje ako emitorový sledovač, teda má vysokú vstupnú impedanciu; otvára sa pri kladných polivlnách signálu na kolektore T 9. Pri záporných polivlnách sa otvára T 13. Vtedy tečie väčší kolektorový prúd T 9, takže stačí na riadne vybudenie tranzistora T 13. Jeho báza je spojená s výstupným vývodom 12 cez dva prieходy NP a retaz diód D 4, 5, 6. Vidíme, že báza T 13 má o  $U_{BE}$  vyššie napätie než v bode 12. Báza T 14 potrebuje mať o  $2.U_{BE}$  vyššie j.s. napätie ako v bode 12, čo zabezpečuje dióda D 3.

Poznámka: V klasickom zapojení je medzi bázami komplementárnych budičov napätie  $3.U_{BE}$  a napätie na konektore T 9 je o  $U_{BE}$  nižšie než j.s. napätie  $U_{12}$  na výstupe. U integrovaného obvodu je medzi bázami budičov len  $1.U_{BE}$ , ale kolektorové napätie T 9 je o  $U_{BE}$  vyššie než  $U_{12}$ , s ohľadom na T 12 a diódy D 4, D 5, D 6, pomocou ktorých je bez vonkajšieho člena pre jednosmernú spätnú väzbu zabezpečovaná stabilita j.s. napäťia na výstupe.

Klidový prúd, nutný pre zmenšenie prechodového skreslenia pri malých výkonoch, je v klasickom zapojení nastavený rozdielom napäti medzi bázami budičov T 13 a T 14. V integrovanom obvode je kludový prúd cca 2mA daný rozdelením prúdu prúdových zdrojov T 6 a T 7 medzi diódy D 3 a D 4, D 5, D 6 (cez tieto tečie prúd vyvažovacieho obvodu  $I_{E4}$  a prípadný rozdiel kludového prúdu koncových tranzistorov T 15 a T 16, teda podstatne väčšia časť prúdu zo zdroja) a bázu T 14 a T 12.

V tom spočíva i podstata stabilnosti kludového prúdu: je možné dokázať, že kludový prúd  $I_o$  je nezávislý na napájacom napäti, pokiaľ prúdové zdroje T 6 a T 7 nemenia svoje hodnoty so zmenou napájacieho napäťia  $U_a$ .  $I_o$  je daný vlastnosťami diód D 3... D 6 + T 5(D) a tranzistorov T 12...T 15.

Prúdy dodávané zdrojmi T 6 a T 7 závisia na napäti, ktoré vzniká na tranzistore T 5, zapojenom ako dióda.

(Sú teda prakt. rovnaké.) Napätie  $U_{BE}$  na dióde "T5" je dané prúdom tranzistora T 8. Zmenami napájacieho napäťa sa prúd cez T 8 príliš nezmiení, ak zmena prúdu cez R 4, R 5, ktorý napája tranzistor T 3 a ktorého veľmi malá časť je bázovým prúdom T 8, sa príliš neprejaví ako zmena tohto  $I_{B8}$ .

Zmeny  $I_{C3}$  vyvolávajú zmeny  $U_{CE3}$  - hoci nie príliš veľké, pretože T<sub>3</sub>, chovajúci sa podobne ako T<sub>2</sub>, je pomerne blízko k saturácii, ako vidíme z malého napäťa na vývode č. 5 IO. Ak sa napr. zvýšením  $U_a = U_1$  zvýší  $U_{CE3}$  a teda aj  $I_{B8}$  a  $I_{E8}$ , zníži sa zvýšením  $I_{B3}$  j.s. odpor kolektor-emitor T<sub>3</sub> a teda zmena  $U_{CE3}$  je minimálna, čo znamená aj minimálnu zmenu  $I_{C8}$ .

U najstaršieho prevedenia MBA 810 je za vstupným zosilňovačom (označeným T 2 = T 4 u MBA 810 S, DS) PNP tranzistor, značený T 6, s uzemneným kolektorem, ktorý proti neskôršie použitému NPN tranzistoru prakticky vôbec nezatažuje vstupný zosilňovač. Toto zapojenie si však vyžaduje ďalší tranzistor NPN (T 8 v pôvodnej schéme), aby báza T 6 mala proti zemi  $U_{BE}$ , teda aby emitor T 6 bol proti zemi na napäti 2.U<sub>BE</sub>. Za emitorovým sledovačom T 8 je potom vlastný zosilňovač NPN, T 10 s uzemneným emitorom, odpovedajúci tranzistoru T 9 u MBA 810 S, resp. DS. Toto komplikované zapojenie bolo zjednodušené priamym pripojením bázy zosilňovača T 9 NPN na kolektor T 4, len s malým zhoršením citlivosti (ktorá prakticky ani nemôže byť využitá), vyrovnaným zápornou spätnou väzbou. Umožnilo to aj kompenzovať náklady s istením proti preťaženiu koncového stupňa.

#### Koncový stupeň

Tento pracuje v triede AB, blízko triedy B (malý kludový prúd). V zásade už je popísaný vpredu pri porovnávaní s klasickým ní výkonovým zosilňovačom, včítane zapojenia "bootstrap" pre potrebné vybudenie tranzistorov T 14/T 15 pri kladnej polvlnie až k saturačnému napätiu na T 15.

Vpredu je tak isto vysvetlené, ako je zaistený kludový prúd cca 2mA a jeho malé závislosť na napájacom napäti, ďalej ako vyvažovacie zapojenie udržuje j.s. napätie na výstupe,  $U_{12}$ , na hodnote  $U_a/2$  alebo blízko pri nej. Pretože reťaz diód D 4, D 5, D 6 odoberá prúd zo zdroja konštantného prúdu T 7 tak, že len malá časť tohto prúdu je k dispozícii ako bázový prúd tranzistora T 12, ktorý je zdrojom prúdu pre PNP budič T 13, zachováva sa uvedený kludový prúd pri zmenách napájacieho napäťa i hodnota jednosmerného  $U_o(cc) = U_{12}$  proti kolisaniu spôsobenému napr. odlišnými charakteristikami budiacich a koncových tranzistorov.

Straty na čipe integrovaného obvodu pri kladnej polvlnie signálu závisia na napätiach na tranzistoroch T 6, T 14, T 15. Ak nepoužijeme bootstrap - kondenzátora a pripojením vonkajšieho odporu cca 100 ohm zabezpečíme, že v bode 4 bude prakticky napätie rovné napájaciemu  $U_a = U_1$ , budú straty napäťa pri plnom vybudení u kladnej (hornej) polvlny signálu:

$$U_H = U_{BE15} + U_{BE14} + U_{CEsat6}$$

tzn. medzi 2x až 3x  $U_{BE}$ :

Straty napäťa pri zápornej (dolnej) polvlnie budú však len:

$$U_D = U_{CEsat16}$$

(zostatkové napätie koncového tranzistora T 16).

Zapojením bootstrap sa znížia i straty pri hornej polvlnie na zostatkové napätie tranzistora T 15, takže orezávanie vrcholov sinusovky pri maximálnom možnom výstup-

nom výkone bude symetrické pri splnení podmienky  $U_{12} = U_B : 2$ .

#### Ochrana T 13 proti saturácii

Pri zápornej polvlnie v prípade plného vybudenia zabraňujú diódy D 5...D 7 saturáciu tranzistora T 13: na anóde D 4 je o zostatkové napätie kolektora T 16 viac než  $3U_{BE}$  proti kostre, takže napätie  $U_{CB}$  PNP tranzistora T 13 zostane vždy mierne záporné, teda nedôjde ku stavu nasýtenia T 13.

$$U_{BE12} + U_{EB13} + U_{BC13} + U_{BE16} = U_{D4...6} + U_{CEsat16} \approx 3U_{BE} + U_{CEsat16}$$

#### Výkonové zosilnenie (zisk)

Výkonové zosilnenie a vstupnú citlivosť možno u integrovaných zosilňovačov rady MBA 810 meniť v širokom rozmedzí jednoduchým spôsobom - prispôsobením hodnoty vonkajšieho odporu zápornej sp. väzby  $R_f$ . Napäťové zosilnenie je dané rovnicou

$$A_u = 1 + \frac{R_6}{R_f},$$

kde  $R_6$  je vnútorný spätnoväzbový odpor na systéme integrovaného obvodu.  $R_f$  je v našom prípade realizovaný odporom R 4-Z 68 ohm, a k vnútornému  $R_6 = 4k$  je pripojený paralelne zvonka ešte odpor R 6-Z 3k3, takže za  $R_6$  v uvedenom vzorci treba dosadiť 1,8 kohm. Menej vydelený spätnoväzbový signál dáva logicky nižšie zosilnenie. Maximálna hodnota odporu  $R_f$  musí byť taká, aby nedošlo k saturácii vstupného tranzistora. Toto obmedzenie je teda funkciou napájacieho napäitia  $U_a$ . Hodnota odporu  $R_f$  sa doporučuje 47 až 100 ohm, podľa požiadavky na citlivosť a šírku prenášaného pásma.

Upravou člena  $R_6/R$  4-Z kondenzátormi a ďalšími odpormi, aby bol frekvenčne závislý, možno podľa želania zmeniť frekvenčnú charakteristiku zosilňovača. To je využívané u PTVP Color ST a ST II (typ. číslo 4415 resp. 4417 a 4429 A) - príslušné súčiastky sa nachádzajú mimo modul Z na signálnom chassis. U radu Saturn - Urán - Neptun je do bodu 6 IO privádzané z nízkoimpedančného zdroja (emitorového sledovača) na zvláštnej doštičke nf spätnoväzbové napätie, meniteľné potenciometrami výšky  $\pm$  a basy  $\pm$ , takže sa dosahuje regulácia podobná ako u obvodov nazývaných "Baxandall". Základný priebeh frekvenčnej charakteristiky na kmitočtoch okolo 10 kHz a súčasne zabezpečenie proti prípadnému kmitaniu na najvyšších nf resp. supersonických kmitočtoch zabezpečuje vonkajší kapacitný delič medzi šp. 12 a šp. 5, v našom prípade C 17 2n2 - C 14 4n7. Vstupná impedancia na báze T 9, vyzvedanej do bodu 5 svojou ohmickou zložkou (vstupný odpor T 9) činí spätnú väzbu frekvenčne závislou, takže čím vyššia frekvencia, tým väčšia časť výstupného napäitia prichádza späť ako záporná spätná väzba. Fáza signálu je tu rovnaká ako v bode 6, zosilnenie samozrejme mnohokrát menšie, čomu odpovedá i bližší pomer reaktancií obidvoch kondenzátorov.

#### Obvod tepelnej ochrany - tepelná poistka, u MBA 810 - S

Pomocou Zenerovej diódy D 4 a tranzistora T 11, ktorý pracuje ako zdroj konštantného prúdu, je na strede odporového deliča R 16, R 17 (obr. 3.5) udržované konštantné napätie, ktorým sa napája báza tranzistora T 10. Tento tranzistor je umiestnený v tesnej blízkosti výstupných výkonových tranzistorov T 15, T 16, aby mohol spoločivo sledovať ich teplotné zmeny. Pri teplotách pod stanovenou hodnotou ( $130^{\circ}\text{C}$ ) je napätie  $U_{BE}$  pre otvorenie T 10 väčšie ako hodnota napäitia v strede deliča R 16, R 17 a preto je tranzistor zatvorený. V tomto stave sa chová ako veľmi veľký odpor zapojený paralelne k tranzistoru T 9 a neovplyvní jeho funkciu.

Napätie  $U_{BE}$  u kremíkových bipolárnych tranzistorov s rastom teploty klesá, a to zhruba o  $2 \text{ mV}/^{\circ}\text{K}$ . Pri vyšších teplotách okolo  $+160^{\circ}\text{C}$  sa preto napätie  $U_{BE}$  zníži

približne o  $2\text{mV}$ .  $140 = 280$  až  $300 \text{ mV}$ . Ak je toto napätie pri normálnej teplote ( $+20^\circ\text{C}$ ) zhruba  $600 \text{ mV}$ , pri teplotách okolo  $+160^\circ\text{C}$  sa zniží približne na polovicu.

Obvod tepelnej ochrany využíva tieto skutočnosti dané fyzikálnymi zákonmi. Odporový delič R 16, R 17 napájaný zdrojom konštantného prúdu realizovaným tranzistorom T 11, je riešený tak, aby v strede deliča bol pri teplotách okolo  $+150^\circ\text{C}$  až  $+160^\circ\text{C}$  napätie blízke hodnote  $300 \text{ mV}$ , t.j. hodnote potrebnej pri takejto teplote na vybudenie tranzistora T 10 do stavu saturácie, kedy T 10 odoberá celý prúd zo zdroja konštantného prúdu T 6. Tým sa prakticky skratuje výstup tranzistora T 9 a odbudí sa výstupná časť integrovaného obvodu. Súčasne sa poklesom napäťia pre bázu tranzistora T 14 vyradia z činnosti koncové tranzistory T 15, T 16.

Pretože najväčšia výkonová strata  $P_{\text{tot}}$  i ohriatie systému je na tranzistoroch T 15, T 16 a tranzistor T 10 je umiestnený v ich tesnej blízkosti, je zaručená spoľahlivá funkcia (včasná odozva) obvodu tepelnej ochrany.

Obvod tepelnej ochrany prispieva ku zvýšeniu spoľahlivosti nf integrovaných zosilňovačov MBA 810 AS, avšak nechráni ich proti skratom na výstupe, pretože tranzistor T 10 je viazaný s tranzistormi T 15, T 16 iba tepelnou väzbou a nastačí reagovať dosť rýchlo na preťaženie týchto tranzistorov proti skratu na výstupe.

#### Napäťová ochrana u MBA 810 DS

Bližší popis nemal autor tejto práce k dispozícii, je možné však vyčítať približnú funkciu zapojenia:

##### a/ Ochrana proti prepätiu na výstupe pri induktívnej záťaži

Na indukčnosti ako je známe, predchádza napätie prúd. Spätná väzba z bodu 12 do bodu 5 privádzajúca z výstupu znížené napätie, ktoré pri ohmickej záťaži je v protifáze so signálnym napäťím, takže sa znižuje zosilnenie. Pri induktívnej záťaži, aká vzniká napr. pri rôznych rázoch keď prepíname zdroje nf signálu, vytvorí sa teda na výstupe napätie predchádzajúce prúdu. Toto napätie ako napätie sp. väzby nezaberie, pretože (pri posunutí fázy blízko k  $90^\circ$ ) je spätnoväzbové napätie temer nulové, keď signálne napätie je na maxime atď. Výsledkom bude prílišné zosilnenie, takže môžu na výstupe č. 12 vznikať špičkové napäťia, ktoré prevyšujú napájacie napäťia. To by poškodilo koncové tranzistory. Diódou D 7 u MBA 810 DS sa takéto napäťové špičky obmedzia o málo viac, než napájacie napätie.

##### b/ Tepelná poistka a ochrana proti prepätiu z napájacieho zdroja

Pri bežných napätiach je na báze T 22 v obvode tepelnej ochrany napr.  $8 \text{ V}$  (hrubý odhad), čo je dané odporom R 15, R 18, R 19, R 20 a  $U_{BE22}$ . To dá na emitore T 22 -- deliči R 18 ... R 20 cca  $7,4 \text{ V}$  a teda na R 20 - báza T 23 cca asi  $0,95 \text{ V}$ . Na emитore T 23 a teda na báze T 24 bude len asi  $0,3 \text{ V}$ . To pri normálnej teplote nastačí na otvorenie T 24 (= T 10 zo schémy 810 S), ktorý sa nachádza blízko k výstupným tranzistorom, aby preberal približne ich teplotu. Pri zvýšenej teplote, ako je vpredu vysvetlená, T 24 zopne a svojou malou impedanciou bude eliminovať signálne napätie pre budiče koncového stupňa a vypne aj koncové tranzistory.

Pri neprípustne vysokom napäti ( $>28 \text{ V}$ ) v bode napájania (šp. 1 IO) zopne reťaz tranzistorov - diód D 18 až D 20, ktoré tiež pôsobia ako Z-diódy s pomerne vysokým celkovým spinacím napäťím. Tým dostane cez R 16 - R 17 tranzistor T 24 tak veľké napätie do bázy, že opäť vypne signál i koncové tranzistory. Na schéme tohto IO nie je úplne jasné úloha kolektorovej vetvy T 21, keďže kolektor je pripojený priamo na zdroj bez obmedzovacieho odporu. U tranzistorov je normálne, že kolektor NPN tranzistora je na

kladnom napäti proti báze a emitoru a len pri zvlášť vysokom napäti proti napájacemu by došlo k prierazu, ale keďže v ceste nie je obmedzovací odpor, zničil by sa priechod kolektor-báza T 21. Ak zostane skratovaný, zareaguje poistka v napájacom zdroji. To je pravdepodobne účel tohto zapojenia: úplným vypnutím zdroja sa odlažia ostatné diódy - tranzistory v obvode tepelnej ochrany, ktoré by sa tiež pri dlhšie trvajúcom výšom prepäti mohli poškodiť. T 21 chráni ako dvojité diódy tiež pred záporným napätim z napájania.

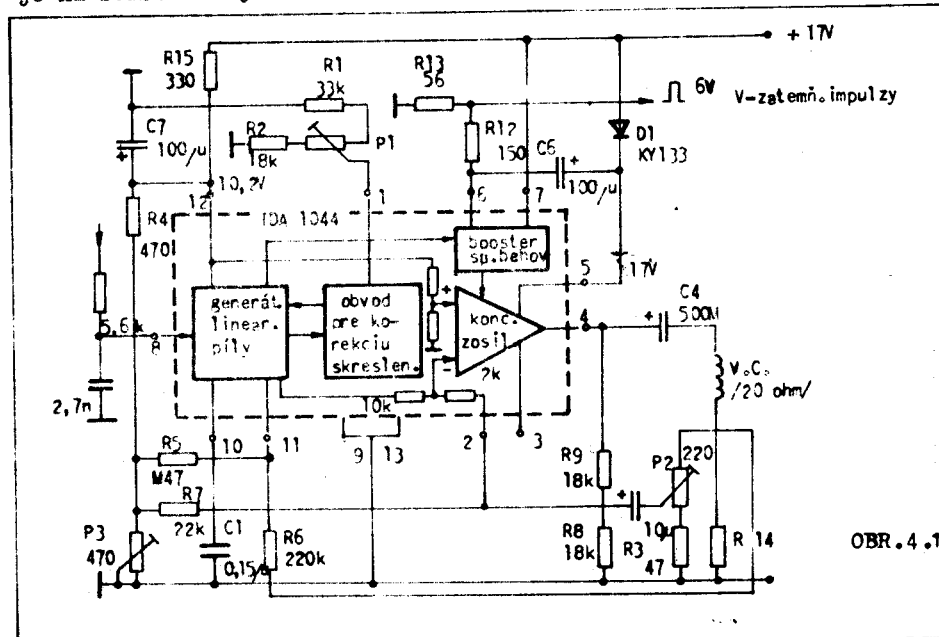
Poznámka k obvodu "bootstrap" s R 12 a C 19:

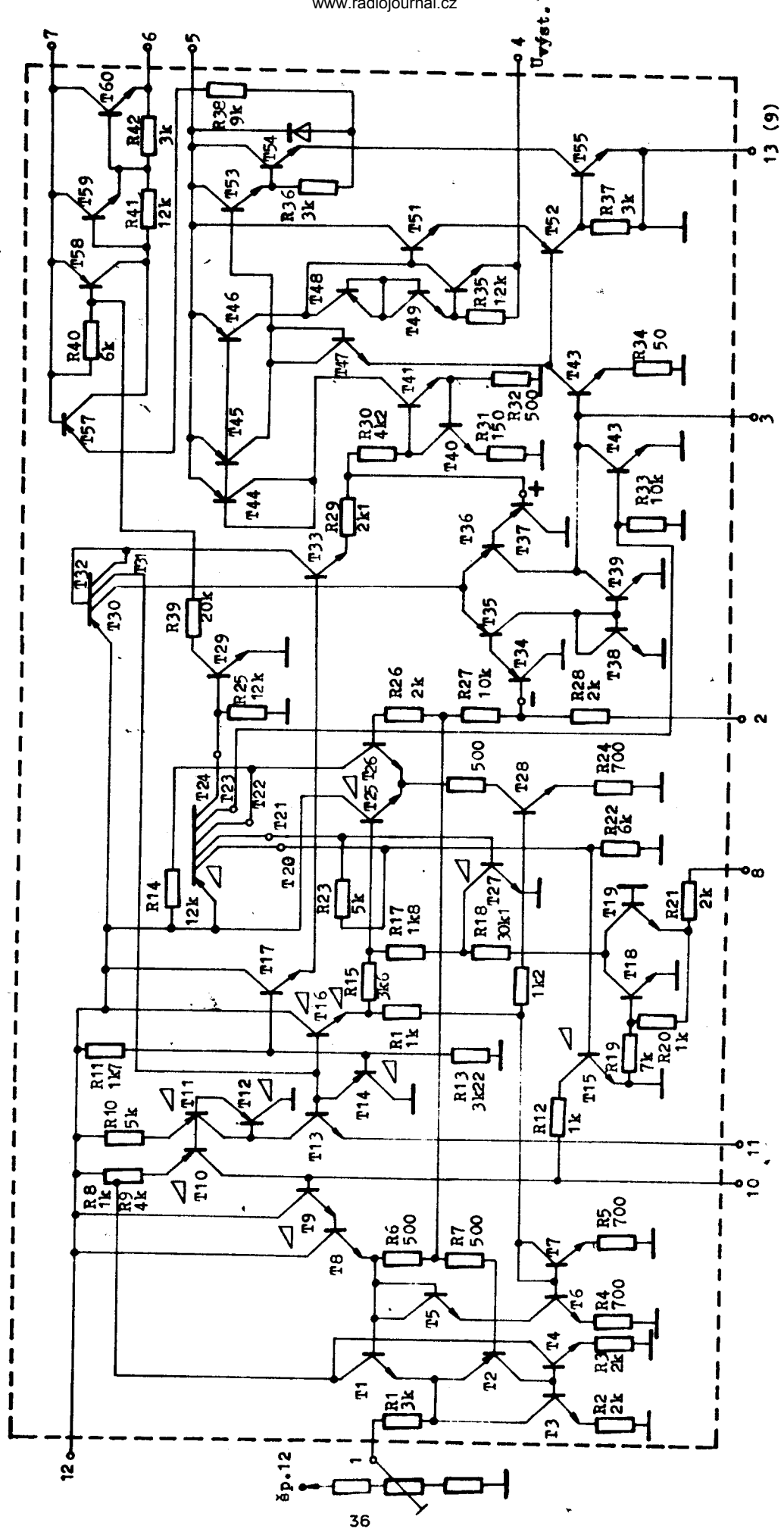
Napájanie nf stupňa zvuku je priamo za sietovým usmerňovačom, kde je nestabilizovaných 17 V pri zapojení na siet a len 12 V pri zapojení na autobatériu. Preto je zvýšenie napájacieho napäcia obvodom "bootstrap", ktoré integrovaný obvod umožňuje, i v televízore tohto menšieho formátu opodstatnené.

Pre veľmi premenlivý odber prúdu energeticky účinným koncovým stupňom v AB triede s veľmi malým kludovým prúdom je jedine napájanie z tohto miesta vhodné, aby sa neprenášal zvuk do obrazu.

#### 4.0 GENERÁTOR VERTIKÁLNEHO ROZKLADU

Generátor vertikálneho rozkladu v TVP Satelit - Pluto - Merkur obsahuje minimálny počet pasívnych súčiastok na dosiahnutie požadovaných parametrov podľa ČSN výdaka modernej riešenému integrovanému obvodu MDA 1044 E, ktorý je aktívnym prvkom generátora. Tento monolitický IO je vyrobený bipolárnoj technológiou. Obsahuje všetky funkčné bloky pre vertikálne vychýlovanie: generátor lineárneho pílového priebehu napäťia, obvody S-korekcie, výkonový výstupný zosilňovač a blok "booster" obvodu pre spätné behy, vďaka ktorému je účinnosť koncového stupňa až 5-krát vyššia než u obvodov klasického typu. Princípiálna (bloková) schéma je na obr. 4.1. Podrobnejšia schéma obr. 4.2 je na samostatnej stránke.





OBR. 4.2

automaticky nastaví tak, aby  $I_{C11} + I_{B12}$  dávalo spolu  $I_{C13}$ .

Kedže prúd  $I_{B12}$  je zosilň. v dvoch stupňoch ( $I_{T11}=I_{T10}=I_{B12} \times B_{12} \times B_{11}/2$ , je prúd T 11 prakticky rovný prúdu T 13 (s ohľadom na vysoké zosilnenie kremíkových tranzistorov môžeme emitorové prúdy považovať za rovné kolektorovým). Prúdu T 13 sa teda bude rovnať i prúd T 10, pokiaľ nebude ovplyvňovaný obvodmi geometrickej korekcie, cez tranzistory T 1 a T 4.

Ďalším faktorom určujúcim prúd tranzistora T 13 je napätie na jeho báze, ktoré je dané deličom R 11, R 13 zo zdroja napäcia na špičke 12 IO, a pôsobí cez prechod báza-emitor tranzistora T 14 kompenzujúceho tepelnú závislosť prechodu báza-emitor tranzistora T 13.

Emitorový odpor nabíjacieho tranzistora T 10 je rozdelený (R 8, R 9) kvôli zavedeniu prúdovej väzby z výstupu obvodu S-korekcie (viď odsek 4.1.3). Vybjací tranzistor T 15 je riadený úrovňovým spínačom (viď odsek 4.1.2) a vybijanie kondenzátora  $C_T$  pri skončení polsnímku trvá asi 0,2 ms (1% doby V). Tranzistory T 8, T 9 tvoria Darlingtonov emitorový sledovač, ktorý sníma cez svoj veľký vstupný odpor priebeh napäcia na  $C_T$  bez toho, aby ho ovplyňoval a na druhej strane ho odovzdáva do ďalších obvodov pri nízkej výstupnej impedancii, takže umožňuje konštrukciu obvodov S-korekcie na nízkych impedanciach. Kmitočet generátora píly bez synchronizácie je asi  $1,6 : R_T C_T$ . V našom prípade je miesto jediného  $R_T$  trochu zložitejšie zapojenie, aby sa nastavovaním kmitočtu nemenila amplitúda rozkladu, viď ďalej bod 4.4.

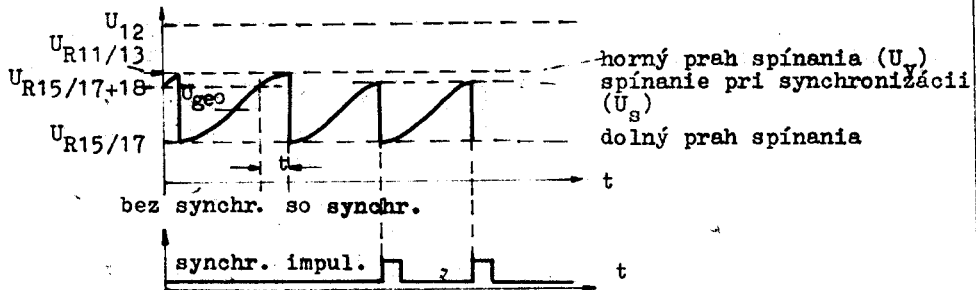
#### 4.1.2 Úrovňový spínač so synchronizačným obvodom

Ide v podstate o klopny obvod s troma definovanými vstupnými napäťovými úrovňami. Úrovňový spínač určuje v režime volného behu prechod z nabíjania  $C_T$  do stavu jeho vybijania. Spínač je tvorený tranzistormi T 25, T 26 vo forme diferenciálneho zosilňovača. Pílové napätie je privádzané na bázu T 26 (cez T 9, T 8, R 6 a R 26) a báza T 25 je napájaná z deliča R 11, R 13 cez emitorové sledovače T 14 (kompenzačný tranzistor), T 16 a R 15. V čase priameho behu T 25 vedie, T 26 je blokovaný. Keď pílové napätie na báze T 26 presiahne napätie na báze T 25 (to je na konci priameho behu), T 26 začne viesť a teda sa zapnú aj kolektory tzv. multi-tranzistora T 20-24. Pri zavretom T 26 bola báza PNP multi-tranzistora na rovnakom napäti ako jeho emitor, po zopnutí T 26 klesne spádom na R 14 napätie na jeho báze a tečie teda bázový prúd.

Kolektory T 20, T 21 začnú napájať bázy T 15, T 27. Tranzist. T15 vybija  $C_T$  a zopnutý T 27 zmení úroveň napäcia na báze T 25 tým, že vytvorí nový delič R 15, R 17, napájaný z pôvodného deliča R 11, R 13. Novovytvorený delič určuje dolnú úroveň napäcia, po ktorú je  $C_T$  vybijaný. Toto zapojenie pracuje ako voľne bežiaci oscilátor s frekvenciou nižšou akú má synchronizačný signál.

Synchronizačný obvod pozostáva z tranzistorov T 18 a T 19. Tieto tranzistory sú zapojené tak, že v dobe priameho behu sú blokované, ak na špičku 8 IO nie je privezený žiadny signál. Ak sa na špičke 8 IO objaví kladný (1 až 10 V) alebo záporný (-1,3 až -6 V) synchronizačný signál, jeden z týchto tranzistorov sa stáva vodivým a uzemňuje "spodný" koniec deliča R 15, R 17, R 18.

Báza T 25 sa tak dostane na nižšiu napäťovú úroveň ako bude na T 26, čím sa skorším otvorením T 26 i T 20 ... T 24 vyvolá vybijanie  $C_T$  a spätný beh pokračuje ako je poписанé hore. Úrovne napäcia jednotlivých deličov a napájacieho napäcia na špičke 12 IO sú na obr. 4.3. Impulzy v bode 8 účinkujú jedine v intervale  $\Delta t$ , ktorý je jednoznačne určený vnútornými deličmi, hodnotami  $R_T$ ,  $C_T$  a napätiom  $U_{12}$ . Tento princíp zaručuje vysokú imunitu generátora voči poruchám. Amplitúda vertikálnej synchronizácie impulzov na vstupe IO v hore uvedenom rozmedzí nemení úsek  $\Delta t$ .

**Poznámka:**

$U_v$  je konštantné, regulátorom  $f_v$  z obr. 4.1 sa mení iba sklon pílov. napäťia, preto pri zapojení podľa obr. 4.1 sa so zmenou  $f_v$  mení amplitúda pílovitého napäťia v zasynchronizovanom stave.

OBR. 4.3

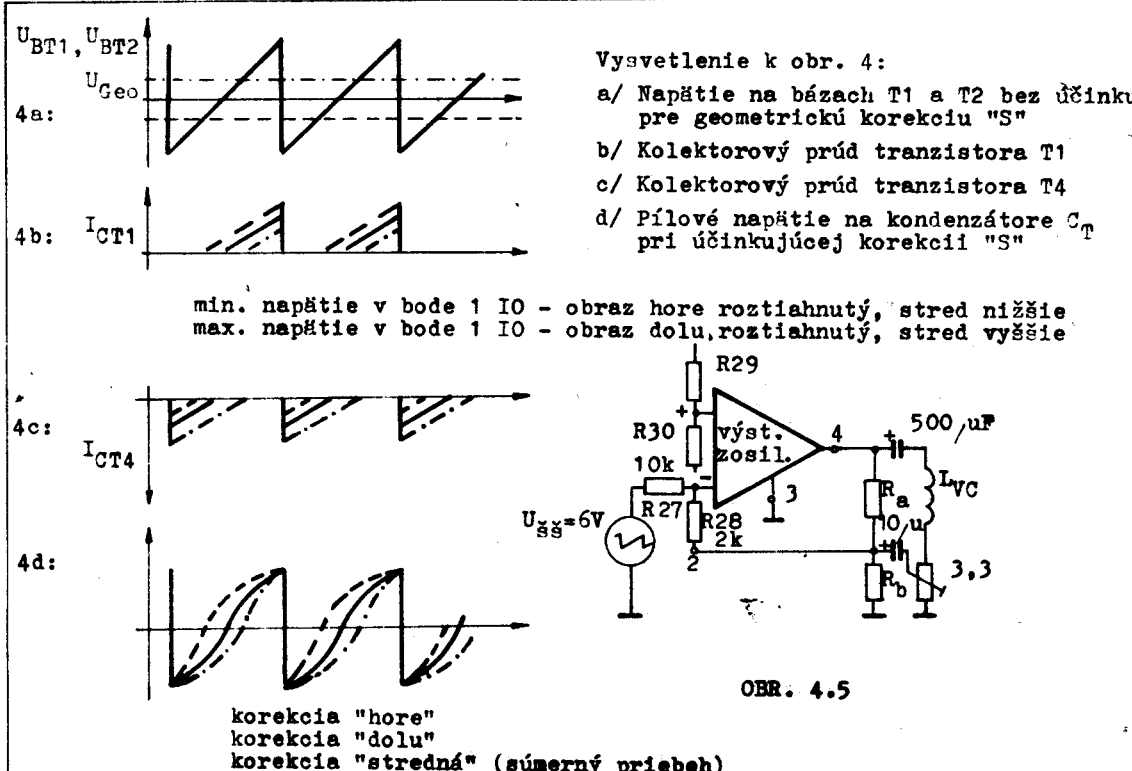
**4.1.3 Obvod S-korekcie vychylovacieho prúdu**

Obvod geometrickej korekcie tvorený tranzistormi T 1 až T 4 ovplyvňuje zmenami úbytku napäťia na R 8 bázový a s ním i kolektorový prúd T 10. Keď nie je žiadny odber cez R 8 do tranzistora T 1 alebo T 4, je nabíjanie  $C_T$ , t.j. rýchlosť vzrástania pílovitého napäťia najväčšia a daná veľkosťou  $R_T$ , resp. napäťim v bode 11 IO pri zložitejšom zapojení v praxi.

Zo strany emitorov (t.j. na šp. 1 IO) sú tranzistory T 1 a T 2 ovládané j.s. napäťim "U<sub>geo</sub>" a vnútorným odporem  $R_{ig}$  tohto zdroja. Napätie "píly", snímané cez T 9 a T 8, sa privádzza na bázy týchto tranzistorov. Na začiatku píly, keď je napätie na  $C_T$  najnižšie, otvára sa cez člen R 6 - R 7 PNP-tranzistor T 2. Pri konci píly, keď na  $C_T$  stúpa napätie k maximu, otvára sa T 1. Napätie U<sub>geo</sub> na vývode 1 IO určuje, či prúdy T 1 a prúdom T 2 ovládaný prúd T 4 budú nevzájom symetrické, alebo nie. Vnútorný odpor zdroja U<sub>geo</sub>, v našom prípade vonkajší člen R 1, P 2, R 2 spolu s odporem R 1 3K v IO, určujú amplitúdy prúdov T 1 a (cez T 2, T 3) T 4, teda účinnosť, híbku S-korekcie. Tento celkový odpor označíme  $R_{ig}$ .

Od napäťia na  $C_T$  budený tranzistor T 2 vybudzuje tranzistor T 3, ktorý preberá prevažnú časť prúdu cez  $R_{ig}$ . Polovica kolektorového prúdu T 2 je bázovým prúdom T 4 (pri rovnakých vlastnostiach T 3 a T 4) - prúd T 4 závisí teda rovnako na  $R_{ig}$ , na U<sub>geo</sub> i na okamžitom napäti "píly" ako prúd T 1, samozrejme s obráteným priebehom. S ohľadom na veľké celkové zosilnenie v T 2 a T 4 nie je za inak rovnakých podmienok kolektorový prúd T 4,  $I_{C4}$ , prakticky o nič menší než  $I_{C2}$ .

Na obr. 4.4 je znázornená závislosť  $U_{BT1}$ ,  $U_{BT2}$ ,  $I_{CT1}$ ,  $I_{CT4}$ ,  $U_{10}$  na privádzanom j.s. napäti U<sub>geo</sub>. Toto ovplyvňuje tvar pílovitého napäťia čo do súmernosti, ako vidíme na obr. 4.4 b, c. Híbka S-korekcie záleží na veľkosti odporu  $R_{ig}$ . U TVP Satelit sú obe veličiny dané odporem R 15 a deličom R 1 - P 1 - R 2.



OBR. 4.4 Účinok obvodu pre "S" korekciu

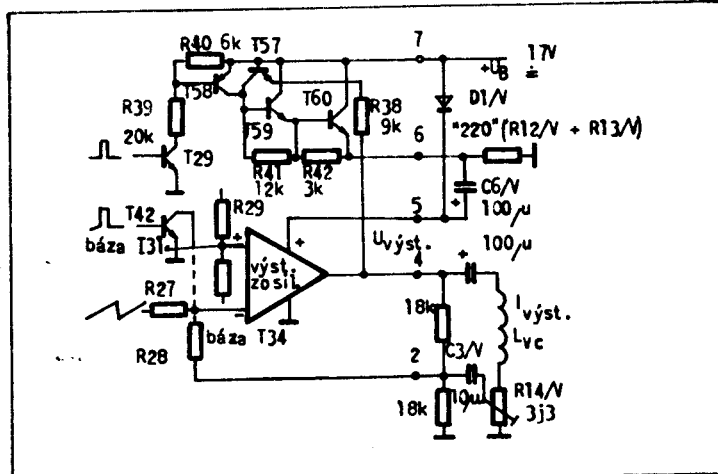
#### 4.2 Výstupný výkonový zosilňovač

Ide v podstate o použitie operačného zosilňovača, ktorého vnútorný obvod odpovedá integrovanému výkonovému NF zosilňovaču. Jeho neinvertujúci vstup "+" (báza T 37, viď celkovú schému na obr. 4.2) je pripojený na referenčné napätie (jednosmerné). Na invertujúci vstup "-" (báza T 34) je cez R 27 privádzané výstupné napätie z generátora pilového napäťa a cez odpor R 28 je zavedená napäťová záporná spätná väzba úmerná výstupnému prídu zosilňovača - viď obr. 4.5. Spätnoväzbové napätie (a tým amplitúda výstupného vychylovacieho prídu) môže byť menené velkosťou deliaceho pomeru snímacieho potenciometra, ktorý je sériovo zapojený s vychylovacími cievkami. V praxi pre nutne malú hodnotu tohto potenciometra je v sérii s vychylovacími cievkami malý odpor (R 14, 3,3 ohm u TVP Satelit), paralelne s potenciometrom väčšej hodnoty (P 2 + R 3). Napäťový delič  $R_a$ ,  $R_b$  (R 9, R 8) určuje jednosmerné výstupné napätie. Medzi bodmi 3 - 4 môže byť zapojená kompenzačná RC väzba, ak je nebezpečie vzniku nežiadúcich oscilácií spôsobených neprispôsobenými vychylovacími cievkami. To isté platí o Boucherotovom R-C člene z výstupu bod 4 na zem. U TVP Satelit nie sú tieto obvody potrebné. Boucherotov člen je vo zvukovom NF zosilňovači, C 18 - R 5 na module "Z". Koncové tranzistory sú schopné viest prídu  $I_c = 1 A$ . Dovolené kolektorové napätie je 38 V pri spätnom behu u typu MDA 1044E,  $U_{Bmax} = 18 V$ . Účinnejší MDA 1044 použitý u stolných TVP radu Saturn dovoľuje 58 a 27 V.

Účinok zápornej prúdovo-napäťovej spätnnej väzby je ten, že výstupný prídu je úmerný výstupnému napätiu. Preto tepelná závislosť odporu vychylovacích cievok nemá vplyv na rozmer obrazu, nevyžaduje sa termistor.

#### 4.3 "Booster generátor"

Podľa TV normy je frekvencia obrazového rozkladu 50 Hz, čo odpovedá perióde 20 ms. Z toho pripadá okolo 19 ms na dobu činného behu a cca 1 ms na dobu spätného behu. Z časového rozvrhu vychylovacieho prúdu vyplýva, že v dobe spätného behu zasa prevažuje induktívna zložka. Preto v dobe spätného behu je nutné pripojiť na vychylovacie cievky podstatne vyššie napätia, než je potrebné pre dobrú funkciu koncového stupňa pri činnom behu, aby sa zmениl prúd z  $-I_{max}$  na  $+I_{max}$  za dobu 1 ms alebo niečo kratšiu. V klasickom zapojení konc. stupňa práve tato podmienka napäťového rozkmitu vyžaduje relatívne veľké napájacie napätie, ktoré stále pôsobí na koncové tranzistory a tak na nich spôsobuje značne veľký stratový výkon. Nová koncepcia koncového stupňa tieto straty silne znižuje. Koncový stupeň sa v podstate nemení až na prípadný "booster" obvod (generátor zvýšeného napäťa), ktorý zvyšuje napájacie napätie temer na dvojnásobok a to len v dobe spätného behu, kedy je to žiaduce. Tak sa straty v koncovom stupni pri inak ideálnych podmienkach znižujú až 5-násobne.

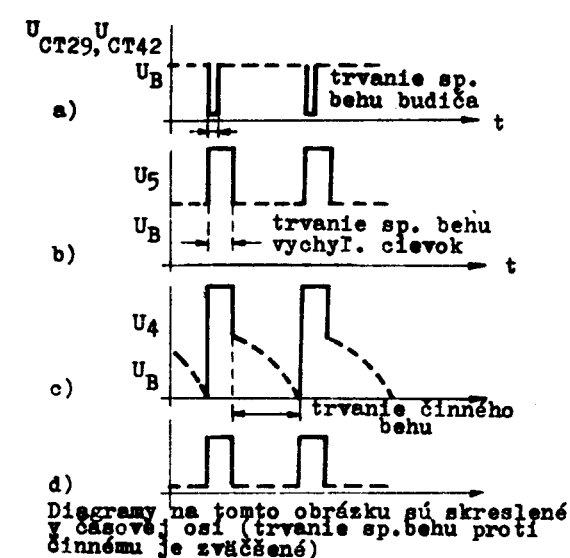


OBR. 4.6

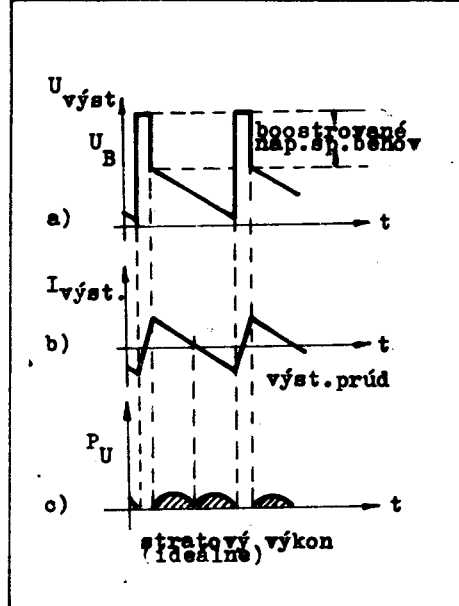
Obvod podľa obr. 4.6 je riadený generátorom pilového priebehu dvoma spôsobmi:

- cez tranzistor T 42 - výstupný tranzistor T 55 je ním blokovaný počas spätného behu generátora pilového priebehu
- cez tranzistor T 29, ktorým je boostrovací obvod spúštaný

Oba tranzistory T 42 a T 29 sú riadené multikolektorovým tranzistorom T 20 - T 24. Počas priameho behu tranzistory T 59, T 60 v Darlingtonovom zapojení sú blokované (T 58 je zavretý) a kondenzátor C 6/V 100/ $\mu$ F sa nabíja cez externý odpor "220" ohm a oddeľov. diódou D1 na napätie zdroja. S prichádzajúcou nábežnou hranou spätného behu z generátora pilového priebehu sa tranzistory T 59, T 60 cez T 29 - T 58 otvoria, takže skratujú body 6 a 7 a napätie zdroja sa objavuje na odpore 220 ohm, čiže na minus póle kondenzátora 100/ $\mu$ F; dióda D 1 súčasne odpojí bod 5 od základného napájacieho zdroja a na špičke 5 IO vznikne temer dvojnásobné napájacie napätie, t.j. súčet napäťa zdroja U<sub>7</sub> a napäťa na kondenzátore. Riadiace impulzy z multi-kolektori-vého tranzistora sú kratšie než trvenie spätného behu, takže funkciu napájania báz T 59, T 60 preberá tranzistor T 57, otvorený cez R 38 ( $U_{E57} \approx U_4 > U_7$ ) až dovtedy, kým na invertujúcom vstupe "-" zosilňovača súčet signálnych napäti z generátora cez R 27 a zo spätej väzby cez R 28 v absolútnej hodnote neprevýši napätie na neinvertujúcom vstupe "+". V tomto okamihu napätie na špičke 4 IO padá na úroveň napájacieho napäťa U<sub>7</sub>, T 59 a T 60 sú blokované ( $I_{BT57} = 0$ ), booster kondenzátor C 6/V sa nabíja, prebieha činný beh. Časové diagrame sú na obr. 4.7 a 4.8.



OBR. 4.7



OBR. 4.8

#### 4.4 Zapojenie integrovaného obvodu MDA 1044-E v TVP radu Satelit

(Viď obr. 4.1. Podrobnejšia schéma IQ TDA 1044 je na obr. 4.2.) Napájacie napätie  $U_{12}$  pre generátor pílového napäťa je filtrované členom R 15, C 7. Na R 15 sa (čiastočne aj vplyvom odporu R 4) zníži napätie na potrebnú hodnotu cca 10 V. Ostatné obvody sú napájané priamo napätim 17 V, privádzaným na špičku 2 vertikálneho modulu. Toto napätie je odvodené z riadkového vychylovania, takže napájanie vertikálu odpovedá činnosti a napäťovým pomerom riadkového stupňa. Odpor R 15 s deličom R 1 - P 1, R 2 určujú hĺbku S-korekcie a súčasne podľa polohy P 1 sa upravuje linearita vrchnej časti obrazu proti spodnej. Dobrá filtrácia  $U_{12}$  je nutná, aby sa odstránili akékoľvek zostatky riadkových impulzov a tým bolo zabezpečené čo najlepšie prekladanie vo vertikále.

Aby sa pri zmene nastavenia kmitočtu pomocou potenciometra P 3 nemenila amplitúda obrazu, je použité zapojenie, ktoré reguláciu kmitočtu spája so súčasnou úpravou stupňa jednosmernej zápornej spätnej väzby, privádzanej do bodu 2 IO. Z toho dôvodu miesto jednoduchej kombinácie odporu s potenciometrom (premenlivým odporom) medzi bodom 11 a kostrou, je regulácia amplitúdy prevádzaná pri súčasnej zmene jednosmerného napäťa, privádzaného do bodu 11, kombináciou odporov R 4, P 3, R 5, R 6 a R 7. Proti obvodu s  $R_T$  je s ohľadom na napätie privádzané do bodu 11 IO, ktoré znižuje prúd cez T 13 (IO), voľný kmitočet len asi  $1.1 : C_T \cdot R_y$ , kde  $R_y = R 5$  paralelne s R 6.

Amplitúda vertikálu sa nastavuje pomocou potenciometra P 2, t.j. zmenou stupňa zápornej spätnej väzby.

Synchronizačné impulzy, v našom prípade kladnej polarity, sú privádzané z vývodu 7 integrovaného obvodu A 250 D na module "S" cez filtračný RC člen R 10, C 5 na šp. 8 MDA 1044E.

Dióda D 1 s kondenzátorom C 6 a sériovou kombináciou odporov R 12, R 13 slúži pre zdroj zvýšeného napájacieho napäťa pri spätných behoch, ako je popísané vpredu. Na R 13 dostávame vertikálne zatemňovacie impulzy vhodnej amplitúdy pre video-stupeň. Sú naň privádzané cez diódu D 9 - KA 261 (KA 207) na základnom chassis.

Základným prvkom pre zápornú spätnú väzbu je odpor R 14, 3,3 ohm, na ktorom vytvára

vychyľovací prúd priebeh napäťia, z ktorého je odvodená spätná väzba čo do tvaru a amplít. vychyľ. prúdu (striedavá). Jednosmernú spätnú väzbu, ktorá hľavne stabilizuje nastavenú amplítudu a linearitu, sprostredkuje delič R 9, R 8. Paralelne k R 8 sú pripojené odpory regulátora kmitočtu R 7, P 3, R 4, takže stupeň tejto spätej väzby závisí aj na nastavení P 3, ako už uvádzame vpredu. Striedavú spätnú väzbu (amplitudu pílovičného napäťia cez C 3 do bodu 2 IO) zmeny P 3 neovplyvňujú ohľadom na "tvrdý" delič P 2 - R 3.

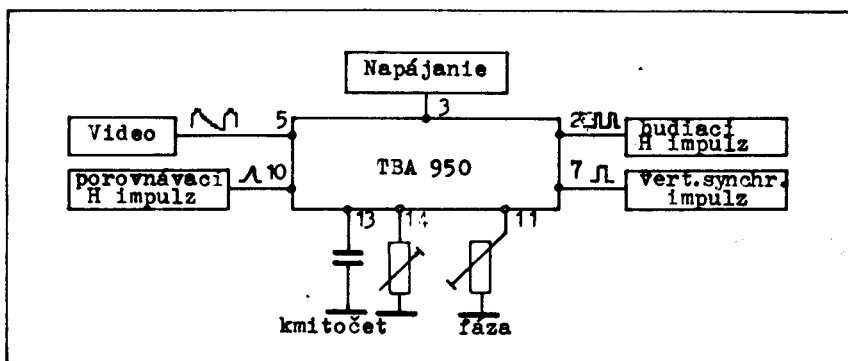
## 5.0 HORIZONTALNY ROZKLAD

### 5.1 Horizontálny oscilátor a synchronizačné obvody

V televízoroch radu Satelit - Pluto - Merkur sú synchronizačné obvody umiestnené podobne ako v ostatných TVP z novšej výroby na samostatnom module "S" na signálovom bloku a sú osadené integrovaným obvodom A 250 D (TBA 950) a tranzistorovým zosilňovačom impulzov s tranzistorom KF 508.

### 5.2 Integrovaný obvod A 250 D (TBA 950)

Je svojou funkciou a vnútornou štruktúrou značne podobný integrovanému obvodu TBA 940, používanému na budenie tyristorových rozkladových obvodov. Podstatný rozdiel je v dĺžke a polarite riadiaceho impulzu na vývode 2 integrovaného obvodu a v štruktúre výstupného obvodu. Základné funkcie integrovaného obvodu A 250 D sú znázornené na obr. 5.1.



OBR. 5.1

Monolitický, integrovaný obvod A 250 D je určený pre synchronizáciu a budenie rozkladových obvodov s tranzistorovým riadkovým rozkladom. Obsahuje nižšie uvedené funkčné bloky, ktoré uvádzame s príslušnými číslami vývodov:

Funkčný blok	Vývod IO A 250 D č.
- Oddelovač synchronizačných impulzov SI s vyklúčovaním poruchových impulzov	5
- Oddelovač vertikálnych synchronizačných impulzov VSI; dodáva VSI v kladnej polarite s amplitúdou 8 V	7
- Obvod automatickej fázovej synchronizácie riadkového vychylovania. Vývod pre pripojenie vonkajšieho filtračného člena	4
- Prepínací stupeň pre automatické prepínanie šumovej šírky pásma obvodu fázovej synchronizácie riadkov	9
- Automatické prepínanie šumovej šírky pásma, ktoré po zasynchronizovaní silne zúži aktívny rozsah synchronizácie, je možné pri príjme signálu z videomagnetofonu, u ktorého kmitočet synchronizačných impulzov kolíše, vypnúť privedením kladného napätia na vývod č.	8
- Riadkový oscilátor. Základný kmitočtový rozsah je určený vonkajším terylenovým kondenzátorom 10 nF, pripojeným na vývod č.	13
- Ručné riadenie kmitočtu sa prevádzka zmenou vonkajšieho odporu resp. kladného napätia, privádzaného na vývod č.	14
- Obvod riadenia fázy medzi synchronizačnými impulzmi a riadkovým vychylovaním (posúvanie obrazu po rastri na tienidle obrazovky). Fáza sa reguluje zmenou kladného napätia, privádzaného cez vonkajší trimer, na vývod č.	11
- Vonkajšie porovnávanie fázy. Impulzy riadkových spätných behov sa po príslušnom tvarovaní privádzajú na vývod č.	10
- Filtračný kondenzátor napätia riadenia fázy sa pripája na vývod č.	12

- Výstup budiacich horizontálnych impulzov pre tranzistorový budič riadkového generátora	2
- Stabilizátor napájacieho napäťa pre integrovaný obvod ( $U_Z = 8,5 \text{ V}$ )	3
- Zemniaci spoj integrovaného obvodu	1
- Vývod č. 6 nie je u tohto IO používaný, je na ňom však vyvedená synchronizačná zmes	6

Blokové zapojenie integrovaného obvodu A 250 D je na samostatnej strane, na obr. 5.2.

Činnosť jednotlivých blokov je nasledovná:

#### 5.2.1 Oddelovač synchronizačných impulzov

Vstupom oddelovača synchronizačných impulzov (SI) je vývod 5. Pre spoloahlivú činnosť je potrebné privádzať na vstup úplný videosignál s úrovňou napr.  $2 \frac{1}{2} 3 \text{ V}$ . Vhodný pracovný bod vstupného tranzistora zaistuje odporový delič  $R_1, R_2$  a oddelovací kondenzátor  $C_1$ . Na časovú konštantu tohto článku sú kladené podobné požiadavky ako u ostatných tranzistorových separátorov. Sériovým odporom  $R_3$  sa optimalizuje činnosť oddelovača SI, najmä pri impulznom rušení, a má význam pre ochranu integrovaného obvodu pred poškodením napr. pri výbojoch VN v obrazovke, keď sa na rôznych miestach prijímača môžu objaviť obtiažne kontrolovateľné prepäťia. Pre zvýšenie protiporuchovej odolnosti prechádza synchronizačná zmes vo vnútri integrovaného obvodu viacnásobným filtračným reťazcom; okrem toho je oddelovač SI vybavený obvodom na inverziu rušivých napäťových špičiek, ktorý nepotrebuje vonkajšie súčiastky. Tak sa zo synchronizačného signálu odstránia zvyšky obrazovej modulácie a rušivé signály, ktoré by mohli spôsobiť dočasné vysadenie dodávky impulzov. Tiež malá vonkajšia kapacita na výstupe OMF šp. 2 potláča výšie kmitočtové zložky video-signálu nepotrebné pre synchronizáciu, čím ďalej znižuje vplyv porúch. Oddelený synchronizačný signál je vyvedený na vývode 6, ktorý sa však v praktickom obvode nezapajuje.

#### 5.2.2 Tvarovanie vertikálneho synchronizačného impulzu (VSI)

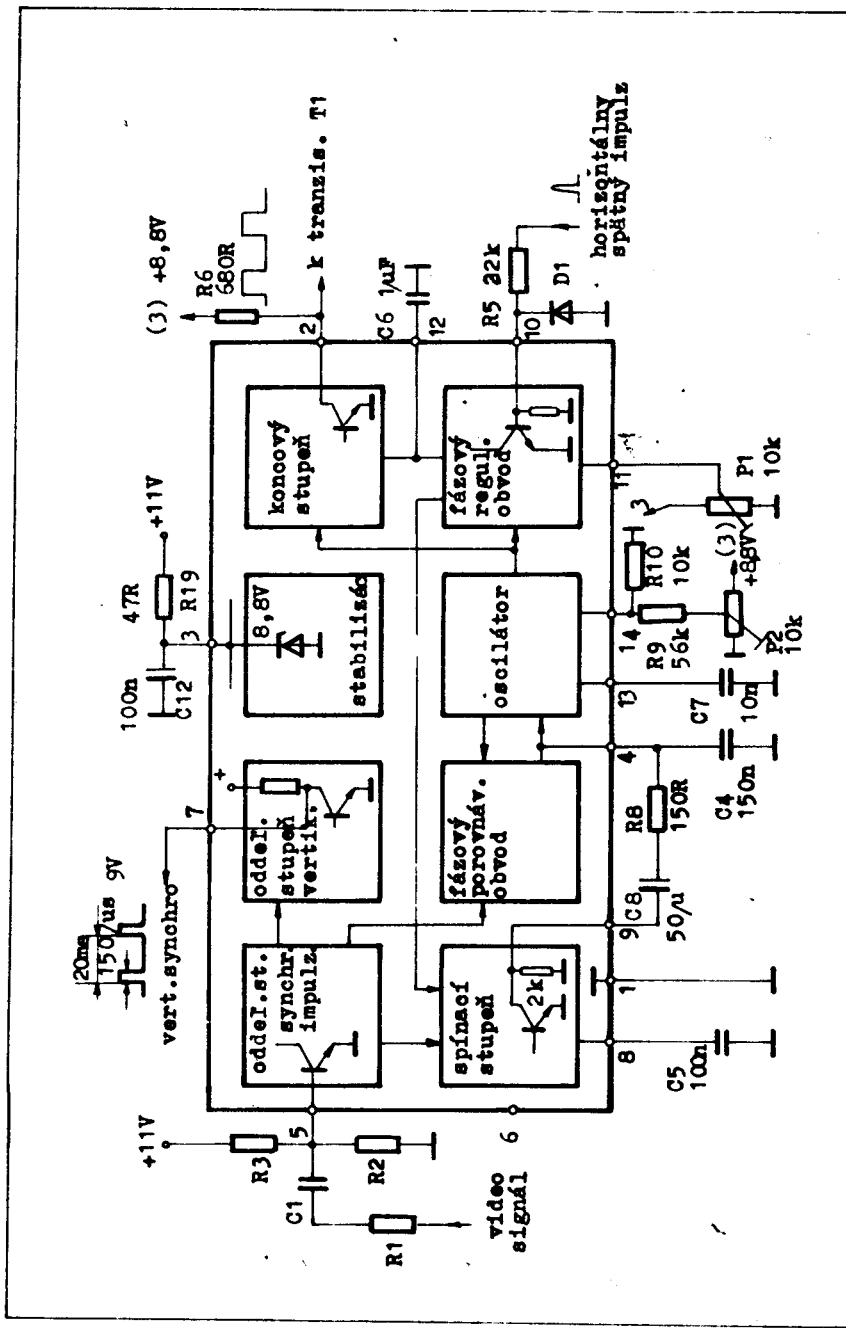
Synchronizačné impulzy pre vertikálny rozklad sa v integrovanom obvode získavajú osobitným spôsobom pomocou viacnásobnej integrácie a obojstranného obmedzenia. Na vývode 7 je k dispozícii kladný synchronizačný signál obdížnikového tvaru s amplitúdou asi  $8 \text{ V}$  a šírkou min.  $150 \mu\text{s}$ . Tento je dokonale zbavený rušivých riadkových impulzov a môže sa použiť i bez dodatočných úprav na synchronizáciu budiaceho generátora vertikálneho rozkladu, viď modul "V" šp. 3, kde sú VSI filtrované len mierne členom  $5k6/2n2$ .

#### 5.2.3 Fázovací porovnávací obvod

V princípe sa pre automatickú fázovú synchronizáciu riadkového rozkladu vystačí s jedným porovnávacím obvodom, v ktorom sa porovnáva fáza spätnobehových impulzov so synchronizačnými impulzami televízneho signálu a vyfiltrovaný chybový signál sa využije na riadenie kmitočtu horizontálneho oscilátora. Taktto pracuje väčšina synchronizačných obvodov z diskrétnych súčiastok.

Citeľnou nevýhodou je u nich' to, že časovú konštantu filtrácie nemožno kvôli dobrej protišumovej odolnosti voliť optimálne z hľadiska potláčania zmien fázy spätnobehových impulzov, ktoré vznikajú pri zmenách jasu obrazu voči budiacim impulzom.

U obvodov s frekvenčne-fázovým porovnávaním môže byť pomerne veľká filtračná časová konšstanta, zabezpečujúca odolnosť proti rušeniu synchronizácie z vonka. Táto však znemožňuje rýchle prispôsobenie fázy oscilátora voči zmenám medzi fázou SI a spätných behov, čím vzniká krivenie zvislých kontúr. Dlhšie trvajúca zmena fázy SI voči spätnobehovým impulzom (ISB) sa prejavuje posunutím obrazu na rastri.



OBR. 5.2

Bloková schéma synchronizačných a budiačich obvodov s integrovaným obvodom TBA 950

V integrovanom prevedení synchronizačných obvodov, kde je cena jednotlivých tranzistorov v štruktúre zanedbateľná, sa synchronizácia spravidla realizuje pomocou dvoch regulačných obvodov. V prvom sa fázovo synchronizuje horizontálny oscilátor s prijímaným signálom (fázový porovnáv. obvod). Časová konštantá tejto regulačnej slučky je v zasynchronizovanom stave primerane dlhá pre dobrú protiporuchovú odolnosť synchronizácie aj pri zhoršenej kvalite signálu.

V druhom fázovo-regulačnom obvode sa s malou časovou konštantou udržiava konštantný fázový vzťah medzi výstupnými riadiacimi impulzami synchronizačného obvodu a riadkovými spätnobeohovými impulzami, čím sa kompenzujú posuvy fázy spôsobované zmenami jasu obrazu (zátaže VN zdroja). Súčasne je tým likvidovaný konštantný posuv fázy, vznikajúci v synchronizačnom porovnávacom obvode (nevýhnutný pri nepriamej synchronizácii.)

Ako už bolo uvedené, vo fázovom porovnávacom obvode sa porovnáva fáza oddelených synchronizačných impulzov (SI) s fázou pilového napäťia riadkového kmitočtu, vyrábaného v horizontálnom oscilátore. Chybové napätie, ktorým sa oscilátor príslušným spôsobom dodaňuje, je vyvedené na vývod 4.

Filtráciu chybového napäťia a tým aj dôležité dynamické vlastnosti synchronizácie, najmä aktívny synchronizačný rozsah a šumovú šírku pásma, zaistuje kondenzátor C 4 (150 nF) a sériový člen R 8 (150R), C 8 (50  $\mu$ F) (tento je pripojený cez spínací stupeň, viď ďalej). V starších zapojeniach boli aplikované hodnoty 0,5  $\mu$ F a 5  $\mu$ F alebo 0,33  $\mu$ F a 20  $\mu$ F.

Aby nemohlo dôjsť k poruche riadkového rozkladu pri veľkej odchýlke pracovného kmitočtu od menovitej hodnoty 15.625 Hz (napr. pri zapnutí a vypnutí prijímača), je rozsah chybového napäťia obmedzený na hodnotu odpovedajúcu kmitočtovej odchýlke max. 1000 až 1500 Hz. Pre odstránenie rušenia riadkovej synchronizácie polsnímkovým impulzom je porovnávací obvod počas vertikálnych synchronizačných impulzov zablokovaný, takže sa vtedy regulačné napätie nemení.

#### 5.2.4 Prepínací stupeň

Prepínací stupeň zaistuje prepínanie časovej konštanty synchronizácie tak, aby sa v nezasynchronizovanom stave dosiahol veľký synchronizačný rozsah, a po zasynchronizovaní malá šumová šírka pásma a tým dobrá protiporuchová odolnosť. Medzi vývodom 9 a spoločným vývodom 1 (zemou) sú paralelne zapojené vnútorný odpor 2k s tranzistorom ako spínačom. Kým sa oscilátor nezasynchronizuje, je spínač rozopnuty a v sérii s článkom C 8, R 8 je zaradený pomerne veľký odpor 2 kohm. Regulačné napätie je tak prakticky filtrované len s malou časovou konštantou kondenzátorom C 4, takže aktívny synchronizačný rozsah je pomerne veľký, pomerne asi 600 Hz.

Po zasynchronizovaní sa vnútorný spínač-tranzistor automaticky zopne - tým sa prakticky bude odpor 2K skratovať a chybové napätie na vývode 4 bude filtrované so značne väčšou časovou konštantou vytváranou kondenzátorom C 8. Synchronizačný rozsah sa tým zmenší na 50 až 100 Hz, čím sa dosiahne vysoká odolnosť voči poruchám, dôležitá pre ustálenú prevádzku. Hodnota odporu R 8 určuje zisk spätnoväzbovej slučky na vyšších kmitočtoch.

Takýto pracovný režim by však nevyhovoval pri prevádzke prijímača so signálom z komerčného záznamového zariadenia, keď vplyvom nerovnomernosti pohybu pásky riadkový kmitočet značne kolíše. Prepínanie synchronizačného rozsahu možno zablokovať napájaním vývodu 8 prúdom niekoľko mA napr. cez odpor 2k7 na šp. 3 IO. Súčasne je účelné upraviť hodnoty niektorých súčiastok (napr. trvale pridať medzi vývod 9 a zem odpor 1k a prípadne zmenšiť C 4 až na M 1). Pretože TVP tohto typového radu nie sú pre produkciu obrazu z videomagnetofónu vybavené, nie je táto funkcia obvodu využitá.

Pre striedavé signály je vývod 8 blokovaný kondenzátorom C 5, M 1.

#### 5.2.5 Horizontálny oscilátor

Fázové synchronizovaný RC oscilátor je základným zdrojom riadkového kmitočtu pre rozkladové obvody prijímača. Pílovité napätie vzniká periodickým nabíjaním a vybijaním kondenzátora C 7 10n, zapojeného na vývod 13, zo stabilizovaných vnútorných zdrojov konštantného prúdu. Aby sa nezhoršili vlastnosti obvodu, je potrebné použiť na pozícii C 7 pri prípedných opravách len výrobcom odporúčané kondenzátory s predpísanou toleranciou, teplotným koeficientom, atď. V našom prípade polyesterový kondenzátor TC 279. Prúd prúdových zdrojov a tým aj opakovací kmitočet oscilátora možno ovládať zmenami napäcia na vývode 14 pomocou premenného odporu P 2. Pri zapojení medzi š.p. 14 IO a kostru je vhodná hodnota P 2 cca 12k, jemnejšia regulácia sa dosahuje zapojením P 2 na stabilizované napätie U<sub>3</sub> - š.p. 3 IO s dodatočným deličom ako R 9/R 10 na schéme modulu.

Základný kmitočet sa nastavuje pri skratovaní vstupu (vývod 5) na kostru na  $f_H = 15.625$  Hz, napríklad bežným spôsobom pri prijme TV signálu na labilný, ale ne-rozpadnutý obraz.

Aby boli kmitočet, ale aj ostatné funkcie obvodu stabilné, je napájacie napätie interným stabilizátorom stabilizované na úrovni asi 8,5 V. Napájanie obvodu sa privádzza na vývod 3 cez odpor, ktorého hodnota závisí na vonkajšom napájacom napäti. V prípade typového radu Satelit je to R 19 47R na základnej doske, pretože napájacie napätie je len 11 V.

#### 5.2.6 Fázový regulačný obvod

Úlohou regulačného fázového obvodu je udržiavať konštantný vzťah medzi výstupnými budiacimi impulzmi, predovšetkým pri zmenách záťaže VN zdroja premenlivým jasom obrazu. Je riešený podobne ako fázový porovnávací obvod v synchronizačnej služke. Regulačné napätie je úmerné rozdielu fázy napäcia riadkového oscilátora a spätnobe-hových riadkových impulzov privádzaných v kladnej polarite na vývod 10 z VN transformátora TR 1 cez obmedzovací odpor R 5. Spätnobe-hové H-impulzy sú diódou D 1 po dobu priameho behu odrezané na konštantnú úroveň - 0,6 V, ich amplitúda je cca 2 V na š.p. 10 IO. Výstupné regulačné napätie obvodu je filtrované kondenzátorom C 6, 1  $\mu$ F zapojeným na vývod 12, ktorý súčasne určuje časovú konštantu regulácie.

Jednosmerným napätim privádzaným na vývod 11 z potenciometra P 1 možno nastavovať fazu medzi synchronizačnými impulzmi prijímaného signálu a riadkovým vychylovaním, čo je potrebné pre vykompenzovanie výrobných tolerancií.

Nastavenie fázy (obraz voči rastru) sa nesmie zamieňať so stranovým posuvom celého rastra (stredením). Poloha obrazu na tienidle sa nastavuje vždy až po správnom nastavení fázy synchronizácie a to známymi magnetickými krúžkami na vychylovacej jednotke.

#### 5.2.7 Výstupný obvod

Vo výstupnom obvode sa spracovaním signálu z oscilátora a z fázového regulačného obvodu vyrába impulzny riadiaci signál pre budiaci stupeň. Výstupný impulz na vývode 2 má kladnú polaritu, úroveň asi 8 V a šírku 25 až 28  $\mu$ s. Začína asi 6  $\mu$ s pred riadkovým synchroimpulzom, max. prípustné napätie na kolektore vnútorného koncového tranzistora je 12 V, max. výstupný prúd je 20 mA. V našom zapojení je kolektor tohto tranzistora napájaný cez R 6 680 ohm zo zdroja +8,8 V stabilizovaných.

Výstupný obvod je doplnený ochranou, ktorá pri poklese napájacieho napäcia pod 4 V na vývode 3 IO preruší dodávku budiacich impulzov. Tým sa odstráni možnosť poruchy rozkladových obvodov budiacimi impulzmi nedefinovaného tvaru a kmitočtu v dobe, keď pre-vádzkové napätie nemá ani približne menovitú hodnotu, napr. pri zapnutí a vypnutí

prijímača.

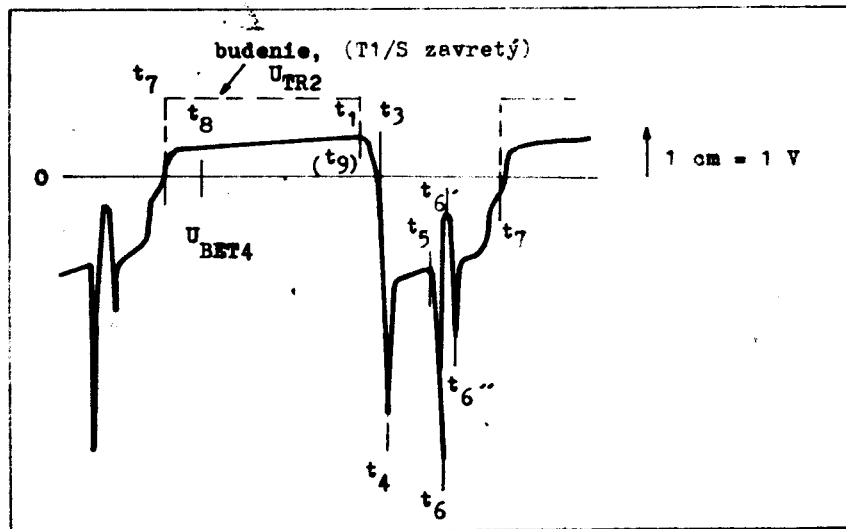
#### 5.2.8 Budiaci stupeň riadkového rozkladu

Podrobnejšie zapojenie synchronizačných obvodov a riadkového budiča je na schéme televízora. Väčšina súčiastok je na vymeniteľnom module "S" so 7-pólovým kondenzátorom. Pre spínanie horizontálneho výkonného tranzistora T 4 KU 608 v riadkovom rozklade je potrebný kladný prúdový impulz s pomerne strmým čelom a trvaním asi 1/3 doby H. Amplitúda musí zaistiť spôsoblivé budenie za všetkých prevádzkových podmienok. Kladné riadiace impulzy z výstupu č. 2 IO o amplitúde cca 4 V sú privádzané cez R 7/S a C 10/S na bázu budiča T 1/S, KF 508. Pretože tento tranzistor nemá kľudové predpäťie bázy, je pri záporných polvlnách impulzov z výstupu A 250 D zavretý, a pri kladných otvorený do saturácie. T 1/S je kolektorom pripojený na primár budiaceho transformátora TR 2. Odpór R 5 56R na základnej doske obmedzuje prúd tohto tranzistora na bezpečnú hodnotu a vyrovnáva tolerancie jeho prúdového zosilnenia. Znižovacie vinutie sekundáru TR 2 dodáva potrebný bázový prúd pre koncový tranzistor KU 608, ktorý pracuje s nízkym napájacím napäťom a teda s vysokým kolektorovým i bázovým prúdom. Členy C 11/S a R 7, C 4 na základnej doske potláčajú vyššie harmonické budiaceho impulzu, ktoré by mohli rušiť v obraze.

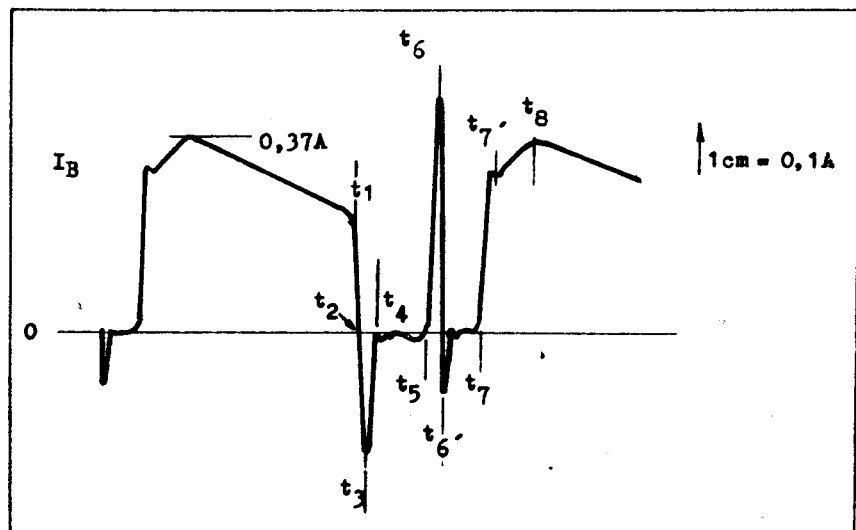
Podmienky budenia koncového tranzistora tu nie sú tak kritické ako u tranzistorov SU 160 resp. BU 208 pre vyššie napájacie napätie v televízoroch veľkého formátu. Preto je osciloskopogram č. 7 na schéme nakreslený z jednodušene.

Na obr. 5.3 až 5.8 sú uvedené presnejšie priebehy napätií a prúdov horizontálneho koncového stupňa, pri čom obr. 5.3 je napätie na báze, ako sa vytvára z pretransformovaného napäťa na kolektore budiča v súčinnosti so vstupnou impedanciou koncového tranzistora.

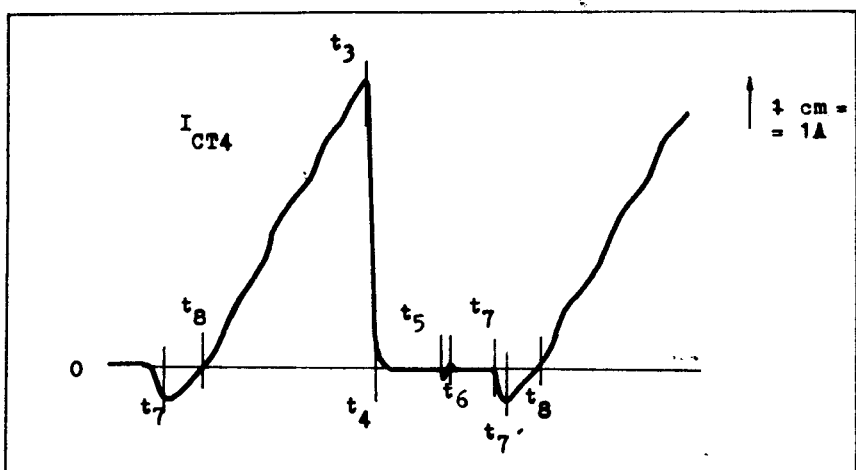
Kladné napätie a prúd do bázy koncového tranzistora je privádzaný vtedy, keď je budiaci tranzistor zatvorený. Pretože je ľahšie tranzistory pracujúce ako spínače otvárať (kratší potrebný čas) ako zatvárať (dlhý interval medzi privedením zatváracieho napäťa na bázu a skutočným zaniknutím kolektorového prúdu), je toto zapojenie výhodné. Rýchlo otvorený budiaci tranzistor dodá len s malým oneskorením záporné napätie na bázu koncového stupňa, takže celkové oneskorenie medzi riadiacim napäťom a skončením činného behu nie je príliš veľké. Impulzy z IO A 250 D odpovedajú zatvorenému stavu koncového tranzistora, preto je ich trvanie cca 1/3 doby H, cca 22 µs.



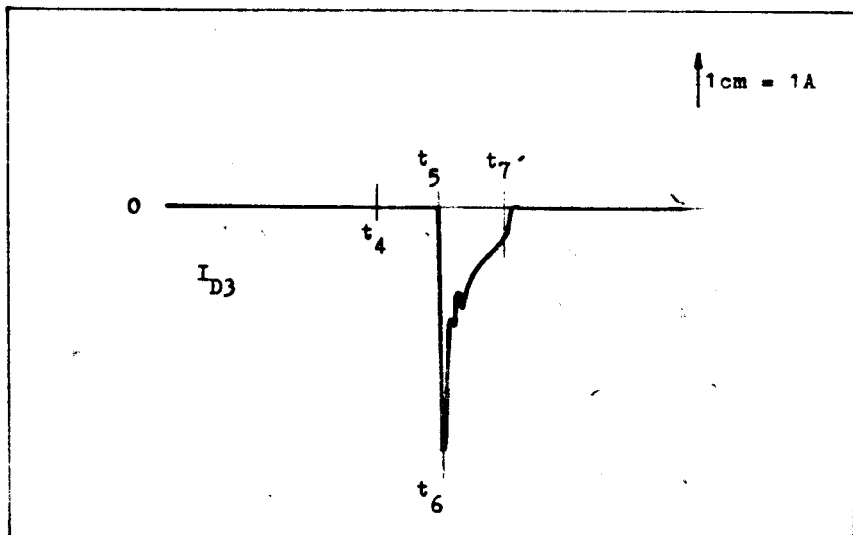
OBR. 5.3



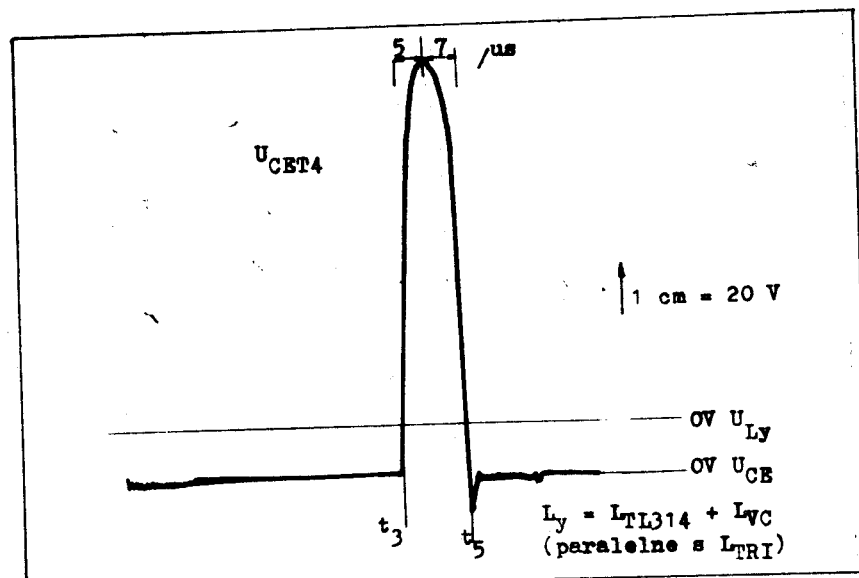
OBR. 5.4



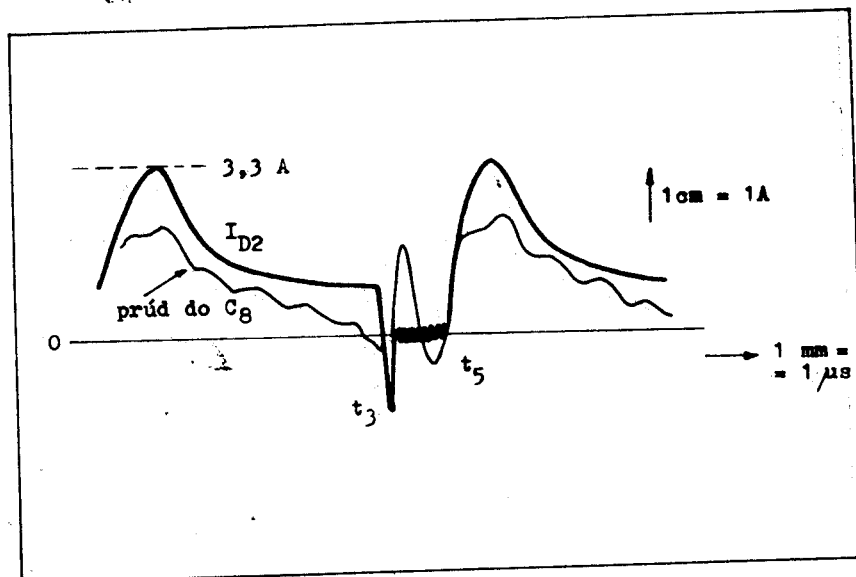
OBR. 5.5



OBR. 5.6



OBR. 5.7



OBR. 5.8

### 5.3 Horizontálny koncový stupeň

Až na podstatne menšie napájacie napäťie a teda veľké prúdy pri malých indukčnostiach vychylovacích cievok a VN transformátora spolu so zvyšovaním napäťia z napájača (asi 1,7x), je zapojenie veľmi podobné horizontálnym koncovým stupňom (HKS) s tranzistorom pre stabilizované napájacie napäťie 150 V ako v typových radoch Olympia/Capella a Saturn/Neptun.

Na obr. 5.3 - 5.8 sú priebehy napäťí a prúdov, namerané na priemernom exemplári TVP Pluto. S funkciou celého obvodu sa najlepšie zoznámime formou komentára k zobrazeným oscilogramom.

#### 5.3.1 Komentár k zisteným priebehom napäťí a prúdov HKS

V zásade sú priebehy dosť podobné priebehom u typového radu Olympia s "vysokým napájacom napäťím" (po úbytku na ochrannom odpore 82 ohm v sérii s vinutím VN traфа je tam cca 120 V). Nízke napájacie napäťie 11 V resp. po zvýšení cca 18 V umožňuje použitie bežného spinacieho tranzistora, dodávajúceho vysoký prúd v našom prípade cca 5 A pri nevelkom napätií  $U_{CE}$ . Tranzistor je treba budíť súčasťou saturácie, ale ešte pri nie príliš malom prúdovom zosilneniu činiteli cca 15, takže  
a/ bázový prúd konvocého tranzistora má len malý podiel na kolektorovom prúde (v dobe  $t_7 - t_8$ , záporný  $I_c$  - inverzný režim tranzistora)

b/ tranzistor netreba budíť hlboko do pola nasýtenia a preto rýchlejšie vypína.

Zvýšené napätie, dané odbočkou na primáre VN transformátora, dáva celkové napätie pre činný beh cca 18 V. Táto hodnota je daná pomerom závitov medzi vývodmi 10 - 11 a 10 - 12 traфа, a dáva zhruba najlepšiu účinnosť HKS.

Pri nabiehaní horizontálneho rozkladu sa kľudové napätie cca 11 V na C 8, ktoré sa prenieslo diódou D 2 aj na vývod 10 TR 1, zvýši za niekoľko kmitov takto:

Napätie na kolektore tranzistora T 4, dané hlavne vychylovacími cievkami spolu so sériovým kondenzátorom C 7 a paralelným kondenzátorom C 6, je priložené aj k primárnemu vinutiu VN transformátora TR 1, takže indukuje v ňom prúdy, zodpovedajúce impedancii, t.j. hlavne indukčnosti tohto vinutia, pri čom počas spätného behu je odbočka 11 odpojená zavretou diódou D 2, avšak pri činnom behu je pripojená cez túto diódu na napájacie napätie cca 11 V.

Pri činnom behu dodáva D 2 z časti prúd na kolektor T 4, a najmä dobíjací prúd do C 8. Tento prúd, zistený pri rozpojení vývodu 10 TR 1 a prívodu na C 8, je znázornený na oscilograme 5,8 tenšou čiarou. Vlnky na priebehu odpovedajú naladeniu na 3. harmonickú sp. behov, viď tiež zvlnenie kolektorového prúdu  $I_{CT4}$ , oscilogram 5.5.

Pri spätnom behu súčasťou cez diódu D 2 netečie žiadny prúd, ale do kondenzátora tečie prúd, odpovedajúci napätiu na vývode 12 a reaktancii primáru. Je na oscilograme 5.8 naznačený a vidíme z neho naladenie sekundáru dosť presne na 3. harmonickú sp. behov. (Viď vysvetlenie k výzvojovej cievke VN traфа na konci tejto stredy.)

Vybudený T 4 má zostatkové kolektorové napätie povedzme okolo 1 V. Na začiatku činného behu pri otvorennej dióde D 3 tam bude naopak zhruba -1 V. Ak zanedbáme malé zmeny napäťia na veľkej kapacite C 8 na "studenom" konci primáru traфа, znamená to, že na začiatku činného behu (č.b.) je na primáre asi o 2 V vyššie napätie, ako keď je v neskôr fáze č.b. otvorený tranzistor T 4. To dá tiež zvýšené napätie medzi vývodmi 11 a 10, včítane väčšieho napäťia na dióde D 2 - preto po rýchлом vzostupe až na cca 3,3 A, ktorý je daný začiatkom ešte neutlmeného priebehu 2. polvlny spätného behu, pozorujeme najprv

rýchle klesanie  $I_{D2}$ : klesajúci prúd od odbočky 11 na začiatok vinutia 10 dáva záporné napätie  $U_{11-10}$  a toto je pri  $-1$  V na vývode 12 väčšie ako pri  $+1$  V, kedy je klesanie podstatne pomalšie. Odovedá to tiež už doplneniu náboja na C 8 po skončení sp. behu.

Stúpajúci prúd od odbočky 11 na vývod 10 okamžite po skončení prvej polvlny sp. behu vyžaduje kladné napätie v bode 11 proti bodu 10. To je dané doznievaním sp. behu - D 2 je ešte zavretá, pôsobí teda aj C 5 4n7, čo spolu s rozptylovými kapacitami dáva záblenie priebehu na obr. 5.8.

Aj v dióde D 3 najprv prudko vystúpi prúd na hodnotu cca 4,5 A. Pozorované od anódy (zem) stúpa kladný prúd, čo by dalo kladný výkyp napäťa na katóde D 3, kde však pre otvorenú diódu máme cca  $-1$  V. Tento prúd (pre krátke trvanie ide len o malý náboj) zrejme dodá paralelný C 6.

Pomalé klesanie  $I_{D3}$  od doby  $t_6$  do  $t_7$  je už ustálený činný beh. V dobe  $t_7$  vybudený T 4 preberá prúd diódy D 3 (na krátku dobu do  $t_8$ ) v inverznom režime, kedy je kolektor záporný proti báze. V určitej fáze ešte tečie i malý  $I_{D3}$ , čiže kolektor je proti zemi ešte tiež mierne záporný.

Krátke trvanie prúdu D 3 a inverzného režimu T 4 ukazuje, že len veľmi malá časť energie použitej pri otvorenom T 4 (v normálnom režime) sa vracia do zdroja. Tak isto z plochy vymedzenej prúdom  $I_{D2}$  môžeme posúdiť, aká veľká je spotreba HKS - okrem strát na ohmických odporoch a vo feromagnetickom materiale resp. v dielektriku vznikajúcich pri vychylovaní, tu majú podstatný podiel obvody vertikálne a videa, ktoré odoberajú pre seba z HKS napájacie prúdy.

#### Bázové napätie a prúd (oscilogramy 5.3 a 5.4)

Záporné výkmyty  $U_B$  a  $I_B$  sú podobné ako u zapojenia s vysokým napájacím napäťom, iba majú kratšie trvanie, pretože tu nie je umele zvýšená rozptylová indukčnosť napájacieho transformátorčeka TR 2. Nie je potrebná, pretože koncový tranzistor tu netreba priádať tak hlboko do saturácie, ako u BU 208 resp. SU 160, tekže sa tranzistor vypne za podstatne kratšiu dobu.

V čase označenom ako  $t_1$  sa zopne budiaci tranzistor, čo dá v sekundáre budiaceho trafa záporné napätie asi  $-2$  V. Klesajúci  $I_B$  vytvára na rozptylovej indukčnosti sekundáru budiaceho trafa kladné napätie, takže priebeh 5.3 ešte do doby  $t_2$  je v kladnom poli. Prechodový jav pri vypínaní diódy je taký, že po klesnutí prúdu na nulu ešte tento pokračuje ako stúpajúci záporný prúd. Po dosiahnutí záporného maxima, s približne rovnakou amplitúdou ako v kladnej polvlnie, k nule klesajúci záporný prúd podobne ako stúpajúci kladný prúd, vytvorí na sekundáre budiaceho trafa záporné napätie, ktoré prerazi priechod PN báza-emitor, avšak pre obmedzenie dané impedanciou obvodu nijako neškodí tranzistoru. Po skončení tohto krátkodobého stavu, keď sa  $I_B$  vrátil na nulu, prebieha  $U_B$  pri miernom znižovaní záporného napäťa z TR 2 pravidelne, až do skončenia sp. behu. Vtedy vystúpi záporné napätie počinajúcej druhej polvlny sp. behu tak vysoko, že sa vytvorí kladná špička  $I_B$  (časť  $t_6$ ). Prudký vzostup  $I_B$ , podobne ako prudké klesanie záporného  $I_B$ , vyvolá na rozptylovej indukčnosti TR 2 opäť záporný výkmit napäťa  $U_B$  (kladné napätie pri vzostupe prúdu je medzi začiatkom vinutia, teda zemou, a koncom vinutia pri báze; keďže "+U" je rovné nule (zem), na druhom konci pri báze T 4 bude minus). Medzitým začne viest dióda D 3 plynule klesajúci záporný prúd, čo zníži záporné napätie na kolektore T 4 na tak malú hodnotu, že  $I_B$  klesne s malým prekmitom na nulu. Do doby  $t_7$  sa uplatňuje záporné napätie z Tr 2, potom sa kladným napäťom z budenia vyvolá vzostup  $I_B$ . Rozptylová indukčnosť Tr 2 ešte spôsobí krátkodobý záporný priebeh  $U_B$  v dobe  $t_7 - t_8$ . Potom pri mierne stúpajúcom  $U_B$  prúd  $I_B$  trochu klesá bez vplyvu na zopnutý stav tranzistora T 4, až do skončenia budenia v ďalšej dobe "t<sub>1</sub>"

(= $t_9$ ) a celý proces sa opakuje. Pri zápornom napätií bázy v dobe  $t_7 - t_8$  tečie prúd  $I_B$  do kolektora, teda nastáva krátkodobe inverzny režim tranzistora. HKS je využívaný v pomerne vysokom stupni na dodávanie napájacích napätií, okrem VN, pre vertikál a video. Vertikál je napájaný priamo zo zvýšeného napäťia, video stupeň v starších televízoroch zo zvláštneho vinutia VN trafa - využíva sa činný beh obrátene polarizovaného vinutia 3 - 8, ktoré má špičkové napätie (pri záporných impulzoch sp. behov) cca 900 V. To bolo nahradené priamo napäťím na kolektore T 4, pretože sa ukázalo, že usmernené sp. behy dávajú tiež dostatočne tvrdé napájanie cca 135 V pre video-tranzistor BF 257.

Na vývode č. 1 VN trafa je záporné napätie sp. behov pre klúčovanie AVC v IO A 240 D - pre potrebných niekoľko voltov je u staršieho prevedenia transformátora použitý delič R 11 - R 12 M15/680R a oddelovací kondenzátor C 11. Novšie prevedenie má znížený počet závitov vinutia a hodnoty deliča 22K/680R. Kondenzátor je tu ako nepotrebný, vypustený.

Kladné impulzy 5 - 3 (po oddelení zápornej časti pri č. b) slúžia na výrobenie napäťia  $U_{g2}$  obrazovky 320 V a cez regulátor ostrenia aj  $U_{g3}$ .

Na schémach nie je zakreslená zvláštna väzbová cievka vo VN transformátore. Je však použitá a v ďalšom teste vysvetlujeme, ako funguje.

### 5.3.2 Väzbová cievka

slúži k zvýšeniu väzby primáru so sekundárom (VN vinutím). Všetky cievky, ktoré sú na jednom rameni jadra - primárnom - považujeme za "cievky na primárnej strane". Väzbová cievka je umiestnená spolu s VN vinutím na druhom rameni jadra, t.j. "sekundárnej strane".

U TVP Olympia, Saturn a pod. je na primárnej strane vinutie 4-5, ktoré má uzemnený opačný koniec ako hlavné primárne vinutie 1-3, na sekundárnej strane je pod VN vinutím, bližšie k jadru, umiestnená väzbová cievka (9-10). Má tak isto uzemnený vývod 9, kde by bol kladný spätnobehový impulz. Tieto dve cievky so záporným "výstupom" - primárová -360 V a sekundárová väzbová -600 V, sú spolu spojené doľadovacím LC obvodom, kde nastavením cievky posúvame fázu prúdu proti napätiu tak, aby sme nalaďili 5. harmonickú spätného behu na vrcholové napätie u VN vinutia. Vytvorený magnetický tok súčasne naindukuje do primárneho vinutia približne pri strede napäťového impulzu sp. behu napätie opačnej fázy, takže primárne napätie na kolektore pri spätnom behu sa niečo zníži. (Dôkazom by bol fázový diagram, ktorý pre jeho pomernú zložitosť neuvádzame.) Cievky 4-5 a 9-10 môžeme zhruba považovať za paralelne zapojené.

U TVP radu Satelit - Pluto - Merkur je použitá väzbová cievka, pripojená priamo k primárному vinutiu 10-12, a má približne rovnaký počet závitov (41 proti 35) ako toto vinutie. Ide teda skutočne o dve cievky zapojené paralelne, na rovnaké napätie (kolektor T 4, katóda D 3), ktoré je dané priebehom na vychyľovacom obvode C 6, C 7 +  $L_y$  (indukčnosť vychyľovacích cievok horizontál. - tu 117/ $\mu$ H - plus indukčnosť linearizačnej cievky, ktorá sa v súhlase s jej funkciou periodicky mení, ako aj s paralelne pripojenou indukčnosťou trafa, ktorá celkovú indukčnosť znížuje, ale bez väčšieho významu pre nás výklad).

Kedže sú cievky zapojené paralelne, a musia dávať magnetické toky rovnakého zmyslu, je začiatok väzbovej cievky spojený s koncom (teda vývodom 12) primárnej cievky a koniec väzbovej cievky so začiatkom šp. 10 primárnej cievky. Všetky cievky sa vždy vinú rovnakým smerom a v rovnakom zmysle sa aj umiestňujú na jadre. Jadrom tvaru U tečie magn. tok "dolu" v jednom rameni a "hore" v druhom, preto je vinutie na "VN" rameni, sekundárnom, zdanlivo zapojené obrátene.

U radu Satelit - Merkur slúži väzbová cievka okrem zvýšenia stupňa väzby sekundáru (VN) s primárom na doladenie VN vinutia, ku ktorému je tu tesne priložená na sekundárnom rameni jadra. Jej indukčnosť a poloha je zvolená tak, aby VN vinutie rezonovalo pri 3. harmonickej spätného behu a takisto aby vrchol tohto priebehu "3H" sa sčítal s vrcholom napäcia spätného behu ("1H") a naopak na primáre aby vrcholové napätie znížoval.

## 6.0 VIDEO A OBVODY OBRAZOVKY, NAPÁJANIE TVP

### 6.1 Video-stupeň

Je osadený tranzistorom BF/KF/257. Napájacie napäťie je tu cca 135 V a je odvodené z kladných impulzov horizontálnych spätných behov na kolektore koncového tranzistora horizontálu T 4, KU 608. Oscilogram č. 8 na schéme televízora udáva cca 160 V na- pätie špička - špička. Je to súčet amplitúd činného i spätného behu a s ohľadom na to, že bežne sa primeraný jas scény príliš prudko nemení i na to, že spotreba video- stupňa, necelý 1 W, je veľmi malá proti spotrebe samotného HKS a ním napájaného ob- vodu vertikálu, je usmernené napätie dostatočne "tvrdé".

Preto bolo pôvodné zapojenie riadkového transformátora, kde zdroj pre video dávalo vínutie so záporne polarizovanými spätnými behmi a usmerňoval sa činný beh, zmenené na hore uvedený terajší spôsob.

Pri konštruovaní koncového zosilňovača video sa musí voliť kompromis medzi žiadanou šírkou pásma a zosilnením, t.j. pokial je to možné veľkou hodnotou pracovného odporu ("zatažovacieho odporu") v obvode kolektora. Bežné dodatočné rozšírenie šírky pásma pomocou vhodnej zlomivky na dosiahnutie plynkej rezonancie v rozsahu, kde by inak zosilnenie so samotným odporom podstatne pokleslo, nie je v našom prípa- de použité, pretože menšia obrazovka na jednej strane vykazuje kvalitný obraz i pri trochu "okrájanom" prenášanom spektre frekvencií, na druhej strane má menšie para- zitné kapacity katóda-zem, takže kapacitné zataženie stupňa je tiež menšie. Napokon dnes pri temer neustálom vysielaní vo farbe je nutné znižovať prenášanú šírku pásma, aby farbové nosné kmitočty čo najmenenj interferovali s obrazom.

Zvolená hodnota R 3/D, 15k, tu dobre vyhovuje, spolu s použitým typom tranzistora.

Prenos jednosmernej zložky je zachovaný, pretože v ceste signálu nie je oddelovací kondenzátor, a pripojenie potenciometra kontrastu na malé kladné napätie (deliš R 13/R 14 z +11 V) umožňuje zachovať pomerne správny pomer jasu medzi tmavými a naj- svetlejšími miestami scén v bežnom rozsahu regulácie kontrastu.

Na ochranu proti nesprávne nastavenému prílišnému prúdu obrazovky je katóda pripoje- ná na kolektor tranzistora cez veľký odpor 330k premostený kondenzátorom 150 nF a na zem cez odpor 150k R8 v sérii s potenciometrom jasu P 1 a pripojenými odpormi (R 15, P 4), ktorými sa upravuje jas. napätie na katóde obrazovky na vhodný jas.

Vplyvom katódového prúdu sa vytvorí na výslednom odpore taký spád napäťia, že i pri celkom nesprávne nastavenom regulátori sa dostatočne obmedzí prúd obrazovky. Výsled- ný odpor je zhruba 120k, takže už vyšší prúd ako napr. 150  $\mu$ A zvýši napätie katóda - g1 na bezpečnú hodnotu. Touto spätnou väzbou pre stredný prúd obrazovky sa tiež vy- rovnávajú tolerancie u obrazoviek a v nastavení regulátora jasu. Pre striedavé prúdy kondenzátorom premostený odpor M33 spôsobí o niečo znížený prenos jednosmernej zložky, čo však u Č/B televízie neškodí - naopak skutočne tmavé scény, ktoré sa ľah- ko sledujú, budú o niečo svetlejšie a teda "zrozumiteľnejšie".

Na vyrovanie zosilnenia pri vyšších frekvenciach - proti poklesu, ktorý by sice neboli prudký, ale nastával by už nad cca 1 MHz - pôsobí C1 680 pF paralelne k emitorovému stabilizačnému odporu 470 ohm.

Zhášanie "spätných behov", t.j. zatemňovanie obrazovky počas spätného behu vertikálu a horizontálu zabezpečujú diódy D 9 (vertikál, od R 13/V) a D 8 (horizontál cez R 10 470, z vínutia č-7 riadkového transformátora TR 1), ktoré privádzajú kladné impulzy spätných behov na emitor T1/D.

## 6.2 Riadenie jasu a ochrana obrazovky pri vypnutí TVP

Napätie 320 V (získané z príslušného vinutia TR 1 usmernením impulzov spätných behov) sa vydelení členom R 15 270k - P1 M25/N +R1 10k na "bočníku" a privádza sa z bežca P1 "jas" na spodný koniec R 6/D 180k a odtiaľ na katódu obrazovky. Pri najväčšom jase je teda P 1 bežcom pri zemi a napätie nastavené priamo na kolektore T1/D sa vydelení na R4 (M33) a R6. Súčasne zvýšený prúd obrazovky pôsobí proti tomuto zníženiu napäťa ako už je predtým uvedené.

Riadiaca elektroda ("g1") obrazovky je pripojená na kostru TVP cez diódu D1, ktorá je polarizovaná odporom R8/D, 1M, z napäťového zdroja 135 V. Pri prevádzke TVP sa ellyt C3/D, 5, uF, nabije na toto napätie, pričom jeho záporný polep je cez D1 uzemnený.

Pri vypnutí televízora, alebo pri vypadnutí horizontálneho rozkladu prestane pôsobiť zdroj 135 V, napätie medzi kladnými polepmi C10 a C3/D a kostrou sa teda začne rýchlo znížovať (cez zátaž, akú predstavuje obvod video-stupňa) a pre náboj o pôvodnej hodnote napäťa "135 V" na C3 sa objaví záporné napätie na mriežke a na dióde D1, ktorá sa vypne. Toto záporné napätie na g1 bude stúpať tak, ako bude klesať napätie na C10 a na katóde, pretože vybijanie C3/D cez odpor 1M bude o mnoho pomalšie. Takto sa bude udržiavať značné záporné napätie g1 - katódy obrazovky, jej prúd bude potlačený a nemôže sa objaviť jasná škvRNA na tienidle.

## 6.3 Napájanie televízora

Zo siete sa napájajú televízory radu Satelit - Merkur cez sietový transformátor, ktorý bezpečne oddeluje obvody televízora od siete a súčasne dodáva znížené napätie pre dvojcestný usmerňovač s diódami D1, D2, KY 708, za ktorými je na elektrolytickom kondenzátore 2000, uF = 2mF, C1, menovitých 17 V. Stabilizačný obvod s tranzistormi T1, T2, T3 dodáva na svojom výstupe, s vysokou nezávislosťou na napäti siete, 10,8 V. Toto stabilné napätie je aj predpokladom stabilnej šírky obrazu. Súčasne odpovedá napätiu pri napájaní z auto-batérie +12 V.

Sériový tranzistor T1 je riadený do bázy zapojeným ENP tranzistorom T2, ktorého kolektorový prúd - prúd bázy T1 je riadený tranzistorom T3 (KC 508 alebo ekvivalent). P O Z O R ! V niektorých schémach je nesprávne zakreslená šípka u tranzistora T2 - tato má smerovať od emitora ku báze. Takisto pokial chýba schematické označenie, že D1 je referenčná ("Zenerová") dióda, doplňte si uhol na pravej strane naznačenej katódy.

Dióda D1 v závislosti na výške napäťa na emitore T1 dodáva vyššie alebo nižšie napätie na odpor R2, nominálne teda pri dióde 8,2 V a nastavenom výstupnom stabilizovanom napäti "U<sub>2</sub>" na 10,8 V bude na odpore R2 a emitore tranzistora "zosilňovača odchýlky" T3 2,6 V. V starších prevedeniach tohto radu bola použitá dióda s U<sub>2</sub>=6,2 V, čiže tam bude nominálne 4,8 V, ak sa nastavovalo na 11 V.

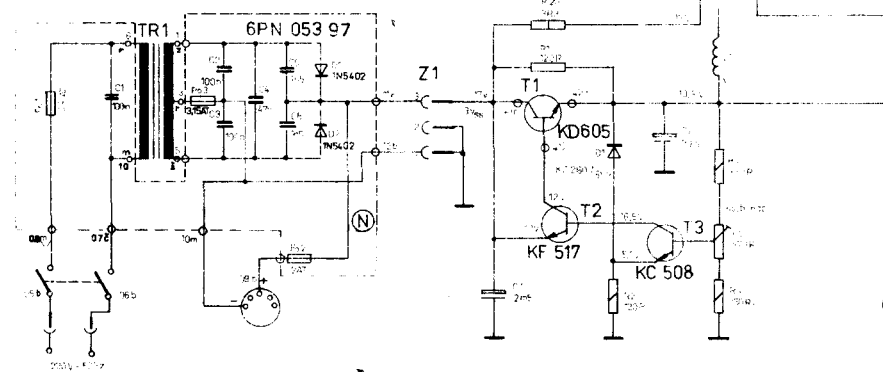
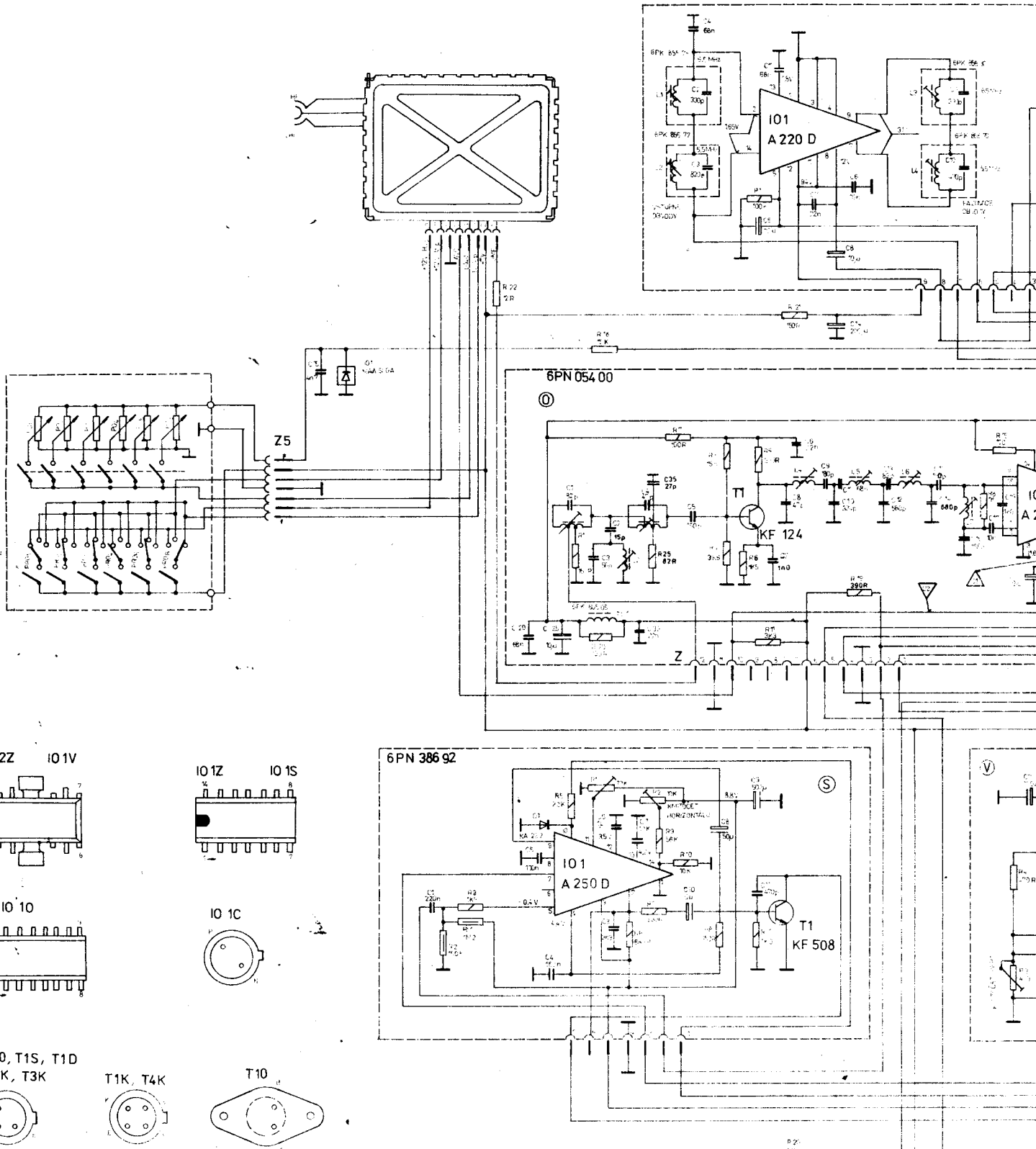
U<sub>2</sub> sa nastaví bázovým napäťom T3 z potenciometrového trimra P1. Zhruba bude na báze T3 pri 8,2-voltovej Z-dióde 3,3V. To je približne 1/3 zo stabilizovaného napäťa U<sub>2</sub>. Každá zmena tohto napäťa sa prenesie plne cez diódu na emitor T3. Odpor R2 je natoliko malý, že zmeny nevelkého emitorového prúdu T3 na ňom proti napätiu danému prúdom diódy je možné prakticky zanedbať. Pri poklese U<sub>2</sub> - nech už je to dané vyššou spotrebou u jasných scén pri silnejšom zvuku, alebo nižším sietovým napätiom - sa zníži bázové napätie T3 len asi o tretinu zmeny U<sub>2</sub>, ale celá táto zmena bude na emitore. To spôsobí zvýšenie I<sub>C</sub> T3 a toto opäť zvýšenie prúdu tranzistora T2, ktorým sa napája bázový obvod regulačného tranzistora T1. Odpor kolektor-emitor T1 sa zníži, čím sa prakticky upraví napätie U<sub>2</sub> na pôvodne nastavenú hodnotu.

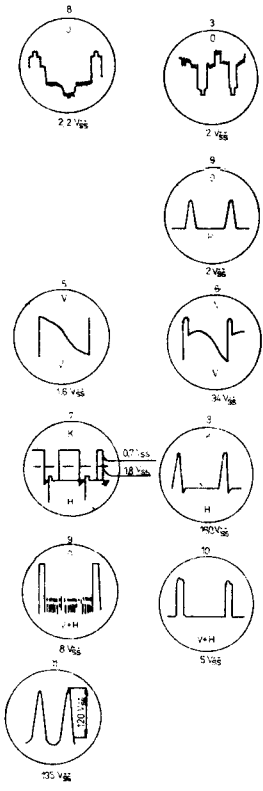
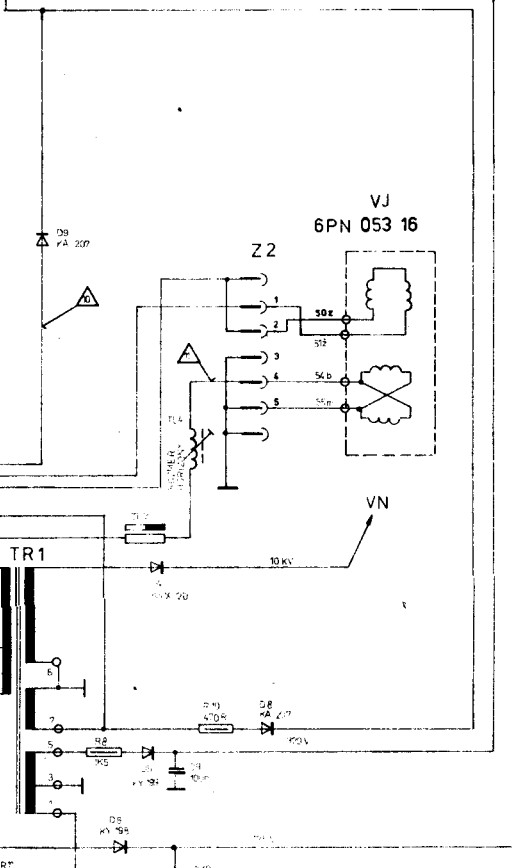
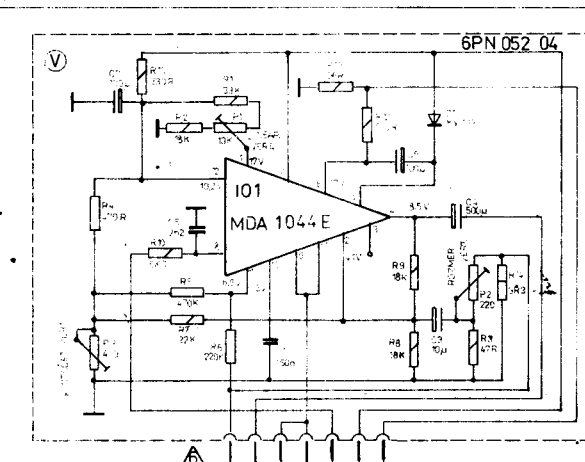
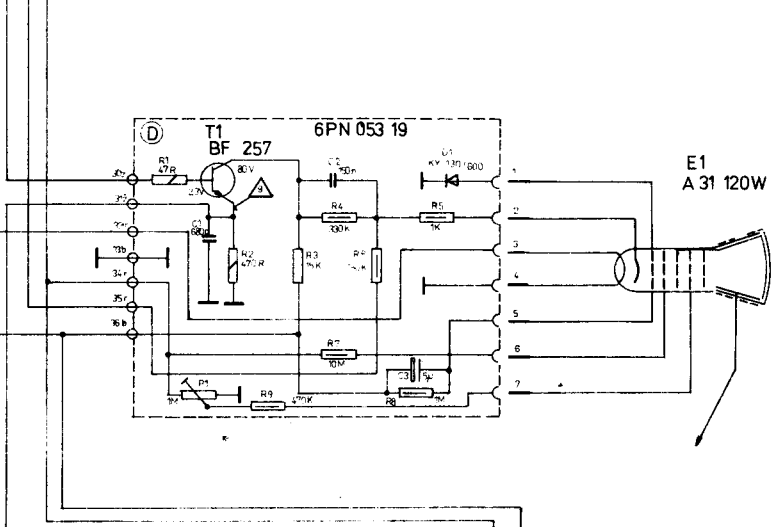
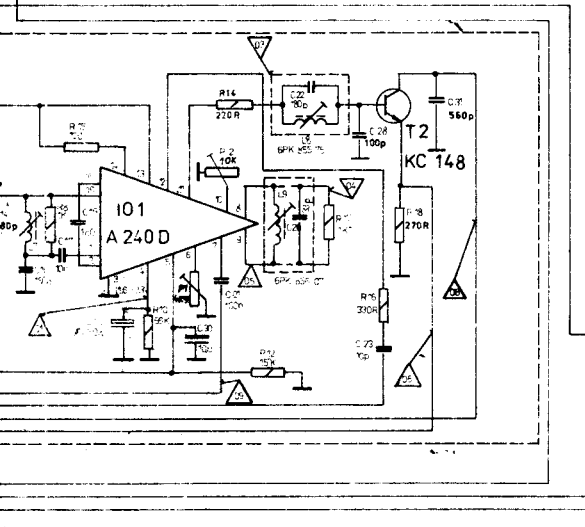
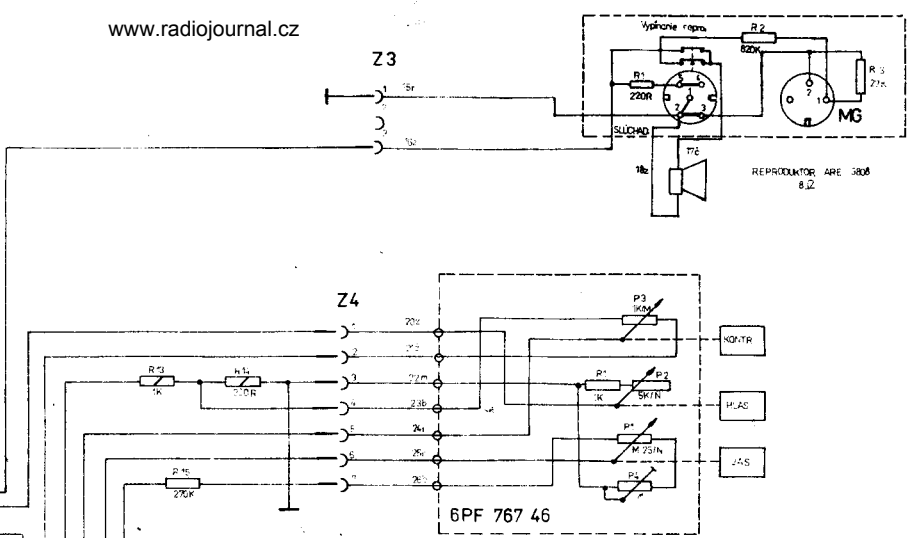
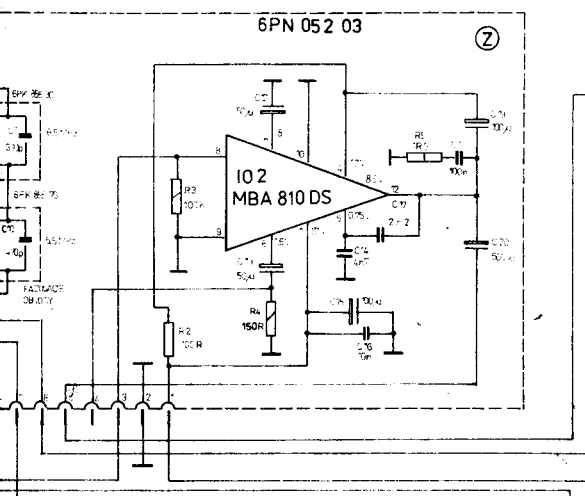
Zapojenie s tromi tranzistormi zabezpečuje presnú stabilizáciu s veľmi malým zostatkovým chybovým napäťom. Odpór R1 120 R je nutný na rozbehnutie stabilizátora po zapnutí; keď ešte nie je otvorený T1 bolo by  $U_2$  nulové a nemohol by fungovať T3.

Stabilizovaným napäťom sa nenapája zvukový nf zosilňovač, ktorý stačí napájať z usmerňovača. Pomerne vysoké zvolené napätie zo sieťového usmerňovača umožňuje značný ne-skreslený výkon zvukového nf stupňa a zamedzuje ovplyvňovaniu stabilizovaného napäťa premenlivou spotrebou tohto zosilňovača, teda interferencii zvuku do horizontálneho rozkladu.

Pri zapojení na autobatériu 12 V sú pomery kritickejšie - je preto dôležité, aby spoj od batérie mal čo najmenší odpór.

Tranz.T1 je otvorený blízko režimu saturácie, keďže pokles na ňom má byť len cca 1 V. Stabilizácia je nutne horšia, čo však pri malom rozpätí napäťa z batérie nie je kritické, pokiaľ práve nf zvuk nespôsobí na nesprávne prevedenom prípoji od batérie striedavé zmeny napäťa až na tak nízke okamžité napätie, že už to nemôže stabilizátor vyrovnáť.

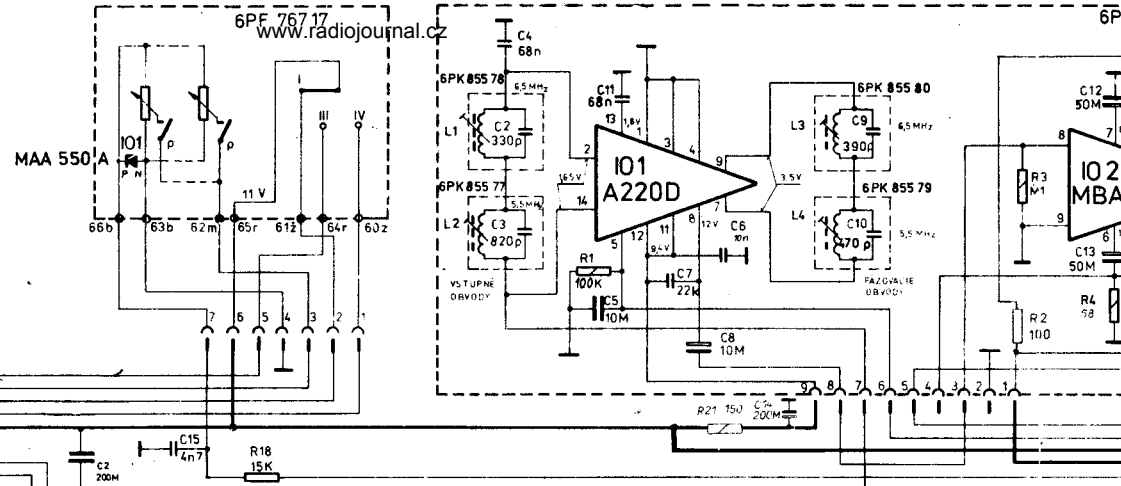
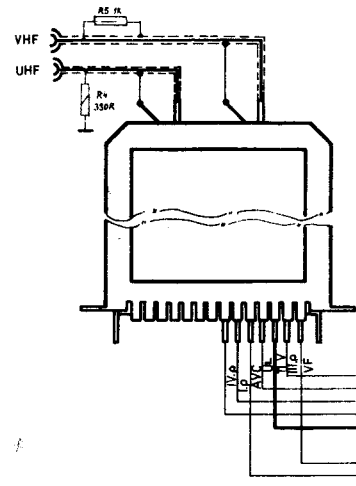




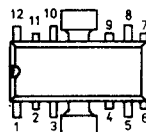
6PN 385 33

## EL. SCHÉMA ZAPOJENIA

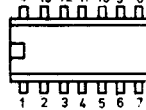
MERKUR  
4160 AB



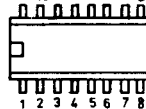
IO2 Z, IO1 V



IO1 Z, IO1 S



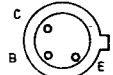
IO1 O



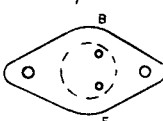
IO1 K



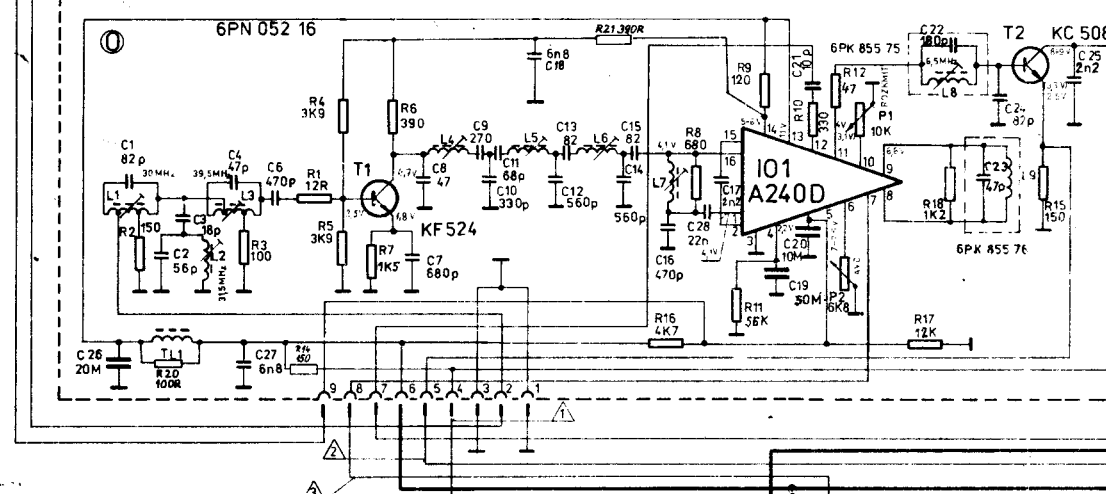
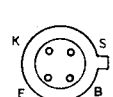
T2 0, T1 S, T1 D, T2 K, T3 K



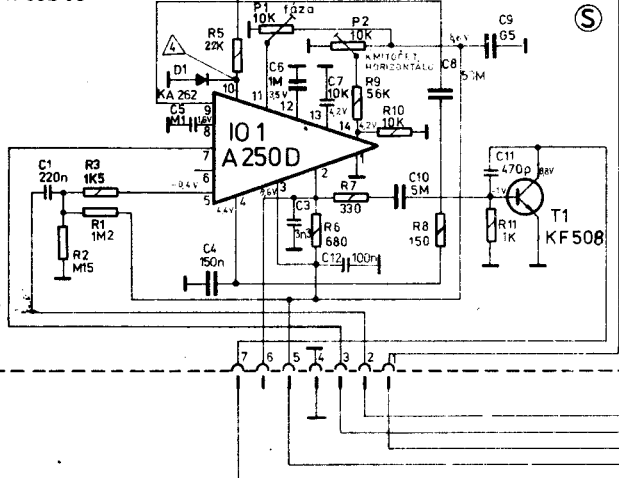
T1K, T4 K

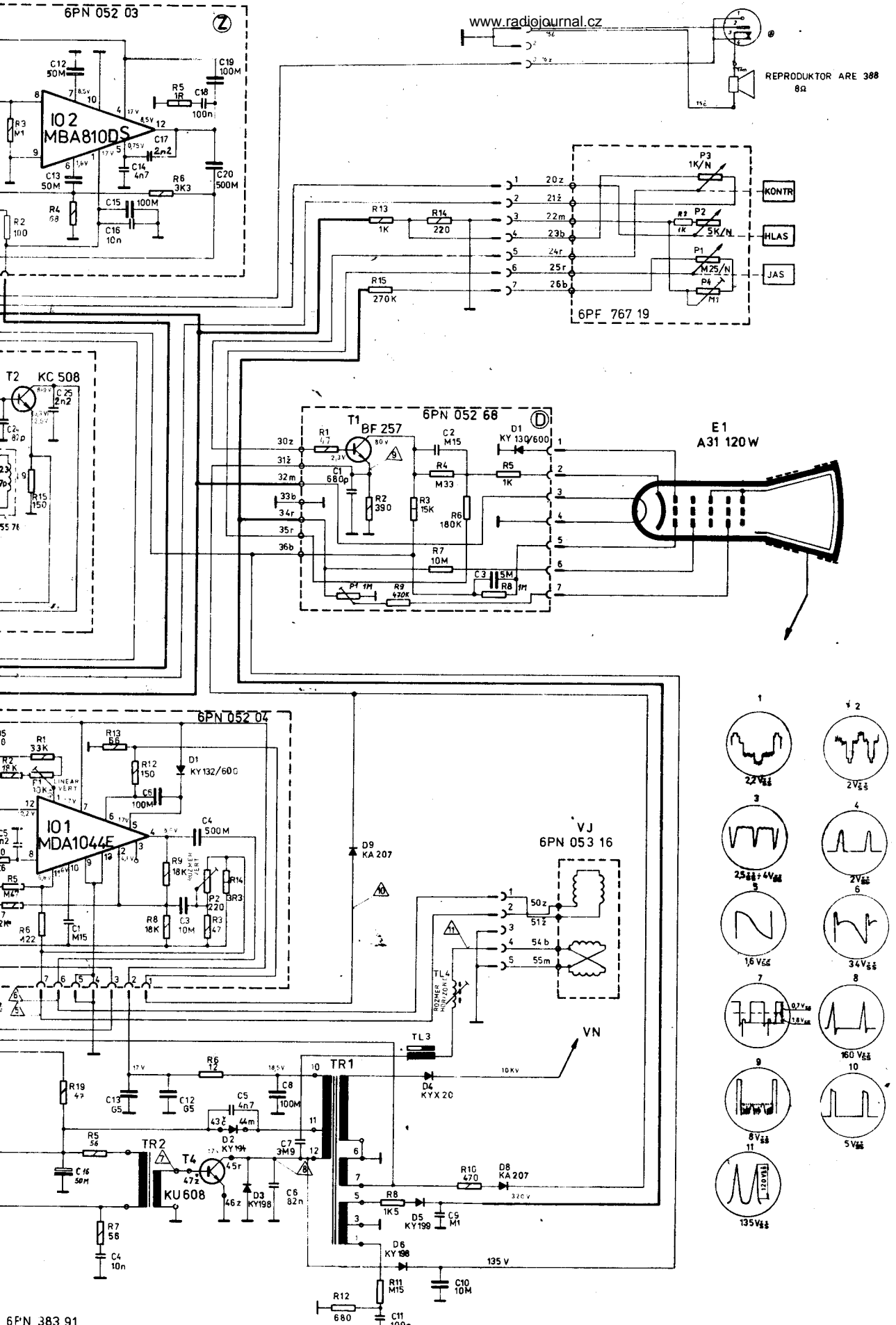


T1 O



6PN 052 05





PRIJIMAČ ZOST.  
ELEKTR. SCHÉMA  
SATELIT  
4158 AB



